

VYSOKÁ ŠKOLA STROJNÍ A TEXTILNÍ V LIBERCI
nositelka Řádu práce

NOVÉ ZPŮSOBY TLUMENÍ PNEUMATICKÝCH PODLOŽEK
Kandidátská disertační práce

Vědní obor: 23-01-9

Části strojů a mechanismů

UNIVERZITNÍ KNIHOVNA
TECHNICKÉ UNIVERZITY V LIBERCI



3146088266

Aspirant: Ing. Květoslav Mastník

Liberec 1988

OBSAH

1.0. Úvod	strana 4
1.1. Přehled o současném stavu problematiky, která je předmětem disertace z odborné ¹ literatury, jež se zabývá zkoum. otázkami	5
1.2. Cíl disertace	6
1.3. Zvolené metody zpracování	6
2.0. Problematika tlumení soustav opatřených pneuma- tickými pružinami ve srovnání se soustavami opatřenými klasickými pružinami	7
2.1. Potřeba tlumení harmonického pohybu	10
3.0. Použití hydraulických tlumičů	14
3.1. Vlastnosti klasických tlumičů v provozu	14
3.2. Užití regulovatelných hydr. tlumičů	16
3.3. Způsob hodnocení hydraulických tlumičů	20
3.4. Metodika měření	22
3.5. Snímání zdviarové charakteristiky	23
3.6. Snímání rychlostní charakteristiky	24
3.7. Ukázky některých zdviarových a rychlost- ních charakteristik	30
4.0. Rozbor silových a energetických poměrů u kmitající soustavy	36
4.1. Soustava kmitající netlumeným harmo- nickým pohybem	36
4.2. Soustava kmitající tlumeným harmonick- kým pohybem	38
5.0. Pneumatická pružina s řízeným vnitřním dějem	42
5.1. Pneumatická pružina s vlastním jednosměr- ným tlumením	42
5.2. Pneumatická pružina s obousměrným vlast- ním tlumením	45

5.3. Tlumená pneumatické pružine s řízeným dějem v jedné krajní poloze	49
5.4. Zkušební pneumatická pružina s vlastním tlumením	58
5.5. Měření na zkušební pneumatické pružině s vlastním tlumením	61
5.6. Zhodnocení výsledků měření	72
 6.0. Pneumat. pružina s přímým hydraulickým tlumením	75
6.1. Možnosti regulačce pneumatické pružiny s přímým hydraulickým tlumením	81
6.2. Orientační výpočet hlevních rozměrů kombinovaného vent. pro zkušební pneumat. pružinu	84
6.2.1. Řešení pojistné funkce kombin. ventilu	86
6.3. Návrh zkušební pneumatické pružiny s přímým hydraulickým tlumením	88
6.4. Zkoušky prováděné na zkušební pneumatické pružině s přímým hydraulickým tlumením	91
6.5. Zhodnocení měření na zkušební pneumatické pružině s přímým hydraulickým tlumením	97
6.6. Dynamický rozbor dějů v pneumatické pružině s přímým hydraulickým tlumením	99
6.7. Celkový tlumící účinek zkušební pneumatické pružiny s přímým hydraulickým tlumením	103
 7.0. Možnosti lepšího využití klasických hydraulických tlumičů aut. typu u pneumatických podložek	115
 8.0. Závěr	123
8.1. Výsledky disertace s uvedením nových poznatků	123
8.2. Konkrétní závěry pro realisaci ve společenské praxi a dálší rozvoj vědy	125
 Literatura	128
 Použité označení	130

1.0. Úvod

Různé druhy rázů, chvění a vibrací mohou značnou měrou evlivňovat činnost energetických a výrobních zařízení a pracovní prostředí jejich obsluh. Proto se konstruktéři již dlouhou dobu snaží tento problém řešit a jeho vlivy omezit na minimum. Byl s jistým náskokem řešen v oblasti vozidlové dopravy. Postupně ho však bylo třeba začít řešit i v jiných oblastech lidské činnosti, v jiných oborech. I zde se podílí na zvyšování technických parametrů navrhovaných zařízení a na zlepšení pracovního prostředí na což se klade stále větší důraz. Jde nejen o průmysl, ale i o některé speciální úkoly ve výzkumu, jemné mechanice, zdravotnictví a pod. V průmyslu jde především o průmysl strojírenský, textilní, sklářský, polygrafický a další.

V posledních desetiletích se pro odpérování hmot a odstranění rázů různých strojů začínají používat stále více pneumatické pružiny ve spojení s hydraulickými tlumiči kmitů. Pneumatickými pružinami jsou odpérovány některé druhy automobilů a autobusů a pro pracovní stroje jsou používány různé druhy pneumatických pružin, zabudovaných do speciálních podložek, na které se tyto stroje umisťují. Takováto pneumatická podložka sestává z rámu, na který se ukládá pracovní stroj, pneumatických pružin, hydraulických tlumičů a z regulačního systému, který slouží k ovládání podložky, regulaci výšky a pod. Tyto podložky se již osvědčily u různých výrobních zařízení, především pro některé jedinečné vlastnosti pneumatických pružin. Vzduch při své komprezi a expansi je dokonalým pružícím médiem, které navíc dobře isoluje zvuky a vibrace. Různou konstrukcí pružiny se může dosáhnout i různých průběhů charakteristik, t.j. závislostí síly na stlačení pružiny. Jedna a táz pneumatická pružina může dosáhnout i různých únosností a proto může sloužit pro odpružení různých hmotností, stačí jen změnit základní přetlak pružícího média. Tím je vlastně měnitelná tuhost pneumatické pružiny, vítaná a snadno realisovatelná vlastnost, která se nedá u jiných pružin realisovat. Směrem nahoru je tato vlastnost omezená pevností pryžkového "obalu" pružiny. Z toho plyne i další vyhikující vlastnost pneumatické pružiny, že při jejím použití se dá udržet stálá střední výška pracovního stroje nebo vozidla nad základnou nebo vozovkou, nehledě na velikost odpružené hmotnosti. Tuto stálou polohu nad základnou "hlídají" polohové ventily, kte-

ré dle potřeby připouštějí, nebo odpouštějí vzduch do pružiny. Nastaví právě takový přetlak v pružině, který je třeba pro udržení střední výšky nad základnou.

Jelikož se při změně hmotnosti mění i tuhost pneumatické pružiny, zůstává poměr tuhosti pružiny a hmotnosti kmitající soustavy $\frac{1}{m}$, na kterém především závisí vlastní frekvence soustavy, stálý. To je další výhoda kmitající soustavy opatřené pneumatickými pružinami.

Na druhé straně si je třeba uvědomit, že pokud se mluví o klasických pružinách, jde skutečně jen o pružiny. Pokud však jde o pružiny pneumatické, u kterých se chce využít všech jejich předností a výhod, je třeba vzít v úvahu, že nejde jen o semotnou pneumatickou pružinu, ale o různé ovládací prvky, instalacní materiál, zásobníky a zdroj tlakového vzduchu. To nejsou jistě, vzhledem k pořizovacím nákladům, zanedbatelné položky. Proto je třeba při nevrhování podložky pro odizolování rázů a vibrací dobře zvážit jakých pružin se použije. Zvážit přednosti pneumatických pružin v porovnání s náklady, které budou jistě větší než u podložek opatřených některými běžnými typy pružin.

Zůstává však ještě jeden problém, a to je postupné odstranění kmitání těchto soustav - tlumení. Soustavy, které se pod účinky vnějších impulsů /budících sil/ rozkmitají je třeba neustále uvádět do klidu. Tomuto procesu se říká tlumení. Po fyzikální stránce jde o to převést energii kmitavého pohybu na jiný druh energie, zpravidla na energii tepelnou. Tím se dosáhne "zklidnění" kmitající soustavy, která je tím vlastně opět připravena přijmout další vnější impuls od kmitající sily a svým novým rozkmitáním zebranit jeho přenosu dále.

1.1. Přehled o současném stavu problematiky, která je předmětem disertace a odborné literatury, jež se zabývá zkoumanými otázkami

Otázkami pružného ukládání strojů a zeřízení se zabývá věda a technika již několik desetiletí. Základní problémy odpružení byly nejprve řešeny v oblasti dynamiky strojů. Postupně s růstem významu pro praxi se z dané problematiky vyvinul samostatný vědní obor. V posledních letech se tato problematika řeší za pomocí stále vyspělejší výpočetní techniky. Někdy je třeba předem použít

řešení na modelu daného zařízení.

K pružnému ukládání precuvních strojů nevhodně navržené pneumatické podložky patří neocdělitelně užití tlumičů kmitů. Ve většině případů tuto funkci obstarávají teleskopické hydraulické tlumiče "zapůjčené" od automobilního průmyslu.

Vyjímečně se lze v praxi setkat s regulovatelnými hydraulickými tlumiči, jejichž cena, vzhledem na složitost konstrukce, je podstatně vyšší. To také brání jejich většímu rozšíření.

Samotné pneumatické pružiny s vlastním tlumením nejsou ještě v praxi užívány. Lze se s nimi ojediněle setkat v patentové literatuře.

Literatura, která je v práci uvedena se týká spíše jen všeobecné problematiky pružného ukládání strojů, s výjimkou podkladů autorských osvědčení /20 až /23/.

1.2. Cíl disertace

Problematika pružného uložení strojů spočívá ve vhodném řešení odpružených podložek pod tyto stroje. Jejich návrh spočívá ve vyřešení kmitající soustavy osazené pneumatickými pružinami a vhodnými tlumiči kmitů. Dosud to zpravidla bývaly teleskopické hydraulické tlumiče automobilového typu. Cílem této práce je navrhnut netradiční způsoby tlumení pneumatických podložek. Řešení sledovalo možnosti zkvalitnění funkce těchto podložek, použitím buď pneumatických pružin s vlastním tlumením, nebo dokonalejší využití klasických teleskopických hydraulických tlumičů. Práce řeší tuto problematiku vesměs původními návrhy, na které byla udělena autorská osvědčení.

1.3. Zvolené metody zpracování

Hydraulický tlumič při stlačování pneumatické podložky vlastně "posiluje" stlačujícíse pneumatickou pružinu a neopak, při "roztažování" pneumatickou pružinu "zeslabuje". Tento poznatek mě přivedl k myšlence navrhnut těkovou pneumatickou pružinu, jejíž charakteristika by byla v každém směru pohybu jiná - při stlačování by byla "tužší" a při roztažování "měkčí". Ukázelo se, že toto myšlenka je reálná a že se těkovéto pružiny dají navrhnut a realizovat, někdy docela snadno.

Postupem doby, kdy jsem se touto problematikou zabýval, se mi podařilo nevrhnout několik principů, jak tento problém lze řešit. V práci jsou jednotlivá řešení popsána a zobrazena.

Pro ověření funkce byly navrženy dvě zkušební pneumatické pružiny s vlastním tlumením. Byly upraveny tak, aby se u nich nechal měnit i účinný vzduchový objem, čímž se vlastně nechala měnit základní charakteristika pružiny. Konstrukční návrh byl ovlivněn snehou po jisté typizaci podstatné části obou zkušebních pneumatických pružin. To znamená, že většina dílů pro obě pružiny byla totožná. Tím se jejich výroba podstatně urychlila a zlevnila.

Ke zkouškám se přikročilo proto, aby se ověřily vlastnosti a možnosti těchto pneumatických pružin s vlastním tlumením. Dále měly upozornit na případná úskalí těchto nových myšlenek, která se mohou snadno přehlédnout. Obzvláště první pružina měla odzkoušet princip, který se teoreticky zdál, pro svoji složitost, téměř neřešitelný - i když na druhé straně byl výrobně nejjednodušší a z toho důvodu byl i nejpřitažlivější.

Zkoušky, které byly s témito pružinami provedeny v podstatě potvrdily reálnost myšlenek i když nebyly ve všech případech stejně perspektivní.

Výsledky zkoušek byly zhodnoceny a teoreticky rozebrány, obzvláště u pružiny s přímým hydraulickým tlumením, aby se zjistily, pokud možno, všechny vlivy, které na činnost těchto pružin působí, aby se ukázalo jak výsledky ovlivnila metodika zkoušek.

Pokud jde o lepší využití klasických teleskopických hydraulických tlumičů automobilového typu u pneumatických podložek, vychází se z toho, že u těchto podložek dosud užívaných, konejí tlumiče jen malou část svého maximálního zdvihu.

2.0. Problematika tlumení soustav opatřených pneumatickými pružinami ve srovnání se soustavami opatřenými klasickými pružinami

Klasické hydraulické tlumiče jsou pevně seřízené a jejich vlastnosti se mění jen v závislosti na rychlosti pístu tlumiče, viz základní dif. pohybovou rovnici tlumeného hermonického pohybu

bu /1./

$$m/g + \ddot{x} + c\dot{x} + kx - F/x = 0$$

/1↓

Rychlosť pŕstu tlumiča odpovídajúci rychlosťi harmonického pohybu, jak je vidieť ze vzťahu /2/, závisí na maximálnom zdvihu a a na kruhové frekvencii tohto pohybu ω ,

$$\dot{x} = a\omega \cos \omega t$$

/2↓

Je-li tlumená kmitajúca sústava osadená na príklad šroubovými válcovými pružinami, bude její vlastná frekvencia

$$\omega^2 = \frac{k}{m} - \sqrt{\frac{c}{2m}}^2$$

/3↓

Je vidieť, že závisí na tuhosti pružiny k , na hmotnosti kmitajúcej sústavy m a na konstante tlumenia c . Niekedy sa také nazýva súčinitel tlumenia. Jeli kež ho zatím považujeme za konštantu, budu druhý člen vzťahu /3/ zanedbávať.

Energie takto rozkmitanej sústavy bude rovna

$$A = \frac{1}{2} m \omega^2 a^2$$

/4↓

Ze vzťahu /3/ a /4/ plyne, že zmeneou hmotnosti m kmitajúcej sústavy se nepriamo úmerně mení ω^2 , ale priamo úmerně energie A . Výsledkom je, že se nezmeneou energie harmonického pohybu a hydraulický tlumič musí utlumit stále stejné množstvo energie. Lze si to predstaviti tak, že pri zvýšenej hmotnosti m kmitajúcej sústavy se musí pružiny viac stlačiť, aby novou zátěž "unesly". Při vybuzení kmitú výjedním impulsem, kmitajúca sústava níže, s nižší frekvenciou, ale stejnou energiou harmonického pohybu A . Konšanta pružiny k je stála. Jeli kež se však snížila frekvencia kmitania ω , zmenšila se i rychlosť harmonického pohybu a tím i tlumiaci účinek hydraulických tlumičov. Ze vzťahu /2/a/3/plyne, že tlumiaci účinek se sníží úmerně výrazu $\frac{1}{m}$.

Jinak tomu je u kmitajúcich sústav opatrených pneumatickými pružinami. Zde se vychádza z toho, aby základná výška sústavy byla stála a rozkmitanie nastalo kolem této základnej polohy. Stálu výšku sústavy lze zajistiti jen zmeneou konštanty pružiny k . Při zvyšovaní hmotnosti m sústavy je třeba zvyšovat přímo úmerně i konštantu pružiny k . Děje se to připouštěním, nebo odpoštěním tlakového vzduchu. Tuto funkci zajišťuje zpravidla několik polohových ventilů.

Jestliže by se charakteristika pneumatickej pružiny v okolí

základní polohy pokládala za lineární, pak by se skutečně se zvyšováním hmotnosti m přímo úměrně musela zvyšovat tuhost pružiny k. V opačném případě, při částečné nelinearitě, by mohlo dojít k jistým úchylkám.

Při předpokladu lineární závislosti mezi hmotností m a tuhostí pružiny k plyne ze vztahu $\frac{1}{2} \cdot \frac{1}{2} \cdot \omega^2$ zůstane při změně hmotnosti m téměř konstantní. Proto energie harmonického pohybu A ze vztahu $\frac{1}{4}$ /poroste přímo úměrně velikosti hmotnosti m. Jelikož se nezmění frekvence kmitání ω , nezmění se ani tlumící účinek hydraulického tlumiče. Tento tlumič však musí "převést" větší množství mechanické energie harmonického pohybu na tepelnou energii. Po dosazení vztahu $\frac{1}{2}$ /do vztahu $\frac{1}{4}$ /plyne, že energie

$$A = \frac{1}{2} \cdot k \cdot a^2$$

/54

což je vlastně energie akumulovaná v pružině při maximálním výkonu. Je z toho vidět, že energie kmitavého pohybu je přímo závislá na tuhosti pružiny - pokud se tuhost pružin mění, jak je tomu u pružin pneumatických.

Jelikož úkolem tlumení je za jistý počet kmitů "zklidnit" kmitající soustavu, musí být tlumiče schopny v této době převést mechanickou energii harmonického pohybu na energii tepelnou, která se projeví především ohřátím tlumičové kapaliny a celých tlumičů. Jelikož se, se změnou hmotnosti kmitající soustavy, začne doba "zklidnění" soustavy měnit, je to jistě na závadu a lze mluvit o tom, že se soustava "rozlaďuje".

Z předchozích úvah vyplynulo, že rozlaďování je podmíněno především změnou velikosti energie harmonického pohybu kmitající soustavy a změnou tlumícího účinku tlumičů při změně hmotnosti této soustavy. Zatím co u šroubových válcových pružin se při změně hmotnosti m energie harmonického pohybu A nemění a tlumící účinek tlumičů se mění úměrně výrazu $\frac{1}{m}$ u soustav osazených pneumatickými pružinami se při změně hmotnosti soustavy m nemění tlumící účinky hydraulických tlumičů, ale mění se energie harmonického pohybu A přímo úměrně změně hmotnosti kmitající soustavy m. Je tedy vidět, že soustava opatřená pneumatickými pružinami je daleko citlivější na změnu hmotnosti soustavy m.

Při těchto úvahách byl zanedbán vliv druhého člena ze vztahu $\frac{1}{2}$ /, což je možné obzvláště, když je stálá konstanta tlumení c.

2.1. Potřeba tlumení harmonického pohybu.

Harmonický pohyb s tlumením c a budící síla F/x je popsaný pohybovou rovnicí /1/. Jde o kmitající soustavu s jedním stupněm volnosti. Řešení této rovnice je součtem řešení rovnice zkrácené /bez členu F/x/ a řešení partikulárního.

Řešení zkrácené rovnice má tvar

$$x = e^{-\frac{c}{2m}t} (\underline{A} \cos \omega t + \underline{B} \sin \omega t), \quad |6\downarrow$$

kde A, B jsou integrační konstanty a

$$\omega = \sqrt{\frac{k}{m} - \left(\frac{c}{2m}\right)^2}. \quad |7\downarrow$$

Je-li c imaginární, jsou kořeny charakteristické rovnice reálné a pro c > 0 záporné, takže pohyb je aperiodický, výchylka se stále zmenšuje, aniž mění znaménko. Rozhraní mezi periodickými a aperiodickými kmity určuje kritická hodnota tlumení

$$c_k = 2\sqrt{km}, \quad |8\downarrow$$

při které $\omega = 0$. Periodickým pohybem se zde rozumí pohyb, při kterém výchylka x mění v pravidelných intervalech znaménko, může se však postupně měnit i amplituda.

Je-li záporný exponent na pravé straně /6/ veliký, je výchylka x prakticky zanedbatelná. V čase $t > 6m/c$ bude mít exponent hodnotu -3 a kmitání popsané rovnicí /6/ prakticky zanikne. Převadž teto kmitání proběhne bez působení vnější síly F /jde totiž o řešení homogenní rovnice/, nazývá se kmitání volné. V ustáleném stavu se tedy volné kmitání nevyskytuje, neboť po určité době zaniká. Je charakteristické pouze pro rezeb, nebo dobeh stroje. Sem však také patří pružná pložka, na které je pracovní stroj, jehož silové impulsy jsou nahodilé a nechá se u nich vysledovat žádná frekvence ani žádná pravidelnost. Podebně se chová i automobil na vozovce. Přesto však tyto nahodilé budící síly /impulzy/ způsobí rozkmitání soustavy, kterou je třeba uvést do opětného klidu, pokud možno dříve, než nastane další silový impuls, který soustavu opět rozkmitá. Jde většinou o tlumení, při kterém se soustava uvede do opě-

ného klidu velmi rychle. U takového kmitání nepřichází v úvahu ani žádné nebezpečné resonance. Tlumiče však musí být poměrně značně dimenzované, aby vykmitnoucí soustava byla jimi rychle uvedena do klidu. Nesmí dovolit dlouhodobější rozkmitání soustavy. S tímto způsobem použití tlumičů se můžeme setkat u silničních vozidel, nebo u odpružených pedeleček, na kterých jsou stroje, které pracují se značnými rázy, avšak nepřavidelně, jako na příklad kovací buchary a pod.

Vynucené kmitání je popsáno partikulárním řešením

$$x = x_0 \cos(\omega_i t - \varphi) . \quad /9/$$

Výsledné kmitání je dáno součtem řešení zkrácené rovnice /6/ a partikulárního řešení /9/.

$$x = e^{-\frac{C}{2m}t} (A \cos \omega_i t + B \sin \omega_i t) + x_0 \cos(\omega_i t - \varphi) . \quad /10/$$

Po zjištění integračních konstant a po některých dalších úpravách má řešení následující tvar

$$x_0 = \frac{F_0}{k} \sqrt{\frac{1}{[1 - (\frac{\omega_i^2}{\Omega^2})]^2 + (2 \frac{C}{C_k} \frac{\omega_i^2}{\Omega^2})^2}} \quad /11/$$

ze kterého lze usoudit na některé zajímavé okolnosti.

Kdyby síla F_0 působila jako síla stálá / $\omega_i = 0$ /, způsobila by výchylku

$$x_{st} = \frac{F_0}{k} , \quad /12/$$

což je vlastně stlačení pružiny o tuhosti k .

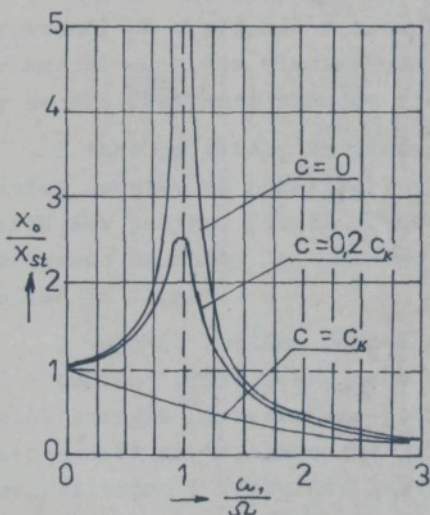
Ve výrazu /11/ $\sqrt{k/m}$ je vlastní frekvence kmitání soustavy. Je-li kruhová frekvence budící síly taková, že amplituda nabývá extrémních hodnot, mluví se o rezonanci $\omega_i \text{ res} = \Omega$. Vlivem tlumení vzniká rezonance při nižší budící kruhové frekvenci ω než při netlumeném $\omega_i \text{ res} < \Omega$. Při tlumení kritickém, nebo

větším než kritickém, rezonance nenastává, neboť výchylka je při $\omega > 0$ vždy menší než za klidu. Je-li tlumení malé, je přibližně $\omega_1 \text{res} = \underline{\Omega}$. Potom úpravou vztahu /11/ a dosazením za $\underline{\omega}_k$ vztah /8/ dostaneme po úpravě

$$x_{0\text{res}} = \frac{F_0}{C} \sqrt{\frac{m}{k}} \quad /13/$$

Názorně jsou všechny tyto výsledky patrný z obr.1. Tímto způsobem kmitají odpružené podložky nesoucí zařízení, které vyvzduje budící síly probíhající neustále, podle nějakého zákona a lze tedy u nich určit nejen jejich velikost, ale i jejich frekvenci. Tyto údaje jsou podmíněny vlastním pracovním dějem stroje, který je na odpružené podložce umístěn. Tento

pracovní stroj pracuje většinou nepřetržitě a proto i budící síla je nepřetržitá.



obr.1

i nižší a vyšší harmonické. Proto je vždy dobré udělat si při takovémto konstrukčním řešení předem frekvenční analýzu, která by spočívala v tom, že by se spočítala vlastní frekvence kmitající soustavy $\underline{\Omega}$ a její nejbližší harmonické a srovnaly by se s frekvencí budící síly $\underline{\omega}_1$.

Pro úspěšný návrh pružné podložky bude zajímavá obzvláště frekvence budící síly $\underline{\omega}_1$. Dobře navržená pružná podložka by se měla se svou vlastní frekvencí $\underline{\Omega}$, při uvažování i hmotnosti na ní umístěného zařízení, dostat mimo oblast frekvence budící síly $\underline{\omega}_1$. Jinak by zde nastala rezonance a tím i neúměrné rozkmitání celé soustavy. Přitom je třeba vzít v úvahu

Jak je vidět z obr.1, při návrhu kmitající soustavy bezpečně mimo rezonanční oblast, nejsou tlumiče ani zapotřebí. Dokonce by jejich zabudování zhoršilo v jistém směru vlastnosti pneumatické odpružené podložky. Každá klasická pneumatická pružina je dobrým izolátorem šíření různých zvuků a vysokých frekvencí. Zabudováním hydraulického tlumiče, který je kevový, se vlastně tyto izolátory zvuku přemostí a ty se pak mohou přenést ze stroje umístěného na pneumatické podložce do základu a na další navazující zařízení. Toto by platilo jednoznačně, pokud by soustava pracovala v podrezonanční oblasti. Pokud by však pracovala v nadrezonanční oblasti, pak mají tlumiče význam pro překonávání rezonanční oblasti, při rozehání nebo zastavování soustavy. Tlumiče pak sníží výrazně amplitudu v rezonanční oblasti. Při použití $c = c_k$ se lze dostat s výkmitem x_0 i pod statické stlačení pružiny x_{st} . Velké tlumení poněkud sníží i vlastní frekvenci Ω . To by umožnilo dostat se s vlastní frekvencí Ω v případě rezonance alespoň poněkud mimo budící frekvenci ω a tím vlastně odstranit nebezpečí rezonance, pokud by se obě frekvence náhodou sešly.

Z toho je vidět, že tlumení /zabudování tlumičů/ u kmitajících soustav má několikrát význam, podle vlastnosti a druhu kmitavého pohybu. Záleží především na tom, jaká je vlastní frekvence soustavy Ω , jaká je frekvence budící síly ω a jak veliké je tlumení.

U volného kmitání rozděláme velikost tlumení o tom, půjde-li o kmitání periodické, nebo aperiodické. Jde vlastně o to, kolik energie harmonického pohybu se stačí během jedného zdvihu přeměnit na tepelnou energii zásluhou tlumení. Tlumením je zde ovlivněna i frekvence kmitání.

Pokud jde o vynucené kmitání, tam se tlumením výrazně snižuje amplituda při překonávání rezonanční oblasti. Dále se nechá poněkud změnit i vlastní frekvence kmitající soustavy Ω . Při tlumení nadkritickém se sníží amplituda pod hodnotu statické výchylky x_{st} .

Proto má význam se problematikou tlumení v souvislosti s pneumatickými pružinami zabývat. Má to význam tím spíše, že tyto pružiny mají vynikající vlastnosti a nemají vlastní útlum.

3.0. Použití hydraulických tlumičů

Odpružení kmitajících soustav pneumatickými pružinami bývá v současné době realizováno povětšinou ve spojení s klasickými teleskopickými hydraulickými tlumiči automobilového typu.

Jde-li o odpružení soustavy, za pomocí pneumatických pružin, jejíž hmotnost se nemění, pak tyto tlumiče zcela dobře vyhoví, není totiž problém osadit kmitající soustavu různým počtem těchto tlumičů a nebo různě velikými tlumiči tak, aby se dosáhlo požadovaného tlumení. Výhodou těchto tlumičů je především jejich snadná dostupnost na trhu a přijatelná cena vzhledem k dokonalé technologii jejich výroby. V tomto případě se však jaksi ztrácí hlavní výhoda pneumatické pružiny - zachycovat kmity soustav různých hmotností při stálé výšce nad základnou. Na druhé straně nelze však opomenout vibrozizolační vlastnosti těchto pružin, které jsou také často velmi důležité.

Problém s odpružením a tlumením soustav opatřených pneumatickými pružinami nastane tam, kde se bude měnit hmotnost této soustavy. Tento problém, jak vyplýnulo z předchozí kapitoly, je podstatně větší než u klasické pružiny šroubové. Pneumatická pružina snadno udrží stejnou statickou výšku i při měnící se hmotnosti soustavy tím, že mění vnitřní přetlak vzduchu. To však způsobuje změnu tuhosti pružiny. Soustava kmitá stále stejnou frekvencí, avšak energie harmonického pohybu růste a je tedy třeba, aby tlumiče utlumily více mechanické energie a převedly ji na energii tepelnou. Tomu mohou ovšem vyhovět pouze tlumiče s měnitelným útlumem. Při použití takovýchto tlumičů se teprve mohou plně realizovat výhody pneumatických pružin.

3.1. Vlastnosti klasických tlumičů v provozu

Tento tlumič má, při neměnících se veličinách harmonického pohybu, stále stejné vlastnosti, t.zn. stejnou tlumící sílu a stejnou utlumenou energii. Nemá tedy schopnost měnit své tlumení v závislosti na tom, jak se mění hmotnost kmitající soustavy a tedy i energie harmonického pohybu. To má za následek, že s rostoucí hmotností odpružené soustavy se prodlužuje i doba potřebná na utlumení "uklidnění" soustavy po předchozím rozkmitání. Dá se tedy říci, že tyto klasické hydraulické tlumiče vyhovují jen pro určitou hmotnost kmitající soustavy a že každá úchylka od této hmot-

nosti směrem nahoru i dolu způsobí její "rozladění".

Ve skutečnosti tlumící schopnost těchto tlumičů s použitím neustále klesá, neboť dochází k opotřebení těch jeho částí, které mají mít co nejmenší výrobní vůle. Tyto vůle se zvětšují, tlumící kapalina protéká s menšími hydraulickými odpory a tlumící síla tlumiče klesá. Dále dochází k únavě ventilových pružin, nebo přímo planžetových ventilků. Ty pak začínají dříve a ve větší míře propouštět tlumičovou kapalinu z prostoru pod pístem do prostoru nad píst, nebo z vyrovnávacího prostoru do prostoru pod píst a zpět. Tím se pochopitelně také sníží tlumící schopnosti hydraulického tlumiče.

Hydraulický tlumič je naplněn tlumičovou kapalinou, což bývá zpravidla olej o malé viskozitě. Je třeba, aby se zamezilo jejímu úniku během používání tlumiče, neboť únik opět zhoršuje vlastnosti tlumiče. Během používání se nedá, byť malému, úniku zabránit. Lze tedy konstatovat, že vlastnosti hydraulického tlumiče se časem používání zhoršují. U některého tlumiče se tyto nepříznivé vlivy mohou nehnadile sejít ve větší míře. Jeho funkční zhoršení potom může být značné. Proto se doporučuje přesvědčit se po delší době provozu tlumičů o změně jejich vlastností. Někdy se závady po výměně drobných součástí dají odstranit a tlumič se po seřízení může opět užívat. Jindy je třeba jeho výměna. K tomu je třeba mít k dispozici nějaké zkušební "cejchovní" zařízení, které by vlastnosti tlumiče objektivně posoudilo. O hodnocení vlastností tlumičů a o snímání jejich charakteristik bylo pojednáno v minulých výzkumných zprávách.

V souvislosti s hydraulickými tlumiči je třeba poukázat, jaký vliv má tlumičová kapalina na vlastnosti těchto tlumičů. Hydraulický odpor této kapaliny, proti proudění v tlumiči, je přímo úměrný viskozitě. Ta, jak je známo, je silně závislá na teplotě. Hydraulický tlumič jako, jako "likvidátor" kinetické energie harmonického pohybu kmitající soustavy, mění tuto energii na energii tepelnou, která se projevuje zvýšením teploty tlumičové kapaliny a celého tlumiče. Výše teploty je přímo úměrná utlumené energii a nepřímo měrnému teplu této kapaliny. Jelikož zvýšením teploty tlumičové kapaliny se sníží její viskozita, sníží se i tlumící schopnosti daného hydraulického tlumiče. Navíc přetlak, který vznikne v tlumiči vlivem jeho zahřátí, namáhá nepříz-

nivě upcpávky i za klidu tlumiče a zapříčinuje únik tlumičové kapaliny. Nepřínivě ovlivňuje vlastnosti tlumiče i pěnění tlumičové kapaliny, kterému se může odpomoci přetlakem vzduchu nad kapalinou. Tehoto vylepšení hydraulického tlumiče kmitů se v současné době používá u některých soutěžních automobilů.

Klasické teleskopické hydraulické tlumiče kmitů jsou konstruovány většinou pro pružiny, nebo pružnice ocelové, které svou charakteristiku s ohledem na hmotnost kmitající soustavy mění jen v závislosti na stlačení. Nemohou udržet stálou výšku nad záladnou pro různé hmotnosti kmitající soustavy. Při těchto horších vlastnostech ocelových pružin, ve srovnání s pneumatickými pružinami, toho již hydraulické teleskopické tlumiče klasického automobilového typu, to znamená pevně nastavené, nemohly mnoho "pokazit". Jak již bylo podotknuto, mohou docela dobře vyhovět pro ustálené provozní podmínky, tedy především pro osazení pneumatických podložek pod výrobní zařízení vykazující za provozu značné rázy, chvění a vibrace.

Na druhé straně jsou tyto klasické tlumiče prodávány v přijatelných cenách, neboť jejich výroba se po létech užívání technologicky značně zdokonalila a tedy i zlevnila.

3.2. Užití regulovatelných hydraulických tlumičů

V úvodu bylo zdůvodněno, že je třeba kmitající soustavu tlumit v závislosti na její hmotnosti. Proto se již delší dobu hledají pro tyto účely samoregulační tlumiče vhodných vlastností a v přijatelných výrobních cenách.

Z dosavadních poznatků vyplývá, že nelze nalézt charakteristiku tlumení, u tlumiče klasického /neregulovatelného/, splňující současně požadavky optimálního útlumu kmitání odpružených hmot v celém rozsahu jízdních režimů, nebo v celém rozsahu charakteristik pneumatických pružin.

Jednou z cest řešících tyto potíže může být použití pneumatických pružin ve spojení s regulovatelnými hydraulickými tlumiči pérováním, u nichž se charakteristika tlumení přizpůsobuje daným provozním podmínkám. Přitom se tlumič může nastavit předem, nebo se reguluje přímo za provozu podle potřeby, třeba v závislosti na měnícím se tlaku vzduchu v pneumatických pružinách. Jejich většimu rozšíření zatím brání značná služitost a cena.

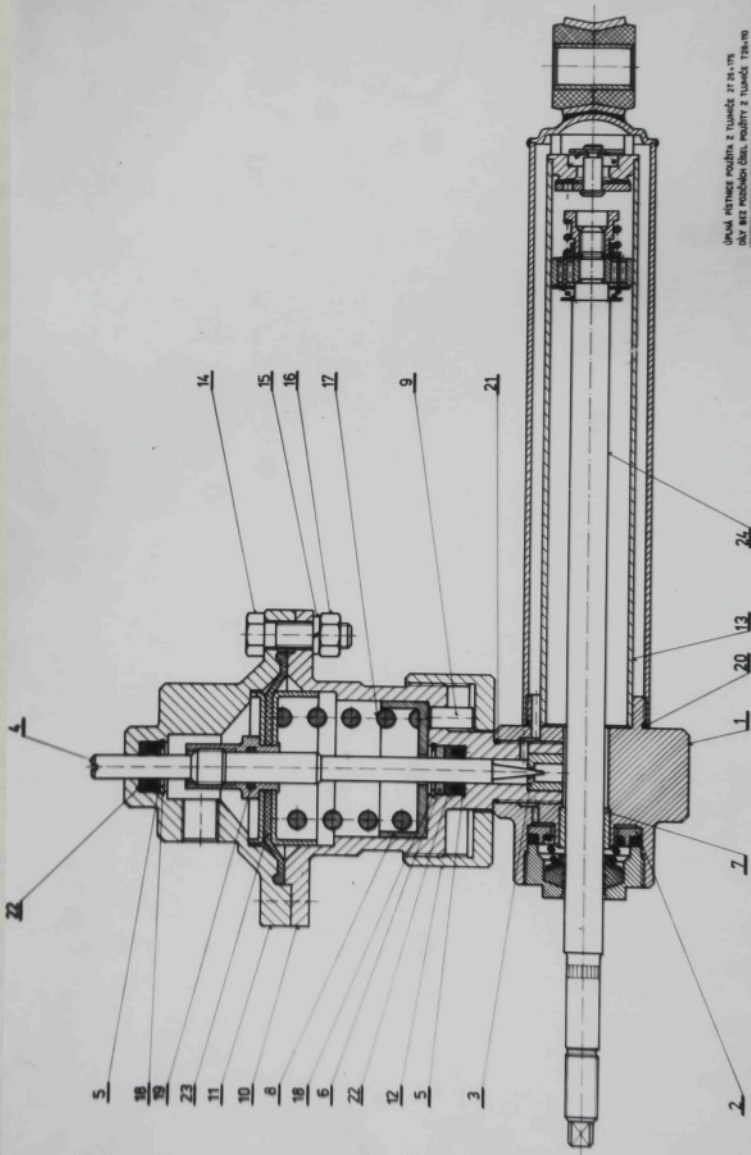
Na obr.2 je ofotografován výkres jednoho ze dvou regulačních tlumičů, které se vyvinuly a vyrobily na naší katedře. Nosnou částí regulační jednotky je těleso 1, které je našroubováno ve vrchním válci a v jehož vnitřním vybrání se opírá pracovní válec tlumiče 13. V tělesu 1 je nalisováno bronzové vedící pouzdro 7, dále je v horní části tělesa 1 vložena podložka 2, přítlačná pružina, kolík a těsnící kroužek pístnice. Zátkou se vytvoří potřebný přetlak pružiny na kolíček a tím se zajistí utěsnění pístnice. Volným prostorem mezi tělesem 1 a podložkou 2 odchází průvrt v tělesu 1 do vyrovnávacího prostoru tlumičová kapalina proteklá netěsností mezi pístnicí 24 a pouzdrem 7.

V tělese regulačního ventilu 10, našroubovaného v tělesu 1, je vedena jehla 4 a nalisovaná tryska obtokového ventilu 3. Jehla je utěsněna "U" manžetou 22, jejíž tvarovou stálost zajišťuje přítlačný kroužek 5 a operný kroužek 6, který dosedá na pojistný kroužek 16. Otvory ve dně tělesa 10 prochází tři kolíky 9, jejichž prostřednictvím je možno pomocí matice 12 měnit předpětí regulační pružiny 17. Tato pružina je jedním koncem opřena o vedící misku membránového pístu 23. Jeho membrána je sevřena mezi tělesem ventilu 10 a víkem ventilu 11. Těleso a víko ventilu jsou spojeny čtyřmi šrouby 14 a maticemi 16. Ve víku ventilu je opět vedena posuvná regulační jehla 4, která prochází svou závitovou částí nábojem pístu 23. Závit umožňuje přesné nastavení posuvné regulační jehly 4. Zdvih pístu 23 je dán vnitřními osazeními ve víku 11 a tělesu 10 regulačního ventilu.

Tlak ovládacího média /vzduchu/ nad pístem je těsněn pryzovou membránou pístu 23 a těsnícím kroužkem 19. Tvarovou stálost manžety 22 ve víku ventilu 11 zajišťuje přítlačný kroužek 5, který je zajištěn pružnou pojistikou 18.

Průtečný průřez obtokového ventilu 3 je regulován posuvnou jehlou 4. Celá regulace tlumení je vlastně založená na škrzení průtoku tlumičové kapaliny mezi prostorem v hlavním válcu tlumiče 13 a vyrovnávacím prostorem tlumiče, který se nachází mezi oběma plášti tlumiče.

Tento regulační tlumič se navrhoval ke kmitajícím sous-



Úvodní schéma podle z Tiskučího 17.24.75
 do RKE poslouží klas. výrobky z Tiskuč 726-70
 21
 V.G.D.T.
 K.Č. 1000
 1.533-72/00
 TUMIČ

tavám opatřených pneumatickými pružinami. Proto jeho regulace je odvozená od změny tlaku vzduchu v pneumatických pružinách. Vzduch se přivádí do tělesa 11 nad membránový píst 23, který je zespodu vracen pružinou 17. Při zvětšení přetlaku vzduchu v pneumatické pružině vzroste tlak vzduchu i nad membránovým pístem 23, zvýší se tím i síla, která na něj působí. Tato síla překoná sílu nastavenou pružinou 17 a dojde k přesunutí membránového pístu 23 směrem dolu do polohy, kde se opět vyrovná síla na membránový píst 23 od vzduchu a síla pružiny 17. Přitom se však o stejnou hodnotu přemístí i posuvná jehla 4 a zmenší průtočný průřez v trysce obtokového ventilu 3, čímž se zvýší odpor postavený do cesty tlumičové kapalině a tím se vlastně zvýší při nárustu tlaku vzduchu v pružině /zvýšení kmitající hmotnosti/ i tlumící účinky tohoto tlumiče. Při poklesu tlaku vzduchu v pneumatické pružině, následuje opačný proces, jehož výsledkem je snížení tlumících účinků tohoto tlumiče. Tím by se měly zachovat stálé vlastnosti kmitající soustavy opatřené pneumatickými pružinami.

Aby se nastavila správná pracovní oblast tohoto regulačního tlumiče, může se pomocí matice 12 a tří kolíků 9 nastavit požadované předpětí pružiny 17 a šroubováním posuvné jehly 4 nastavit její vhodnou polohu.

Popsaný tlumič dle obr.2 je vlastně tlumič samoregulovatelný. Tyto tlumiče jsou ovládány přídavným zařízením, které je citlivé na změnu hodnoty té veličiny, která se při provozu mění a má vliv na charakter kmitání odpružené soustavy. Může to být na příklad změna frekvence kmitání, změna tlaku vzduchu v pružině, změna zrychlení harmonického pohybu atd. Popsaný regulační tlumič, dle obr.2 byl regulován změnou tlaku vzduchu v systému pneumatických pružin. Jeho charakteristiky jsou uvedeny v části → části 3.7. na obr.17 a obr.18. Obzvláště je z nich dobrě vidět, že složitost konstrukce a výroby, patrná z obr.2, nepřinesla očekávané výsledky pokud jde o účinnost a funkci tohoto tlumiče.

Vývoj regulačních hydraulických tlumičů směřuje k tlumičům samoregulovatelným, které nevyžadují pozornost ani zásah řidiče či obsluhy. Rozšíření lze očekávat u dražších vozidel.

3.3. Způsob hodnocení hydraulických tlumičů.

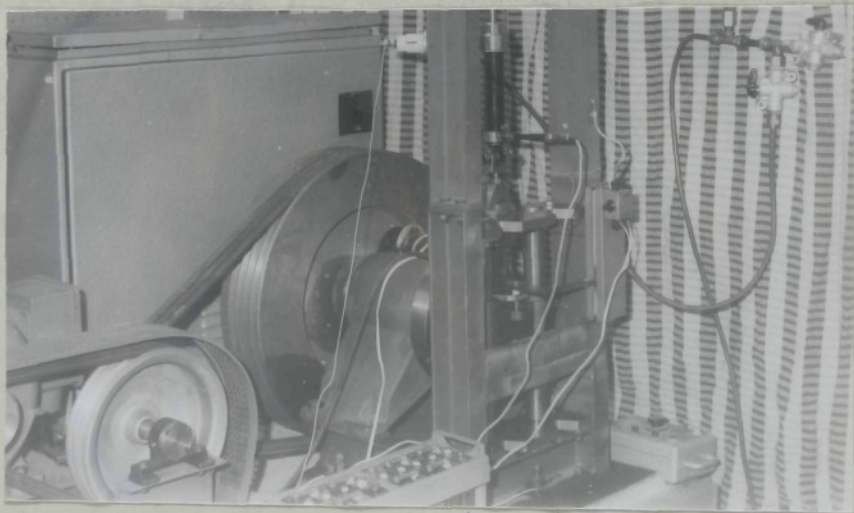
Pneumatické pružiny mají nepatrné vlastní tlumení a proto se zatím stále používají ve spojení s hydraulickými tlumiči, a to nejčastěji s obyčejnými, neregulovatelnými. Ty jsou celkem spolehlivé a v přijatelných cenách, ve srovnání s hydraulickými tlumiči regulovatelnými. Takováto kmitající soustava /hmotnost, pružina, tlumič/ se potom navrhne na nejběžnější režim práce. Pro správné naladění soustavy je třeba znát parametry této soustavy. Kromě velikosti hmotnosti odpruženého zařízení a konstanty tuhosti pružiny, jsou to také vlastnosti hydraulického tlumiče. Teprve potom lze přistoupit k vlastnímu "ladění" kmitající soustavy.

Zpočátku se hydraulické tlumiče posuzovaly pouze podle jejich zdvihových charakteristik, kde tlumící síla je zaznamenána v závislosti na zdvihu tlumiče $F = f/x$. Kmitající soustava se totiž většinou naladila podle subjektivních dojmů.

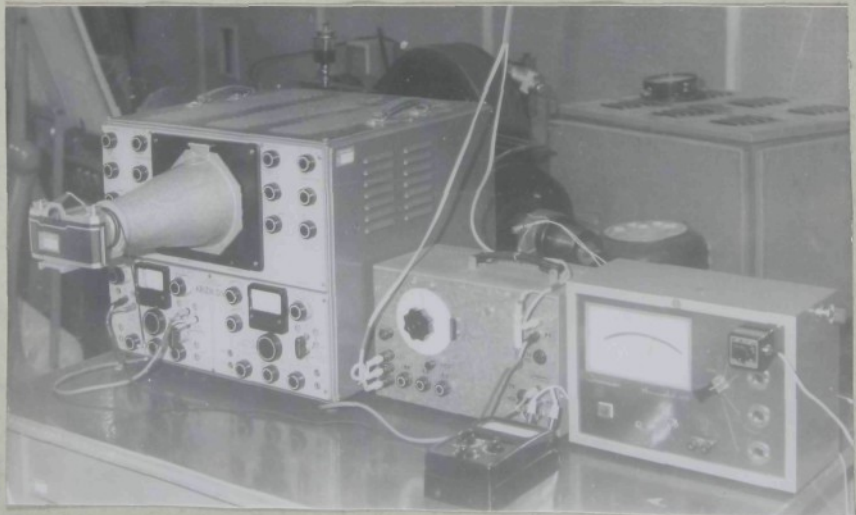
Dnes, kdy lze za použití měřících zařízení a výpočetní techniky provádět dokonalé rozbery a tedy i fundované, naprostě objektivní zásahy do seřízení těchto soustav, již nestačí znát pouze zdvihovou závislost, ale je třeba snímat i charakteristiku rychlostní $F = f/\dot{x}$.

Za tímto účelem byla konstruována různá zkušební zařízení, která by umožňovala odměření obou těchto charakteristik hydraulického tlumiče. Také na naší katedře bylo před lety navrženo a s pomocí Vývojových dílen VŠST vyrobeno zkušební zařízení. Toto zařízení je vidět na obr.3 a jeho přístrojová část na obr.4. Dnes je toto zařízení po stránce přístrojové již zastaralé. Elektronika má dnes již jiné možnosti pro pohotovější a rychlejší vyhodnocení záznamu charakteristik tlumičů.

Původně sloužilo pouze ke snímání zdvihové charakteristiky. Postupnými dalšími úpravami slouží nyní i ke snímání rychlostní charakteristiky. Toto zkušební zařízení sestává z kulisového mechanismu, který realizuje harmonický pohyb závěsu, do kterého je upnut vlastní zkoušený tlumič. Zdvih tohoto mechanismu se nechá plynule přestavovat /za klidu/ a nechá se i plynule měnit i frekvence harmonického pohybu, neboť k jeho pohonu se používá stejnosměrný motor s cizím buzením TMN 20 Ab,



obr. 3



obr. 4

který je patřičně zpřevodován do pomala /1:10/.

Druhá strana zkoušeného tlumiče je uchycena k tensometrickému ohybovému snímači síly. Je osazen dvěma tensometry. Jeden snímá tlakovou deformaci a druhý tahovou ohybového snímače. Zapojeny jsou v protilehlých větvích Wheastonova můstku. Tím má vlastně snímač dvojnásobnou citlivost a zajištěnou tepelnou kompenzaci. Podrobnosti zkušebního zařízení a použitých měřicích přístrojů byly popsány ve výzkumné zprávě KST 80-15, proto uvádím pouze hlavní parametry a hlavní charakteristiky zkušebního zařízení:

výkon elektromotoru	P= 10kW
frekvence otáčení motoru	$n_1 = 46,6 \text{ s}^{-1}$
frekvence otáčení kliky	$n_2 = 0,7 \div 4,66 \text{ s}^{-1}$
maximální zdvih tlumiče	$x_{\max} = 150$
Maximální tlumící síla	$F_{\max} = 1500 \text{ N}$
rychlosť pístu tlumiče	$\dot{x}_{\max} = 0,22 \div 2,2 \text{ ms}^{-1}$

3.4. Metodika měření.

Všechny charakteristiky, které jsou dále v práci uvedeny byly snímány za stejných, předem dohodnutých podmínek:

zdvih tlumiče	$x = 100$
frekvence tlumiče	$f = 1,66 \text{ Hz}$
teplota tlumiče	$t = 30^\circ \text{C}$

Celá měřící aparatura musela být před započetím měření cejchována. To se provádělo prstencovým siloměrem, jehož rozsah byl 0 až 1500N. Postupným stlačováním tohoto siloměru se ocejchoval tensometrický ohybový snímač. Zvláštní funkci měly body 0 a 500N, případně 250N, které se později zanášely na každou sejmoutou charakteristiku jako cejchovní body pro možnost vyhodnocení. Cejchování záznamu se uskutečnilo známým rezvážením Wheastonova můstku. Tyto body byly vyznačené přímo na stupnicí můstku. Po upnutí tlumiče do zkušebního stavu se tímto stavem muselo ručně protičít a pomocí indikátorových hodinek, které měřily průhyb ohybového tensometrického snímače síly, sledovat jestli píst tlumiče nenaráží v okolí krajních úvratí na dno tlumiče. To by se mohlo stát, kdyby se tlumič upnul, vzhledem k jeho zdvihu, nevhodně. Pomocí týchž indikátorových hodinek se

zjistilo, jestli po upnutí není v tensometrickém ohybovém snímači síly nějaké silové předpětí. Dále následovalo zanesení obou cejchů /0 a 500N/ na film. To se provedlo ještě za klidu zkušebního zařízení. Následovalo spuštění zkušebního zařízení, nastavila se požadovaná frekvence /pomocí tachodynámky/ a provedl se záznam buď zdvihofé, nebo rychlostní charakteristiky zkoušeného tlumiče.

Zastaralost a nepraktičnost tohoto zkušebního zařízení se projevuje především v tom, že obraz snímané charakteristiky se ukáže na obrazovce osciloskopu. Jeho záznam se však - se však - snímá fotoaparátem /zrcadlovka, aby byla kontrola na matnici/. Získání charakteristiky až po vyvolání filmu může činit různé potíže, na příklad s exposicí nebo s přehlédnutím některého důležitého úkolu /záznam cejchu/. Současné typy osciloskopů dokáží podržet záznam charakteristiky na obrazovce tak dlouho, aby ho bylo možno obkreslit a nebo na přídavném zařízení zaznamenat.

3.5. Snímání zdvihofé charakteristiky

Tato charakteristika ukazuje, jak dokonale pracují jednotlivé části tlumiče, především jednotlivé ventily, jestli je tlumič dostatečně naplněný tlumičovou kapalinou, případně jestli v něm nedochází k nadměrnému pěnění kapaliny.

Kromě toho, že upozorňuje na závady, je z ní vidět, jaký je podíl mezi tlumící síle při zasouvání tlumiče a tlumící síle při vysouvání tlumiče. Plocha záznamu zdvihofé charakteristiky je přímo úměrná utlumené energii během obou zdvihů tlumiče. Je třeba pouze zjistit měřítka zdvihu a síly, aby se zplanimetrováním diagramu mohla vyčíslit skutečná utlumená energie zkoušeným hydraulickým tlumičem.

Ke snímání zdvihu tlumiče se užívá vinutý odporový snímač v potenciometrickém zapojení. Napájen byl napětím 12V z baterie. Odváděné napětí se vedlo přímo na vedenovné vychylování osciloskopu. Způsob snímání je patrný z obr.5. Ukázky několika zdvihofých charakteristik zaznamenaných v poslední době jsou uvedeny v části 3.7. i s popisem.

3.6. Snímání rychlostní charakteristiky

Při řešení kmitajících soustav se dnes běžně užívá samočinných počítačů. S tím však vyvstala potřeba snímat u hydraulických tlumičů jejich rychlostní charakteristiky. Ty původně sloužily pouze k posuzování průběhu tlumící síly v závislosti na rychlosti pohybu pistu tlumiče. Vyjádříme-li tlumící sílu F v závislosti na rychlosti \dot{x} jako

$$F = cx^n$$

14.

pak pro $n = 1$ jde o tlumič s lineární závislosti síly na rychlosti pohybu pistu a graf je přímkový

$n < 1$ jde o tlumič degresivní - charakteristika je prohnuta pod přímku směrem dolů

$n > 1$ jde o tlumič progresivní - charakteristika stoupá rychleji než přímková.

Přitom tlumič může mít pro zasouvání i vysouvání stejné nebo různé charakteristiky, pokud jde o jejich typ. Běžné jsou tlumiče, které mají na příklad při zasouvání degresivní a při vysouvání lineární nebo dokonce progresivní charakteristiku. Je to patrné z ukázek rychlostních charakteristik.

Dnes právě pro teoretická řešení pohybových rovnic kmitajících soustav se stává zajímavá konstanta tlumení c . Je to konstanta, která charakterisuje vlastnosti tlumení v základní pohybové rovnici harmonického pohybu s vnější budicí silou $/1/$.

Jseou-li známé rychlostní charakteristiky, nechá se konstanta tlumení c zjistit buď přibližnými metodami, nebo přesnějšími metodami na počítači.

Jelikož zkušební zařízení původně sloužilo pouze ke snímání zdvihové charakteristiky a bylo vybaveno potenciometrickým vinutým snímačem dráhy, nabízelo se pro snímání rychlostní charakteristiky použít elektrické derivace dráhy a tím by se vlastně zdvihová charakteristika změnila na charakteristiku rychlostní velmi snadno a rychle s jedním snímačem. Tato rychlostní charakteristika však byla velmi nekvalitní - velmi "rozechvělá", což neodpovídalo skutečné závislosti mezi tlumící silou a rychlostí harmonického pohybu. Bylo to způsobeno tím, že elektrická derivace vlastně vyjadřuje strmost derivace

vané křivky /dráhy/ v každém jejím nepatrném úseku. Tím se vlastně neúměrně zvětšovaly nepatrné, ale strmé záhvěvy na zdvihové charakteristice při jejím elektrickém derivování na charakteristiku rychlostní. K tomu stačilo třeba jen nepatrné zaklísání napětí na snímači dráhy při přejezdu kontaktu jezdce z jednoho závitu na druhý závit potenciometrického snímače dráhy, což bylo způsobeno okamžitým špatným dotykem.

Proto bylo použito známého mechanického derivování harmonického pohybu na rychlosť harmonického pohybu. Princip spočívá v tom, že se dráhovým snímačem zaznamenává dráha čepu kulisového mechanismu v rovině pootočené o 90° , proti skutečné dráze pístu tlumiče, což je vlastně, až na měřítko, průběh rychlosti pístu tlumiče.

Dráha harmonického pohybu /dráha ve směru \underline{y} /

$$x = a \cdot \sin \omega t \equiv x_y . \quad /15/$$

Rychlosť harmonického pohybu je první derivace dráhy

$$\dot{x} = a \omega \cos \omega t , \quad /16/$$

ale také

$$\dot{x} = v_0 \cos \omega t = a \cos \omega t .$$

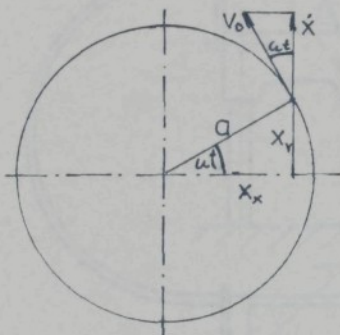
Dráha ve směru \underline{x}

$$x_x = a \cdot \cos \omega t . \quad /17/$$

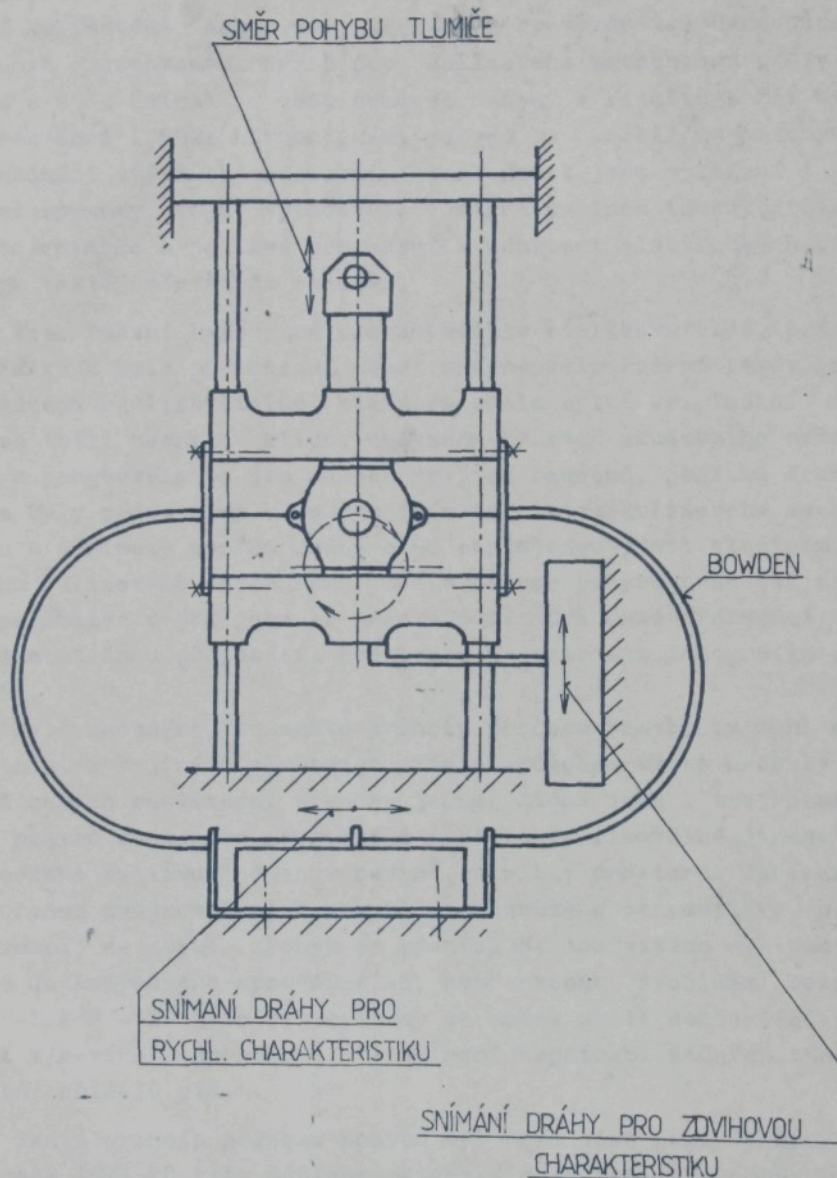
Srovnáme-li vztahy /16/ a /17/ je vidět, že dráha harmonického pohybu měřená ve směru \underline{x} a rychlosť harmonického pohybu se liší jen konstantou a , což se může snadno eliminovat vhodným nastavením zesilovače a pod..

Schema umístění obou snímačů, které jsou stejné, je patrné z obr.6. Pro snímání dráhy i rychlosti harmonického pohybu by vlastně postačil jeden snímač dráhy. Aby se však snímání obou charakteristik urychlilo, užilo se dvou stejných vinutých potenciometrických snímačů dráhy, čímž odpadlo neustálé přemontovávání tohoto snímače.

Při realizaci této myšlenky, t.j. umístění potenciometrického snímače dráhy tak, aby snímal rychlosť harmonického pohybu



obr.5



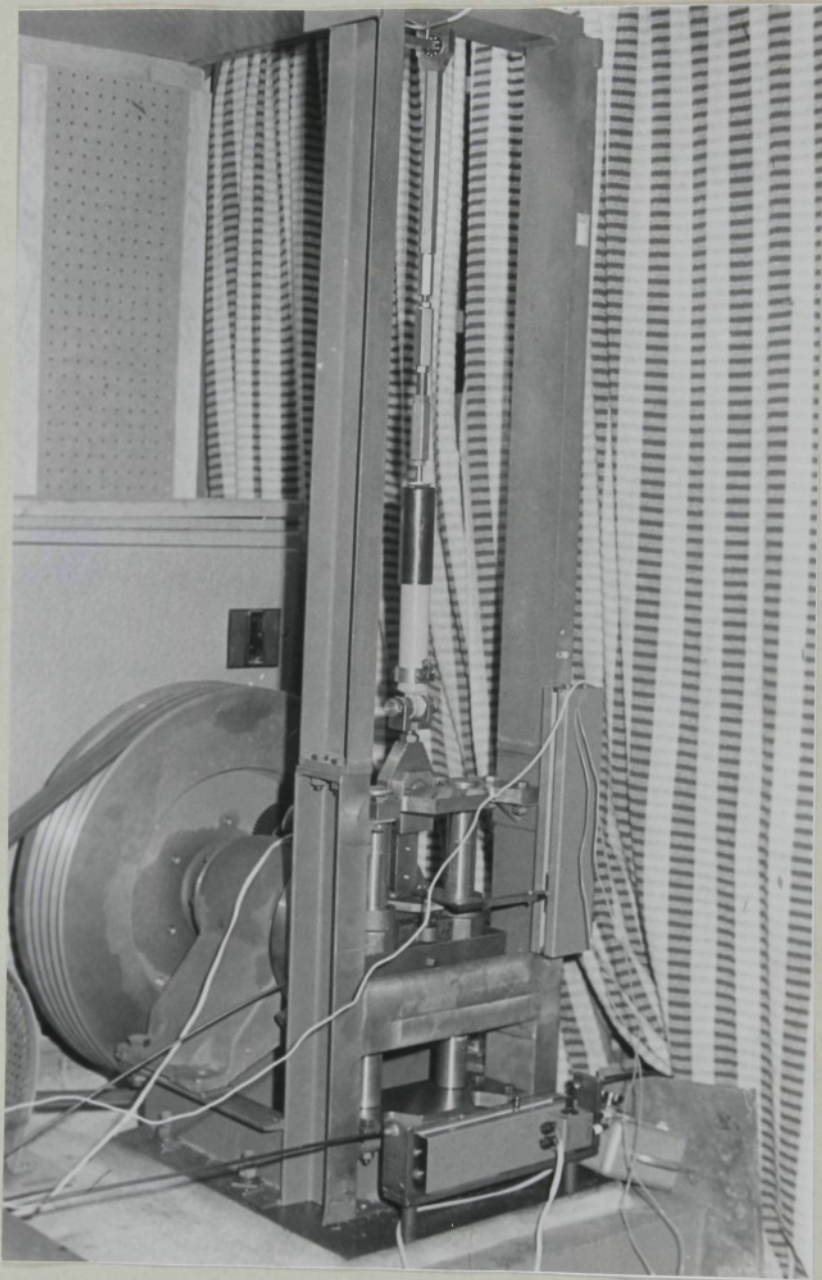
se původně uvažovalo o tom, že by tento snímač dráhy byl součástí kulisového mechanismu, se kterým by vykonával harmonický pohyb a zachycoval dráhu čepu kulisového mechanismu pootečenou o 90° . Snímač je však poměrně hmotný a rozměrný. Při malé frekvenci 1,66Hz harmonického pohybu by působil na přichytka značnými dynamickými silami a vzhledem k jeho vyložení i ohrovými momenty. To by vyžadovalo poměrně značnou tuhost držáku tohoto snímače a pečlivé provedení a uchycení elektrických přívodů k takto umístěnému snímači.

Toto řešení bylo sice pravděpodobně realizovatelné, práce na něm však byla přerušena, neboť mne napadlo řešení lákavější a snadněji realizovatelné, které se zdálo být i originální. Snímač se totiž nechal v klidu, upevněný na rámu zkušebního zařízení a pohybovalo se jím pomocí dvojice bowdenů, jejichž druhé konce byly připevněny k pohybujícím se částem kulisového mechanismu a odnímaly z něho dráhu o 90° pootečenou proti vlastnímu zdvihu kulisového mechanismu. Tento přenos pohybu pracoval zcela spolehlivě a jak jsme se přesvědčili, při dané frekvenci i s dostatečnou přesností. Realizace je patrná z fotografie na obr.7 .

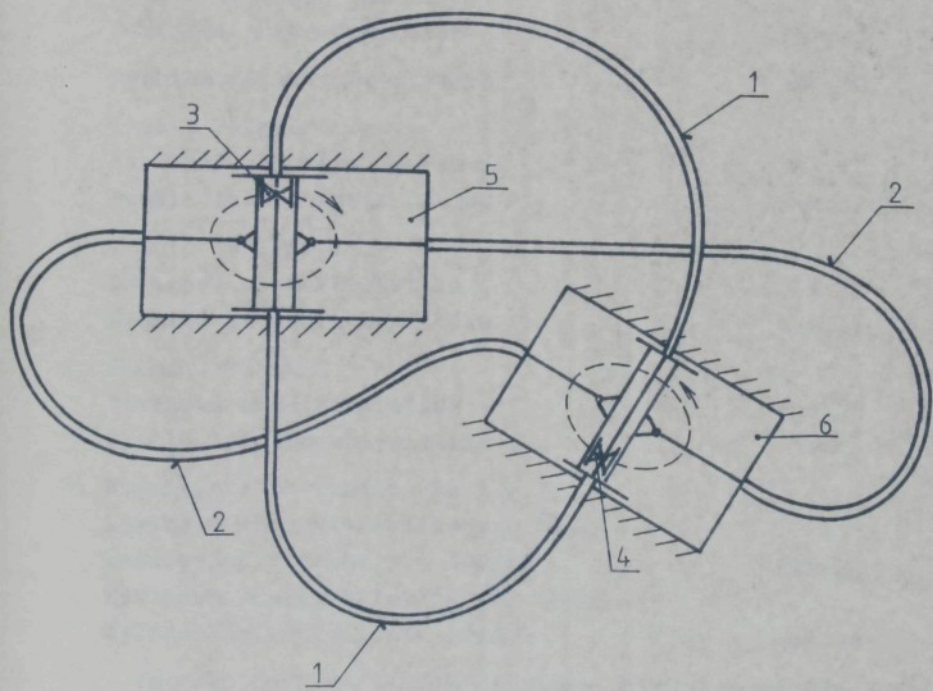
Bylo usouzeno, že tento princip přenosu pohybu by mohl mít uplatnění i v jiných odvětvích. Tímto způsobem by se nechaly totiž snadno realizovat přenosy jedno, dvoua snad i trojrozměrných pohybů z jednoho souřadného systému do libovolně jiného souřadného systému, nejen v rovině, ale i v prostoru. Zařízení pro přenos dvojrozměrných pohybů je naznačeno schematicky, pro informaci, na obr.8 . Pohyb se přenáší ze souřadného systému 3 - 5 do souřadného systému 4 - 6, nebo naopak, dvojicemi bowdenů 1 - 1 a 2 - 2. Tyto dva systémy se mohou proti sobě různě natáčet v rovině i prostoru. Přitom není zapotřebí žádných táhel, kloubů, hřídel atd. .

Tento princip přenosu pohybu byl přihlášen jako vynález a v roce 1984 mu bylo uděleno autorské osvědčení č.226656.

V současné době se pro snímání dráhy, rychlosti a případně zrychlení již nepoužívají vinuté potenciometrické snímače. Daleko lepších výsledků se dosáhne při použití bezdotykových indukčních snímačů. Jako primární snímaná veličina zde však



obr. 7



obr. 8

není dráha, ale rychlosť harmonického pohybu, neboť indukované napětí je přímo úměrné rychlosti pohybu vedené v magnetickém poli. Dráha harmonického pohybu se potom získá elektrickou integrací rychlosti. Je to tedy v podstatě opačný postup než v minulosti, kdy se snímala dráha harmonického pohybu a rychlosť se získala její elektrickou derivací. Navíc, jelikož je indukční snímač bezdetykový, jsou záznamy daleko "hladší".

3.7. Ukázky některých zdvihových a rychlostních charakteristik

1. Tlumič Tatramat 353

Zdvihová charakteristika obr.9

Rychlostní charakteristika obr.10

2. Tlumič P26x150

Zdvihová charakteristika obr.11

Rychlostní charakteristika obr.12

3. Tlumič TRD26x150

Zdvihová charakteristika obr.13

Rychlostní charakteristika obr.14

4. Tlumič PT26x110

Zdvihová charakteristika obr.15

Rychlostní charakteristika obr.16

5. Regulovatelný tlumič dle obr.2

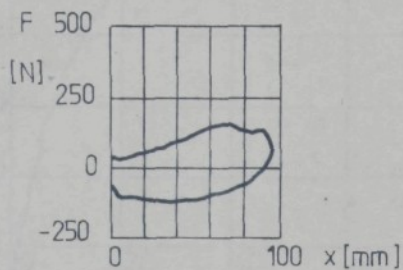
Zdvihová charakteristika při tlaku obr.17

ovládacího vzduchu $p = 400\text{kPa}$

Zdvihová charakteristika při tlaku obr.18

ovládacího vzduchu $p = 100\text{kPa}$

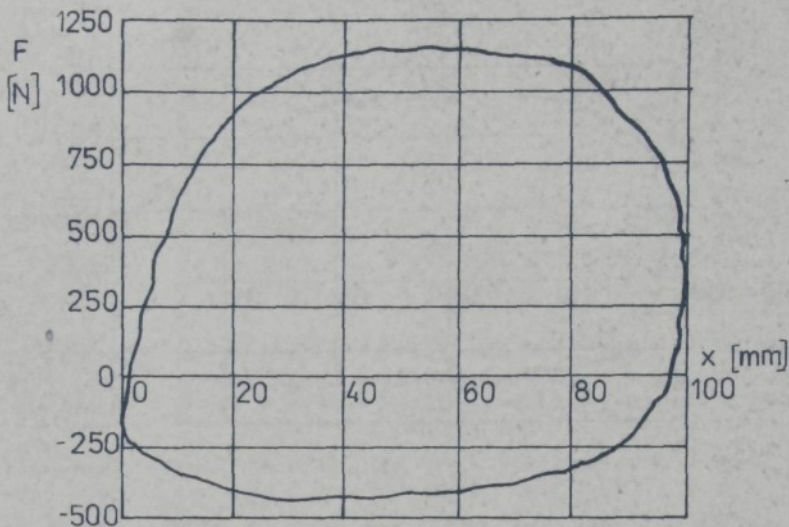
Všechny uvedené charakteristiky byly zaznamenány fotografickou cestou. Při pořizování pozitivů se však musel, na základě cejchů, přiložit souřadný systém. Byl to dost obtížný postup, který se navíc musel opakovat při dělání každého dalšího pozitivu. Usnadnit by se to dalo pořízením nového negativu se souřadným systémem. To by však byla také dosti náročná záležitost. Proto se první zhotovený pozitiv překreslil na průhledný papír a další kopírování již bylo stejně jako při zhotovování běžných světlotiskových kopí. Tím se zhotovování dalších potřebných kopí velmi zjednodušilo.



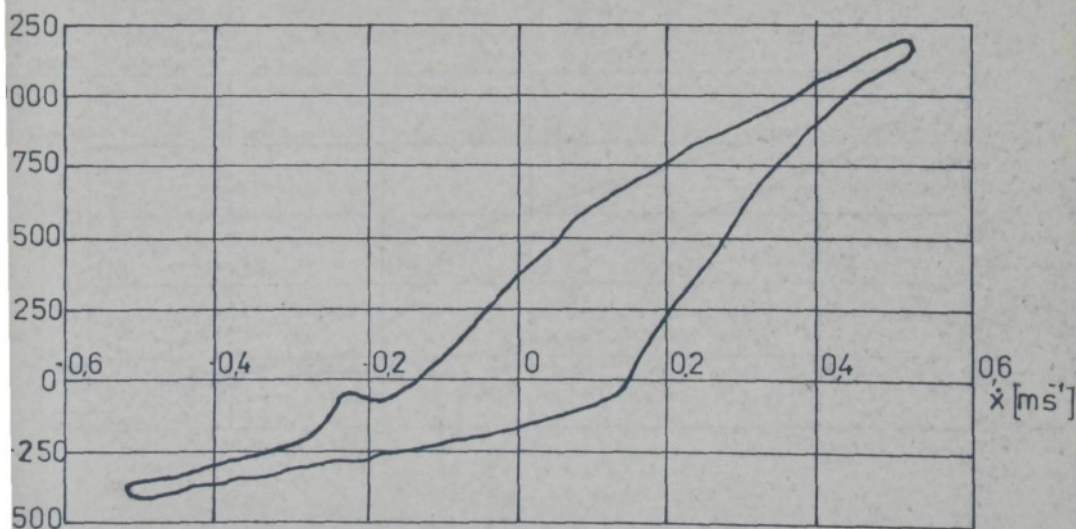
obr. 9



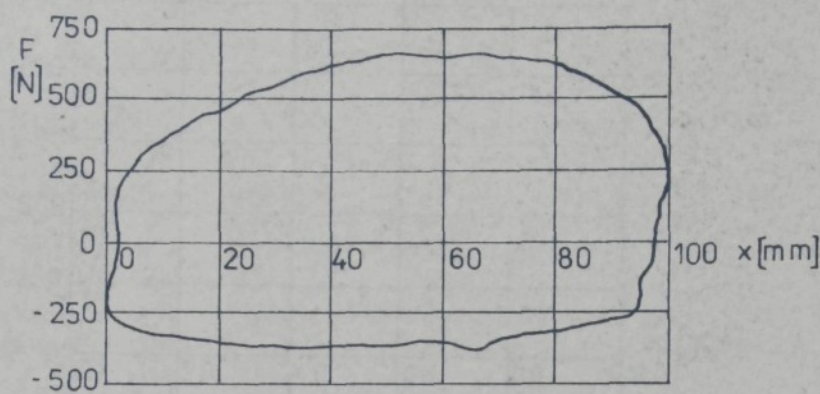
obr. 10



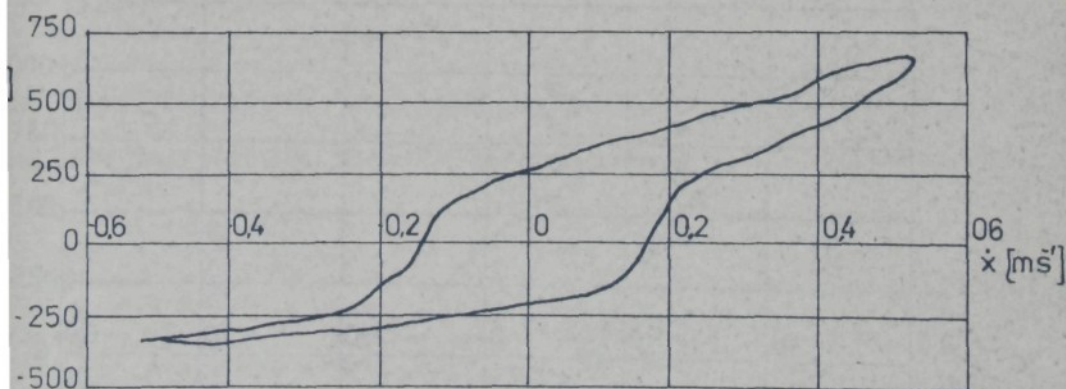
obr.11



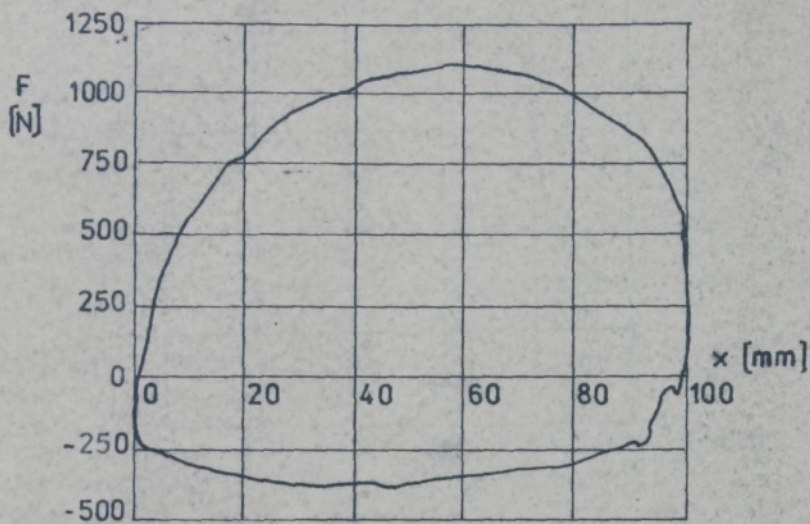
obr.12



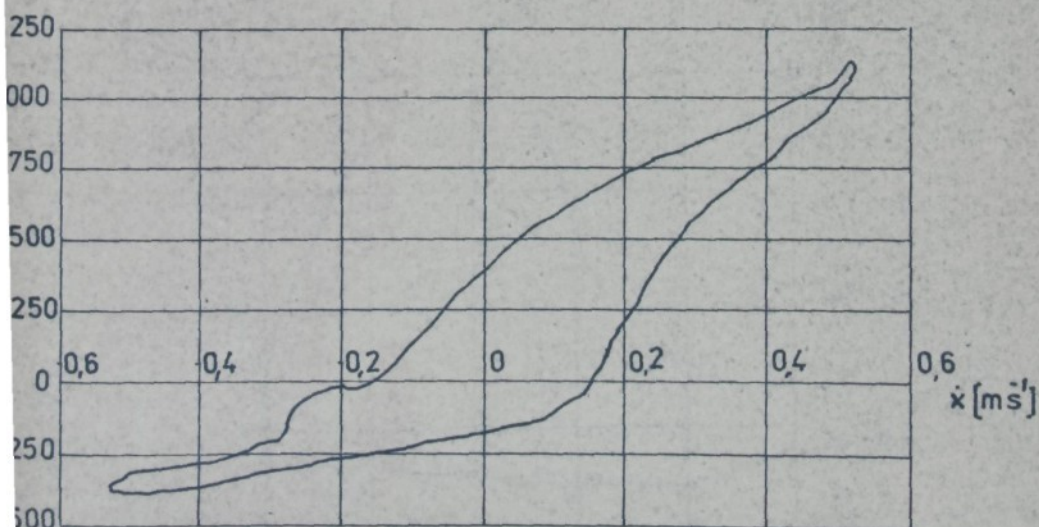
obr.13



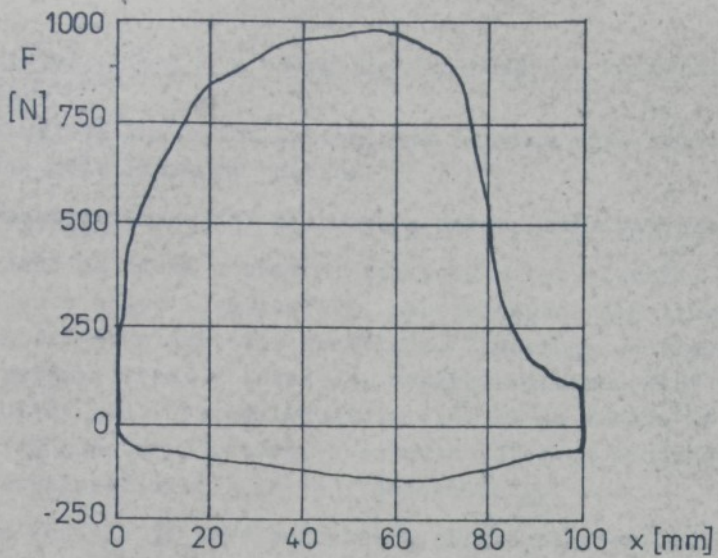
obr.14



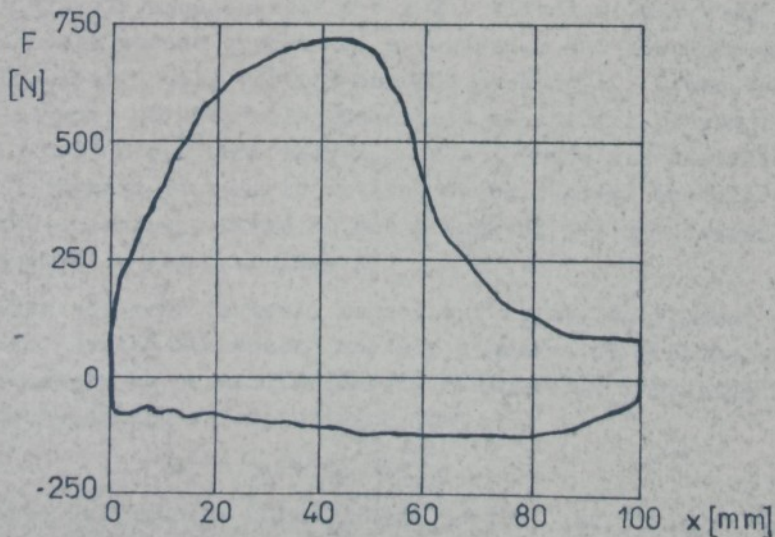
obr. 15



obr. 16



obr.17



obr.18

4.0. Rozbor silových a energetických poměrů u kmitající soustavy

Soustava kmitající harmonickým pohybem může kmitat buď netlumeným, nebo tlumeným pohybem.

4.1. Soustava kmitající netlumeným harmonickým pohybem

Pokud se mluví o harmonickém pohybu bez tlumení, jedná se spíše jen o pohyb idealizovaný, neboť alespoň malé tlumení se u kmitající soustavy vždy vyskytuje. Způsobuje ho vlastní tlumení pružiny, tření v závěsech, mezikrystalické tření v materiálu pružiny atd. Na následujícím obr. 19 je schema netlumené kmitající soustavy opatřené šroubovou válcovou pružinou s lineární závislostí síly F na její deformaci x .

Na obr. 19 je také znázorněno silové působení při tomto druhu pohybu, které vyplývá z jeho pohybové rovnice

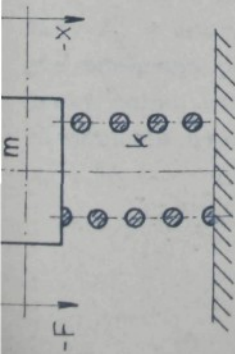
$$m \ddot{x} - g - kx = 0 . \quad / 18 .$$

Průběh síly od pružiny je znázorněn přímkou kx a průběh setrvačné síly odpružených hmot přímkou $m\ddot{x} - g$. Střední poloha neodpovídá odlehčené pružině, ale je posunuta o $-mg$, neboť i za klinu na ni působí síla, která odpovídá hmotnosti odpružených částí. Předpokládá-li se, že pružina má deformaci odpovídající a , působí směrem dolů síla $F = a \cdot k$, a k ní přistupuje ještě síla $-mg$. V sobě má akumulovanou energii $A = k \frac{a^2}{2}$. Vlivem síly $F + mg$ se odpružené části začnou urychlovat a v místě $x = 0$ dosáhnou maximální rychlosti. Celá vnitřní energie pružiny A_k , která byla vlastně aktivní, se přeměnila beze ztrát na energii pohybujících se hmot. V bodě $x = 0$ bude tedy $A_k = 0$ a A_m bude mít maximální hodnotu. V rozmezí $0 < x < a$ se aktivní energie stává energie pohybujících se hmot A'_m , která se zde přeměnuje při stlačování pružiny na vnitřní energii pružiny A'_k .

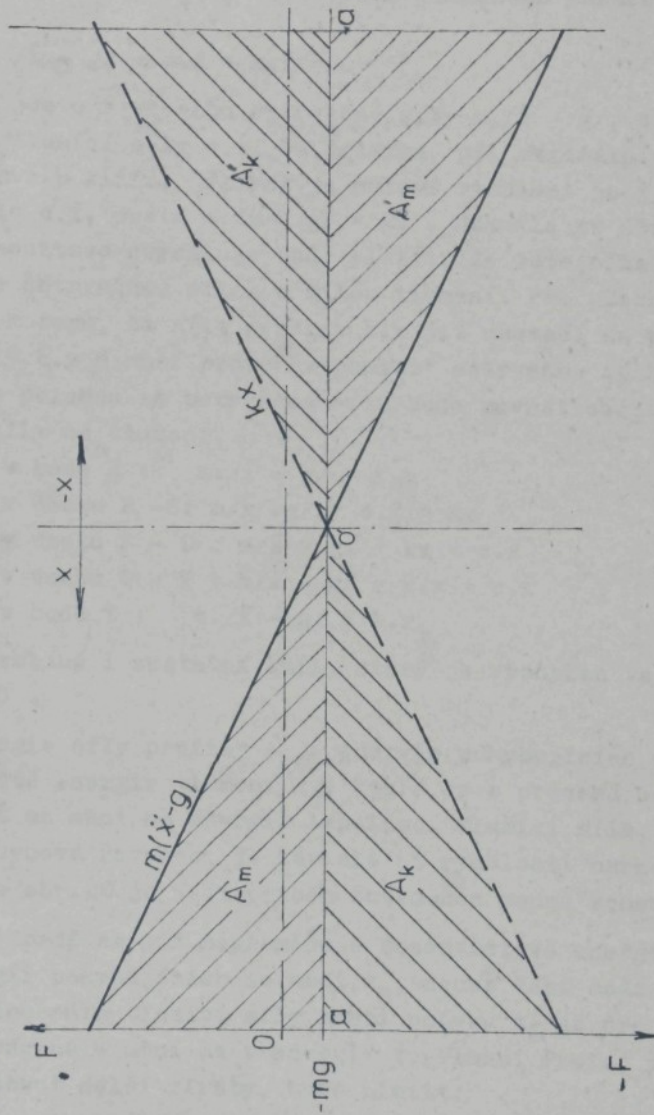
Jelikož zde není tlumení, nejsou ani ztráty na tlumení provojující se úbytkem mechanické energie a proces by probíhal neustále. Neustále by se měnila energie akumulovaná v pružině na energii pohybujících se odpružených hmot.

$$A_k = A_m = A'_k = A'_m = \dots$$

Tento případ netlumeného harmonického pohybu, jak již bylo řečeno, je případ pouze teoretického pohybu.



$$m(\ddot{x} - g) + kx \approx 0$$



obr. 19

4.2. Soustava kmitající tlumeným harmonickým pohybem

Na obr. 20 je znázorněna schematicky soustava kmitající tlumeným harmonickým pohybem i se silovým působením a energetickými poměry v ní. Samotná pohybová rovnice tlumeného harmonického pohybu

$$m/\ddot{x} - g/ + c.\dot{x} + k.x = 0 ,$$

/19/

vyjadřuje, že jde o rovnováhu setrvačné síly $m/\ddot{x} - g/$, síly od pružiny $k.x$ a tlumící síly $c.\dot{x}$. Na počátku, při maximální výchylce \ddot{x}_0 je soustava v klidu, jelikož je nulová rychlosť je i nulová tlumící síla $c.\dot{x}$, proto $m/\ddot{x} - g/ = kx_0$. Jakmile se účinkem síly pružiny soustava urychluje bude platit, že tato síla bude v rovnováze se setrvačnou sílou a síleou tlumení. Při přechodu bodem S dojde k tomu, že síla pružiny $k.x$ již nestačí na překonání tlumící síly $c.\dot{x}$ a musí proto "vypomoci" setrvačná síla $m/\ddot{x} - g/$. Za rovnovážnou polohou se setrvačná síla bude rovnat součtu síly pružiny a síly od tlumení.

Čili: v bodě R : $m/\ddot{x} - g/ = k.x$

v úseku R - S: $m/\ddot{x} - g/ + c.\dot{x} = kx$

v úseku S - O : $m/\ddot{x} - g/ + kx = c.\dot{x}$

v úseku O - T : $m/\ddot{x} - g/ = k.x + c.\dot{x}$

v bodě T : $m/\ddot{x} - g/ \neq k.x_1$.

Obdobně probíhá i zpáteční kmit, který je vyznačen ve spodní části obr. 20.

Kromě energie síly pružiny A_k a energie pohybujících se hmot A_m , přibyla ještě energie tlumení A_c , která se z procesu neustále ubírá, neboť se mění na energii tepelnou. Tlumící síla, jak je patrno z pohybové rovnice, je závislá na rychlosti harmonického pohybu. Na obr. 20 je její průběh znázorněn pouze schematicky.

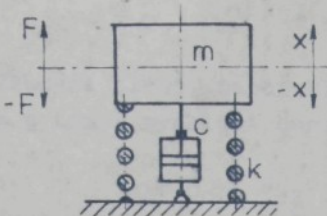
V tomto případě se již nepřeměňuje bezetrátově energie pružiny A_k v energii pohybujících se hmot A_m , neboť část části energie odebraná působením tlumící síly proti pohybu A_c je pro harmonický pohyb ztracená - mění se v energii tepelnou. Proto, pokud se nebudou uvažovat další ztráty, bude platit:

$$A_{ml} = A_{kl} - A_{cl}$$

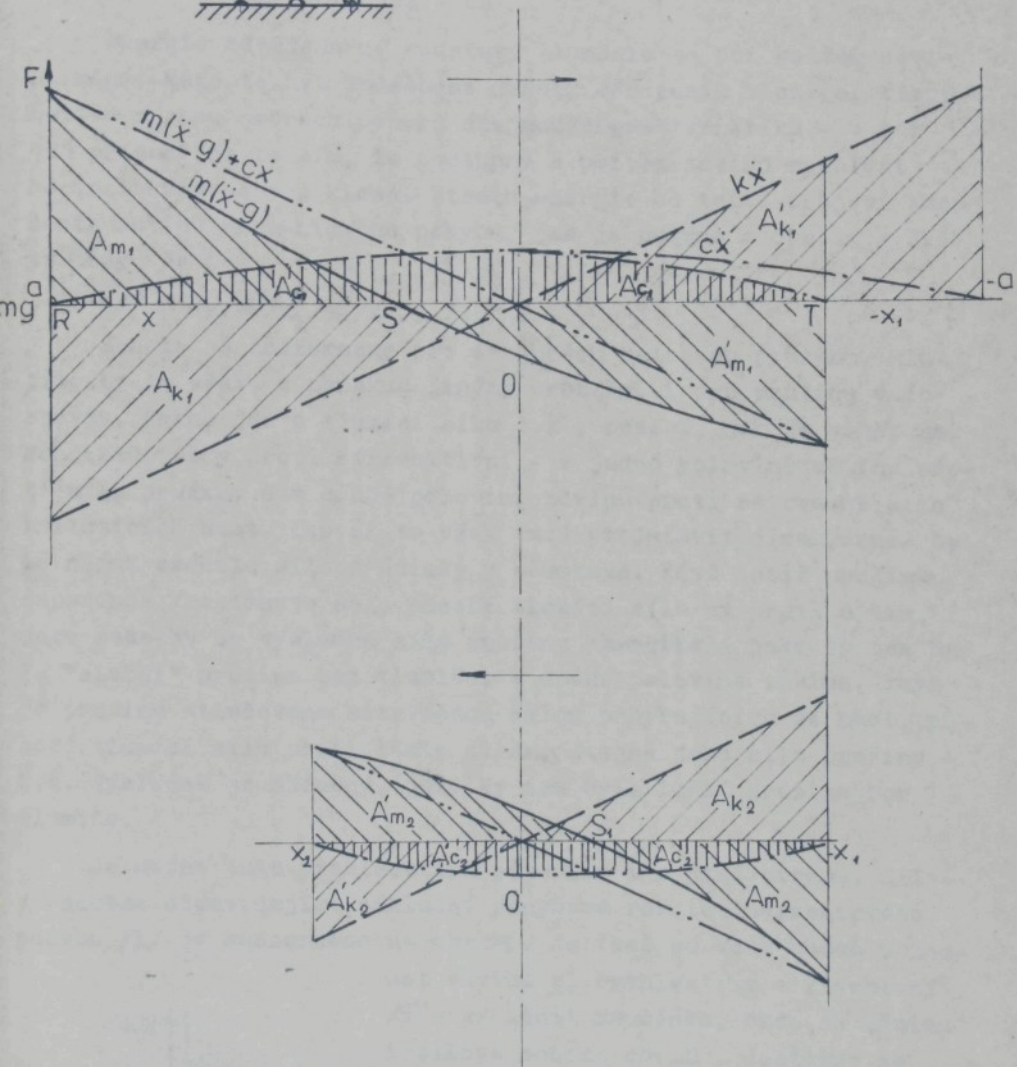
$$A_{kl} = A_{ml} - A_{c1} = A_{kl} - /A_{cl} + A_{c1}'/$$

$$A_{k2} = A_{kl}$$

$$A_{m2} = A_{k2} - A_{c2}$$



$$\underline{m(\ddot{x} - g) + c\dot{x} + kx = 0}$$



obr. 20

$$A'_{k2} = A_m - A'_{c2} = A_{k2} - /A_{c2} + A'_{c2}/$$

Tlumení klesá, neboť klesá velikost zdvihu harmonického pohybu a tím i rychlosť harmonického pohybu,

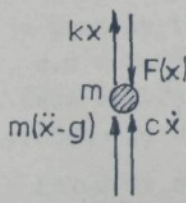
$$A_{cl} > A'_{cl} > A_{c2} > A'_{c2} > \dots$$

Energie odvedená ze soustavy tlumením se při každém zdvihu mění. Může to být způsobeno jednak seřízením tlumiče, který nemívá v obou směrech pohybu stejnou charakteristiku - v každém případě je to tím, že postupně s počtem zdvihů rychlosť harmonického pohybu klesá. Ztráta energie se totiž projeví zmenšením zdvihu harmonického pohybu, jak je patrno z obr. 20. Platí tedy, že

$$/a/ > /x_1/ > /x_2/ > /x_3/ > \dots$$

Schema je znázorněno pro šroubovou válcovou pružinu. Platilo by to však, s poněkud jinými průběhy, i pro pružinu vzduchovou. Pokud jde o tlumící sílu c.x, působí, jak je vidět na schématu, vždy proti síle aktivní - v jedné polovině zdvihu proti síle pružiny a v druhé polovině zdvihu proti setrvačné síle kmitajících hmot. Lze si to však také představit jinak, aniž by to nějak změnilo silové účinky v soustavě. Když totiž pružina expanduje /roztahuje se/, působí tlumící síla c.x proti a tím, jako jako by se výsledná síla pružiny změnila - jako by tam byla "slabší" pružina bez tlumiče. V druhé polovině zdvihu, když je pružina stlačována setrvačnou silou pohybujících se hmot, působí tlumící síla proti těmto silám, stejně jako síla pružiny k.x. Výsledek je obdobný, jako by tam byla tužší pružina bez tlumiče.

Je možno tuto problematiku posoudit i z jiné strany. Silové schema odpovídající základní pohybové rovnici harmonického pohybu /1/ je znázorněno na obr. 21. Jelikož se však budou u hodnot zdvihu x, rychlosti \dot{x} a zrychlení \ddot{x} - g/ měnit znaménka, bude se měnit i silové schema obr. 21. Jestliže se vyjadří vztahy pro zdvih, rychlosť a zrychlení harmonického pohybu, je vidět, jak se u nich budou měnit znaménka a tedy i směr působení jednotlivých sil obsažených v diferenciální



obr. 21

Diagram of a mass-spring-damper system. A mass m is attached to a spring with stiffness k , which is fixed to a wall. A damper with damping coefficient c is connected between the mass m and the wall. The displacement x is shown as a vertical arrow pointing upwards from the equilibrium position. The force $F(x)$ is shown as a vertical arrow pointing downwards from the spring. The net force $m(\ddot{x} - g)$ is shown as a vertical arrow pointing upwards from the mass m . The damping force $c\dot{x}$ is shown as a vertical arrow pointing upwards from the damper. The text describes how the sign of the displacement x changes, leading to different force signs and resulting in different differential equations for position, velocity, and acceleration.

rovnici /1/ během periody 2π . Mimo rozbor se nechá budící síla F/x , její průběh může být definován různě.

Zdvih harmonického pohybu netlumeného x , jako průměr rovnoměrného rotačního pohybu je znázorněn na obr.22.

$$x = a \cdot \sin \omega t$$

/15/

Rychlosť harmonického pohybu, jako první derivace zdvihu x se rovná

$$\dot{x} = a \cdot \omega \cdot \cos \omega t \quad /16/$$

Zrychlení, jako druhá derivace zdvihu /dráhy/ harmonického pohybu se rovná

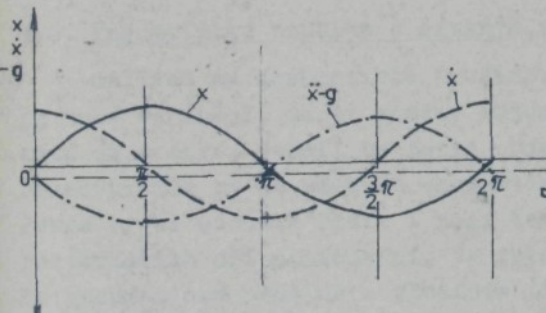
$$\ddot{x} = -a \cdot \omega^2 \cdot \sin \omega t \quad /20/$$

Na následujícím obr.23 jsou pomocí odlehlosti x , rychlosť \dot{x} a zrychlení $\ddot{x} - g$ naznačeny smysly sil od pružiny kx , síly tlumení $c \cdot \dot{x}$ a setrváčné síly odpružených hmot $m \cdot \ddot{x} - g$.

obr.22

Jelikož se vyšlo z netlumeného harmonického pohybu /obr.19/, nejsou tyto průběhy ovlivněny účinky tlumící síly $c \cdot \dot{x}$

- jde pouze o smysly sil.
Jejím účinkem se však průběhy sil $m \cdot \ddot{x} - g$, ale také síly $k \cdot x$ změní.
Bude se zkracevat i délka zdvihu.



obr.23

Přesto se však z obr.23 ukazuje, že při stlačování pružiny, je pružina tlumičem jakoby "posilována" a naopak při roztahování pružiny je pružina tlumičem "zeslabována". Velikost změny průběhu sil $k \cdot x$, $c \cdot \dot{x}$ a $m \cdot \ddot{x} - g$ bude přímo úměrná velikosti tlumícího účinku. Část obr.23 v rozmezí $\frac{3}{2}\pi$ až $\frac{\pi}{2}$ se dá porovnat s obr.20, kde do průběhu je zahrnut i účinek tlumení.

Pokud by se to posuzovalo z hlediska energetického, pružina působí jako akumulátor mechanické energie a hydraulický tlumič

převádí mechanickou energii na energii tepelnou. Při vychylování hmotnosti m z rovnovážné polohy účinkem buď vnější síly /buddíci síla/ F/x , nebo účinkem setrvačných sil kmitající soustavy $m./\ddot{x} - g$, zabrání hydraulický tlumič části mechanické energie kmitavého pohybu, aby se akumulovala v pružině, neboť ji přemění na teplo a při vracení hmotnosti m do rovnovážné polohy přejde část akumulované energie z pružiny opět do hydraulického tlumiče, kde se opět změní na tepelnou energii a tato energie se již nezmění na mechanickou energii harmonického pohybu.

Stejný účinek by měla i pneumatická pružina u které by se podařilo zajistit, aby při stlačování vykazovala větší tuhost než při expandování. Potom by šlo o pneumatickou pružinu s vlastním tlumením. Tyto vlastnosti by u pneumatických pružin šly zajistit jistě více způsoby:

Naskýtá se tedy otázka, jestli by nešla zkonastruovat pneumatická pružina, jejíž charakteristika by se během jejího stlačování a expanze nechala měnit obdobně, jak to činí u klasické pneumatické pružiny tlumič kmitů? Ukazuje se, že by se dalo navrhneout větší množství pneumatických pružin s vlastním tlumením.

5.0. Pneumatická pružina s řízeným vnitřním dějem.

Jelikož má pneumatická pružina, v těch velikostech, které se dnes vyrábějí, dosti značný objem i při svém stlačení, naskýtá se otázka, jestli by tento objem nemohl mít expanzi nějak řízenou. Tím by se změnila charakteristika pružiny při expanzi. Pokud by se nechala řídit i její komprese, měnila by se i charakteristika při stlačování. Ve svých důsledcích by vlastně vznikla pneumatická pružina s vlastním tlumením.

5.1. Pneumatická pružina s vlastním jednosměrným tlumením.

Podstata pneumatické pružiny s vlastním tlumením spočívá v tom, že u téhoto pružin lze jistým způsobem regulovat expanzi stlačeného vzduchu. Stačí ceklový ^{obj.}vzduchu v pružině rozdělit na dva nebo více dílčích objemů. Jeden se nechá po stlačení pružiny expandovat volně, jako v klasické pneumatické pružině a expanze druhého objemu se bude řídit. Omezením pro rezdělení původního objemu na dva dílčí objemy, je velikost požadovaného tlumení a minimální prostor /volně expandující/, potřebný na maximální zdvih pneumatické pružiny.

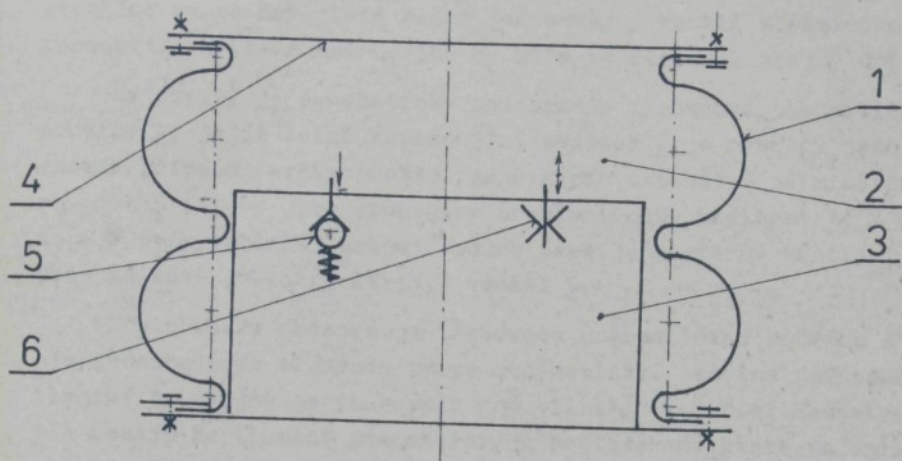
Při stlačení roste tlak v obou prostorech stejně, jejich propojení je provedeno na příklad jednosměrným ventilem velkého průřezu, který by kladl jen malý odpor průtoku vzduchu. Tím by se nezměnila ani navržená charakteristika pružiny při stlačování.

Při expanzi však je volně expandující část objemu jen určitým dílem celého objemu. Druhá část objemu, nějakým zařízením, na příklad škrticím ventilem, postupně odpouští stlačený vzduch do volně expandujícího prostoru. Škrticí přepouštěcí zařízení může být pevně nastaveno, nebo i měnitelné a dálkově ovládané. Tím lze pak průběh expanze měnit podle požadovaného tlumení při tomto zdvihu.

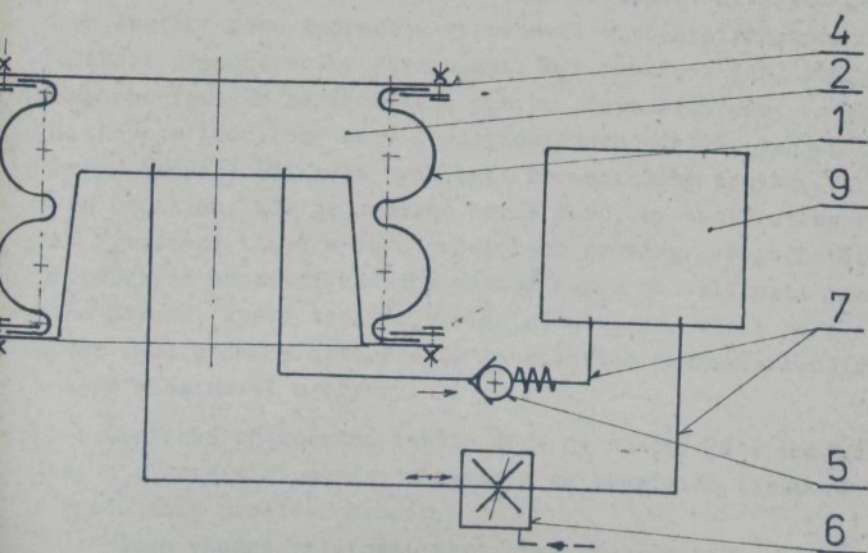
Avšak i použití pevně nastaveného přepouštěcího elementu umožní, že se tlumení bude přizpůsobovat velikosti zátěže, a to zcela samočinně. Poměr tlumení a hmotnosti zůstane stálý. Zde totiž tlumení je závislé na převodu části energie stlačeného vzduchu škrcením na jiný druh energie, při přepouštění z odděleného prostoru do prostoru volně expandujícího. Jelikož poměr objemů v obou prostorech se při změně tlaku v pružině nemění (při změně hmotnosti), nemění se ani poměr energií tétoho objemy představovanými. Škrtí se stále stejná část objemu a tedy i stále stejný podíl energie stlačeného vzduchu. Reste-li tedy hmotnost, zatěžující pružinu, roste i energie v ní akumulovaná a reste i tlumící účinek pneumatické pružiny s vlastním tlumím. Tím by měl být vlastně nahrazen samoregulační hydraulický tlumič.

Výhodou tohoto provedení je měnitelný útlum pneumatické pružiny, bez použití hydraulického tlumiče, jehož tlumící síla se vlastnostem kmitající soustavy nepřizpůsobuje. Kromě toho hydraulický tlumič a regulovatelný obzvláště, je výrobně značně složitý a tedy i značně drahy. Popsané zařízení, alespoň s pevně nastaveným přepouštěcím zařízením, by mělo být podstatně levnější.

Na obr.24 je schematicky znázorněna vlnovecová pneumatická pružina 1, jejíž prostor je rozdelen na prostor s měnitelnou expanzí 2 a na prostor, který nemůže volně expandovat 3. Průžina je zakrytována víkem 4. Při stlačování proudí vzduch z prostoru 2, který se zmenšuje, do prostoru 3, který má stálý objem,



OBR.24



OBR.25

přes jednosměrný ventil 5. Při expanzi pneumatické pružiny proudí vzduch z prostoru 2 do prostoru 3 přes škrtící ventil 6. Konstrukčně by se dal jistě řešit jednosměrný ventil s částečnou netěsností v opačném směru, čož by mělo za následek stejný účinek.

Na obr.25 je schematicky znázorněna vlnovcová pneumatická pružina 1, jejíž volně expandující prostor 2 je podobný jako v předchozím případě, avšak prostor se řízenou expanzí 3 je mimo pružinu. Oba prostory jsou propojeny trubkami nebo hadicemi 7. Z prostoru 2 do prostoru 3 proudí vzduch přes jednosměrný ventil 5, zpět přes dálkově ovládaný škrtící ventil 6.

Oba obrázky znázorňují takovouto pneumatickou pružinu s vlastním jednosměrným tlumením pouze schematicky. Samotné jednosměrné tlumení by zřejmě nevyhovovalo pro silniční vozidla. Nechalo by se ale použít ke tlumení pneumatických podložek na které se umisťují různá zařízení pracující s rázy a chvěním.

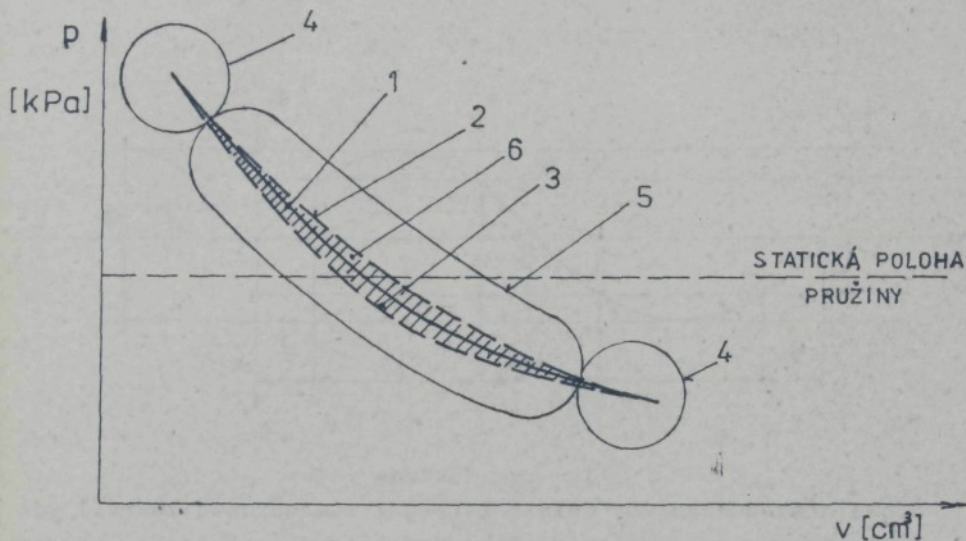
5.2. Pneumatická pružina s obousměrným tlumením

Pneumatická pružina se nechá také snadno realizovat jako pružina s obousměrným tlumením, jestliže se škrtí průtok vzduchu mezi oběma prostory v obou směrech. Lze to navrhnut jednoduše třeba tak, že se volně expandující prostor a škrcený prostor propojí obyčejným, vhodně voleným přepouštěcím (škrtícím) otvorem. Ten by vzduch škrtil v obou směrech a vyrovnával v těchto prostorech tlak. Velikost přepouštěcího otvoru musí být navržena tak, aby při větších rychlostech harmonického pohybu přepouštěl méně vzduchu, než je třeba k tomu, aby se v obou prostárech udržely stejné tlaky vzduchu. Neopak, při malé rychlosti harmonického pohybu, t.j. v krajních úvratích, kde je poměrně hojně času, by tento otvor měl umožnit vyrovnání tlaků v obou prostorech pružiny. Je pochopitelné, že přepouštěné množství vzduchu závisí nejen na velikosti přepouštěcího otvoru, který zajišťuje vlastní škrcení, ale i na tlakovém spádu mezi oběma prostory a na konstantách charakterisujících průtokové vlastnosti a odpory.

Grafické znázornění tohoto děje je na obr.26. Únosnost pružiny s vlastním tlumením je závislá na okamžitém tlaku ve volně expandujícím prostoru pružiny.

Návrh vhodné velikosti škrtícího přepouštěcího otvoru by jis-

tě nebyla jednoduchou záležitostí. Vyžádalo by si to jistě dokonalé ověření funkce za různých provozních podmínek.



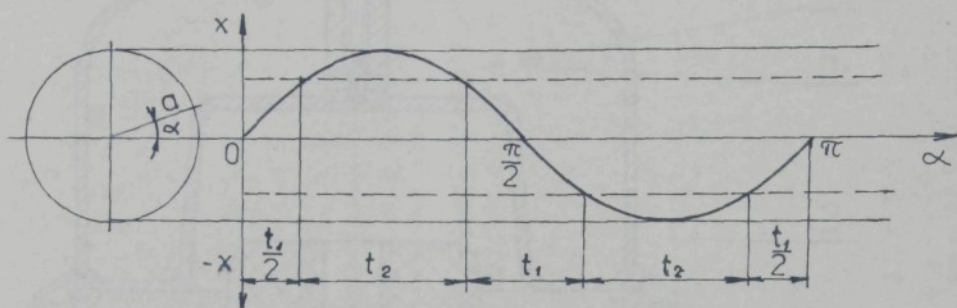
obr. 26

- 1 - Průběh komprese a expanze v pružině bez tlumení.
- 2 - Komprese vzduchu v proměnlivém prostoru u pružiny s vlastním tlumením.
- 3 - Expanze yzduchu v proměnlivém prostoru u pružiny s vlastním tlumením.
- 4 - Krajní úvratě, kde se stačí vlivem malé harmonické rychlosti a dostatečně dlouhé doby vyrovnat tlaky v obou prostorech.
- 5 - Oblast, kde se harmonické rychlosti zvýší a kde se nestáčí vyrovnat tlaky v obou prostorech.
- 6 - Vyšrafovovaná plocha úměrná utlumené energii

Na obr.27 je znázorněna dráha x harmonického pohybu. V časových úsecích t_1 je největší rychlosť harmonického pohybu. V nich přepouštěcí otvor nestačí vyrovnávat tlak mezi proměnlivým a neproměnlivým prostorem. Změna objemu objemu-pružiny je přímo úměrná změně dráhy harmonického pohybu x . Tato změna je zde značná za poměrně krátkou dobu t_1 .

V časovém úseku t_2 , který je podstatně větší než t_1 dojde k poměrně malé změně dráhy x a tedy i objemu pružiny. Je zde te-

dy dosti času , aby se tlak v obou prostorech vyrovnal. Rychlosť harmonického pohybu je malá a v krajní poloze dokonce nulová.



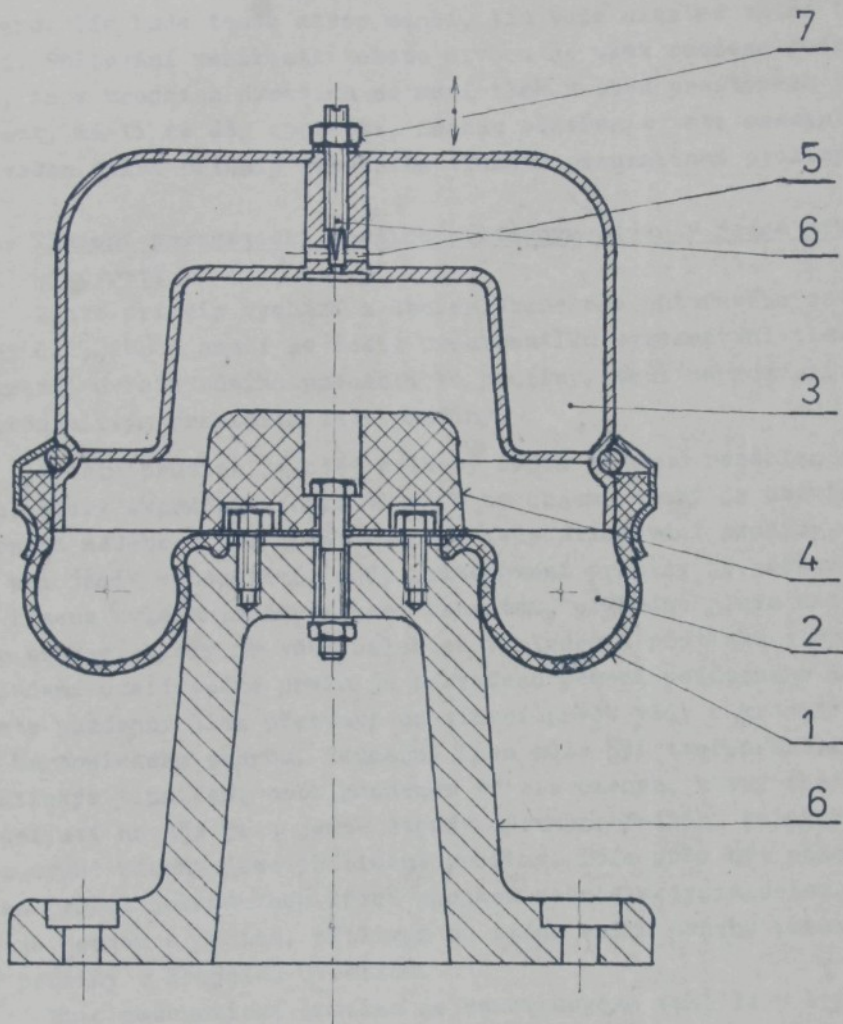
obr.27

Aby tlumení probíhalo i v následujících zdvihách harmonického pohybu, je třeba, aby se tlak mezi oběma prostory, v krajních úvratích vyrovnal.

Praktické uspořádání takovéto pružiny s vlastním tlumením je naznačeno na obr.28 . Na něm je vidět pryžokordový element pneumatické pružiny 1, proměnlivý prostor 2, dále pak neproměnlivý prostor 3. Oba tyto prostory jsou propojeny otvorem 5. Průtočná velikost tohoto otvoru se nechá plynule měnit přestavitevným vřetenem s kuželovým koncem 6, případně až do úplného uzavření. Nastavená poloha přestavitelného vřetena 6 se zajistí maticí 7, pod kterou je těsnění. Jelikož tlumení bude tím účinnější, čím bude větší neproměnlivý prostor 3 a čím bude naopak menší prostor proměnlivý 2. To by mohlo vést k tomu, že by vzniklo nebezpečí nárstu tlaku v proměnlivém prostoru nadmez pevnosti materiálu pryžokordového tělesa 1. Proto je do pružiny zabudován pryžový doraz 4, který tomuto zabrání při nadměrném vnějším buďicím impulsu, který by musela pružina zachytit.

Tomuto způsobu tlumení kmitajících soustav na pneumatických pružinách bylo v roce 1984 uděleno autorské osvědčení č.232208.

Je zřejmě pravda, že by tento způsob tlumení byl málo účinný při malých zdvihách. Rozhodně by však dokázal snížit potřebu



obr.28

hydraulického tlumení klasickými hydraulickými tlumiči.

Intensita tlumení je vlastně limitována velikostí škrticího otvoru. Čím bude tento otvor menší, tím bude vlastně větší tlumení. Snižování velikosti téhoto otvoru je však omezeno podmínkou, že v krajních úvratích se musí tlak v obou prostorách vyrovnat, má-li se děj opakovat. Snahou odstranit teto omezení je veden další princip vlastního tlumení pneumatické pružiny.

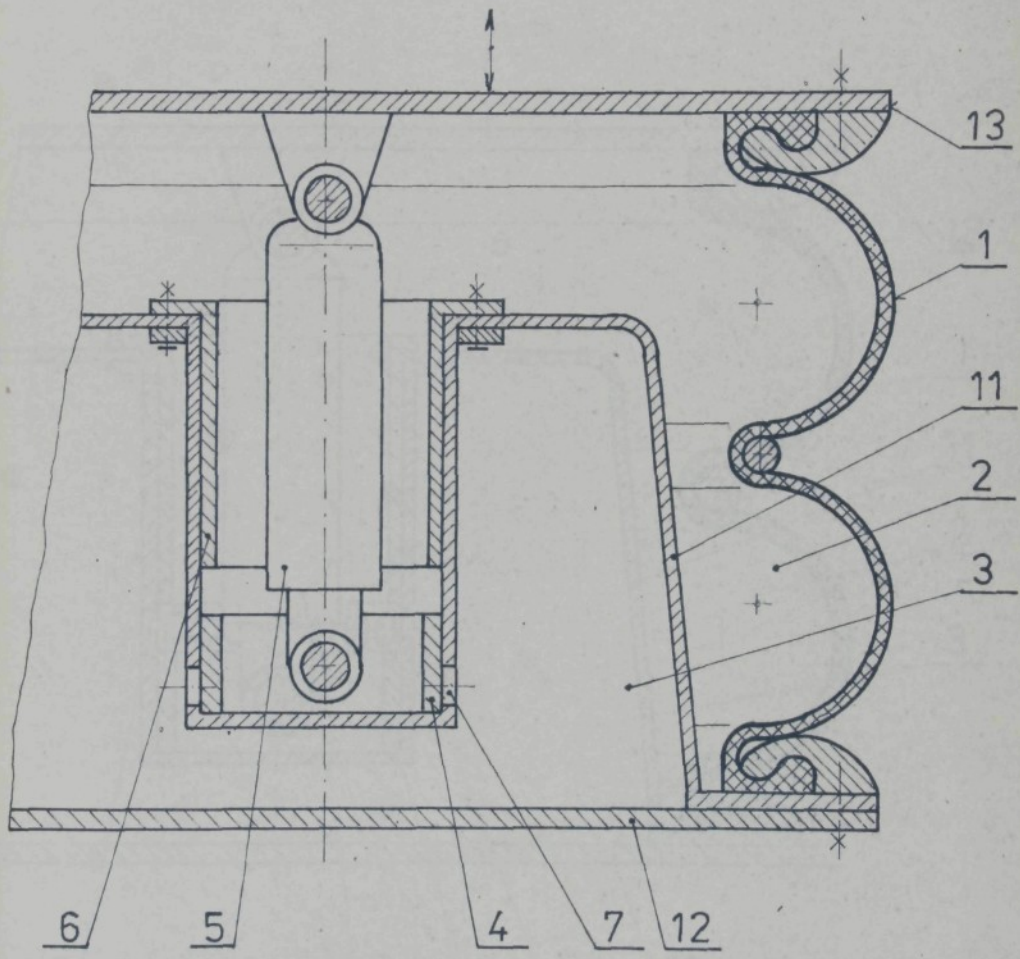
5.3. Tlumená pneumatická pružina s řízeným dějem v jedné krajní úvratí.

Tento princip vychází z československého autorského osvědčení č.232208 a snaží se řešit problematiku vyrovnávání tlaků, v krajní úvratí zdvihu pneumatické pružiny, mezi neproměnlivým a proměnlivým prostorem této pružiny.

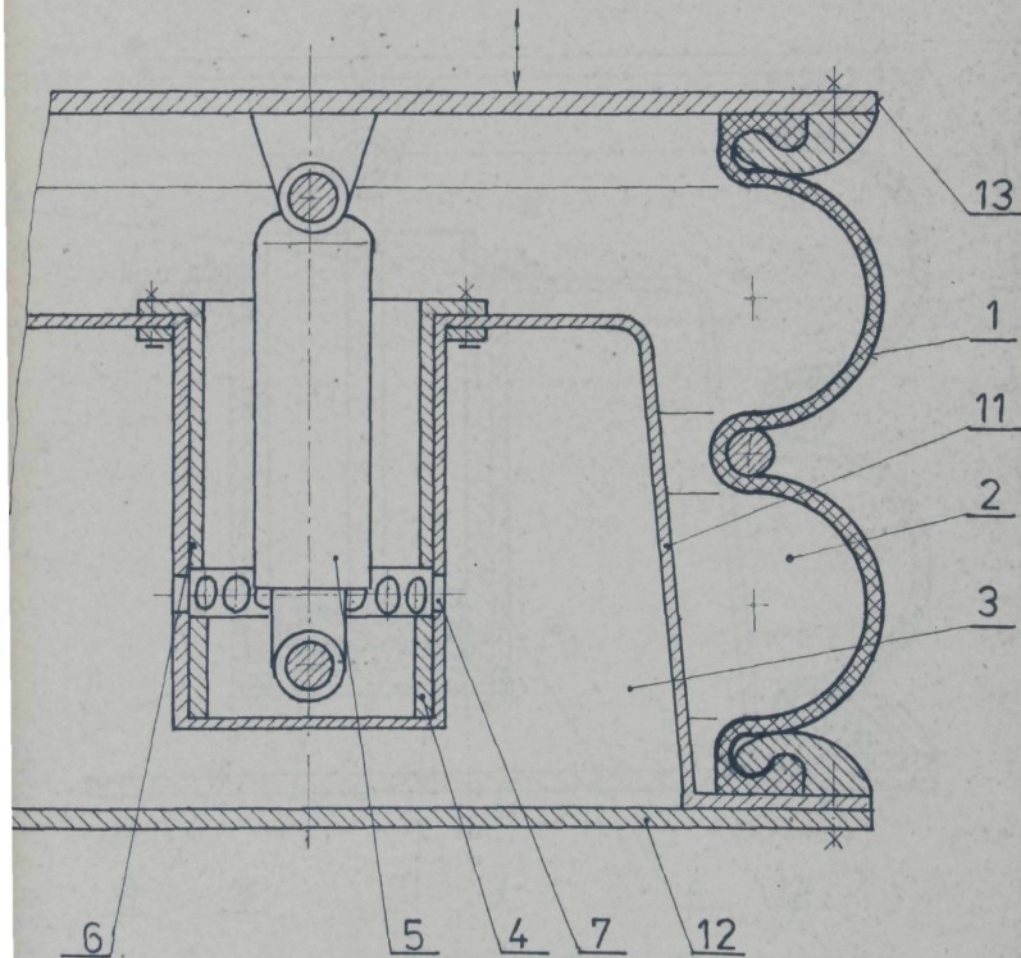
V této pružině je opět celkový objem vzduchu rozdělen na objem, který expanduje zcela volně a na objem, který je uzavřen v pevné nádobě a při jeho plnění, tedy stlačování pružiny, nebo při její vypouštění, tedy roztahování pružiny je přepouštění řízeno ovládaným šoupátkem, kehoutem, případně jiným uzavíracím prvkem, který je však odlehčen vzhledem k přetlaku v pružině. Ovládání uzavíracího prvku je provedeno pomocí poddajného člena. Tento poddajný člen přestaví uzavírací prvek vždy v krajní poloze harmonického pohybu. Poddajný člen může být tvořen malým hydraulickým tlumičem, nebo posuvným třecím členem, který sestává z čelistí na něž je z jedné strany upevněno frikční obložení a z druhé strany jsou přítlačné pružiny. Dále může být poddajný člen tvořen jednoduchou třecí spojkou nebo elektromagnetem, který je spojen s čidlem, citlivým na změnu směru pohybu pneumatické pružiny v krajních úvratích.

Tato pneumatická pružina je konstruována tak, že v krajních úvratích jsou tlaky plynu v obou prostorách vyrovnané, což umožňuje dobrou činnost a kladný účinek tlumení.

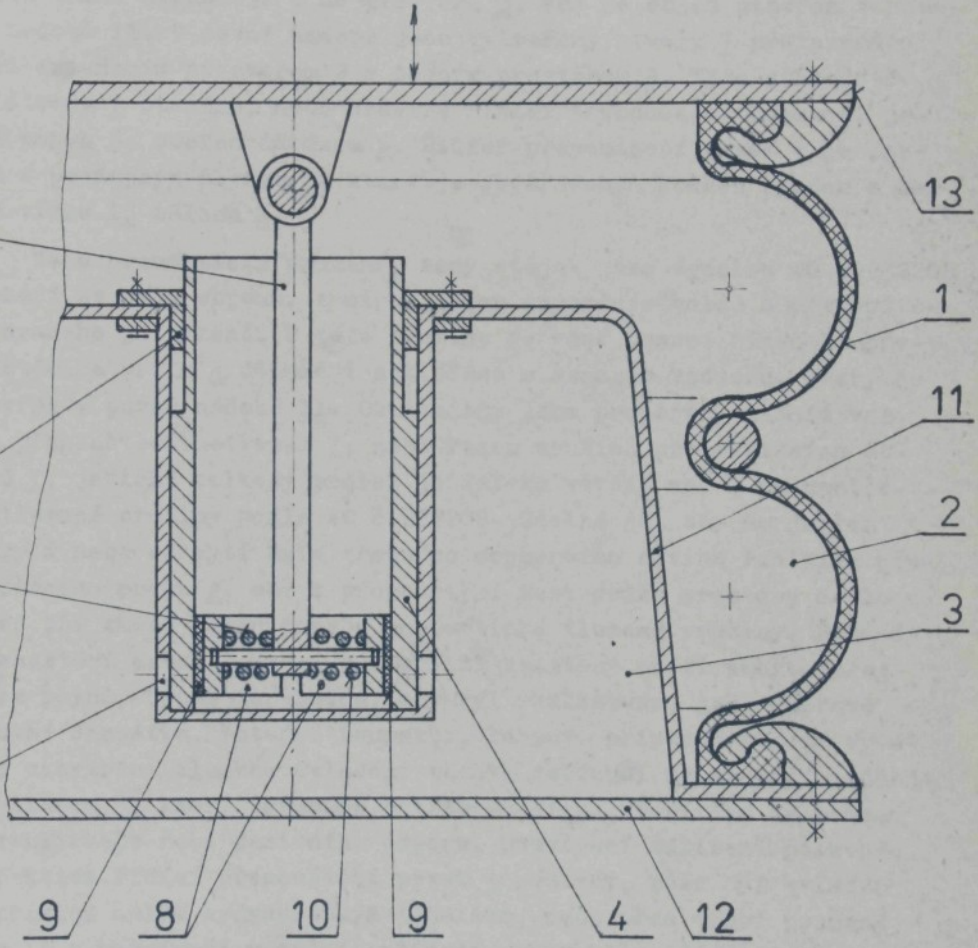
Obr.29 znázorňuje v řezu tlumenou pneumatickou pružinu s řízeným dějem v krajních úvratích, u níž poddajný člen tvoří malý hydraulický tlumič a přepouštěcí otvory jsou během stlačování pružiny zavřeny. Na obr.30 je znázorněna v náryse v řezu takováto tlumená pružina, u níž poddajný člen tvoří opět hydraulický tlumič, avšak přepouštěcí otvory jsou během stlačování pružiny



obr. 29



obr. 30



obr. 31

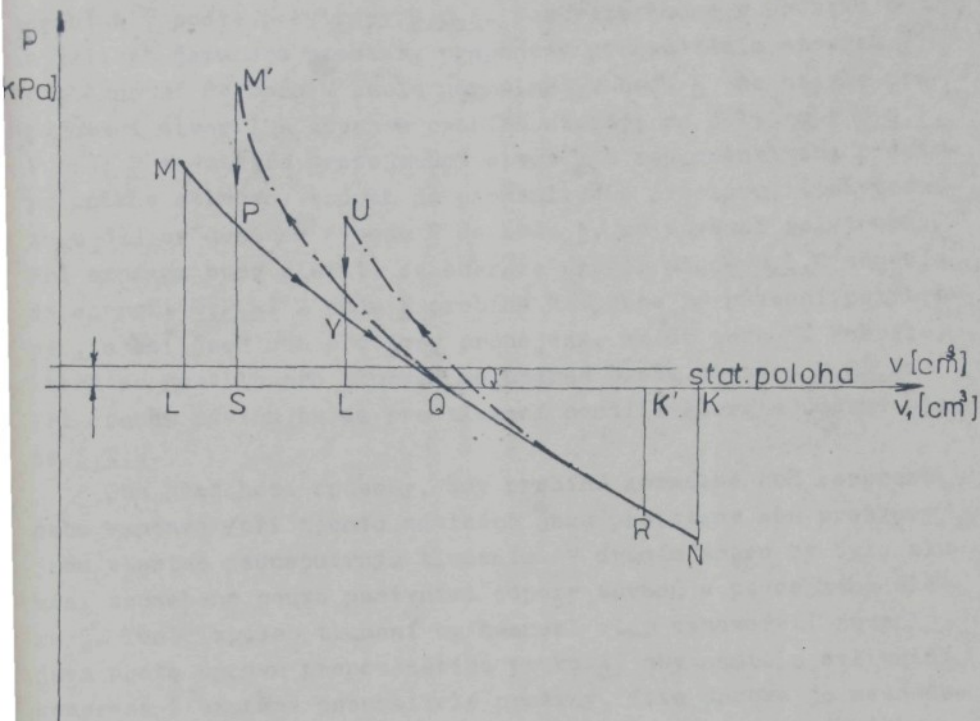
stevřeny. Na obr. II. je přepouštěcí prvek ovládán poddajným členem, který tvoří posuvný třescí člen. Přepouštěcí šoupátko je během komprese pružiny zavřené.

Tlumená pneumatická pružina s řízeným dějem v krajních úvratích sestává z tělesa 1, tvořeného na příklad pryžokordovým dvouvlnovcem a opatřeného horním víkem 13 a dolním víkem 12. Celkový objem tělesa 1 je rozdělen do expanzního prostoru 2, kde objem zcela volně expanduje a do prostoru 3, kde je objem uzavřen v pevné nádobě 11. V pevné nádobě jsou vytvořeny otvory 7 pro proudění mezi expanzním prostorem 2 a pevným prostorem 3. Tyto přepouštěcí otvory 7 otevírá, nebo uzavírá řídící přepouštěcí prvek 4, jehož pohyb je omezen dorazem 5. Řídící přepouštěcí prvek 4 je spojen s poddajným členem 5, který je svým druhým koncem spojen s horním víkem 13 tělesa 1.

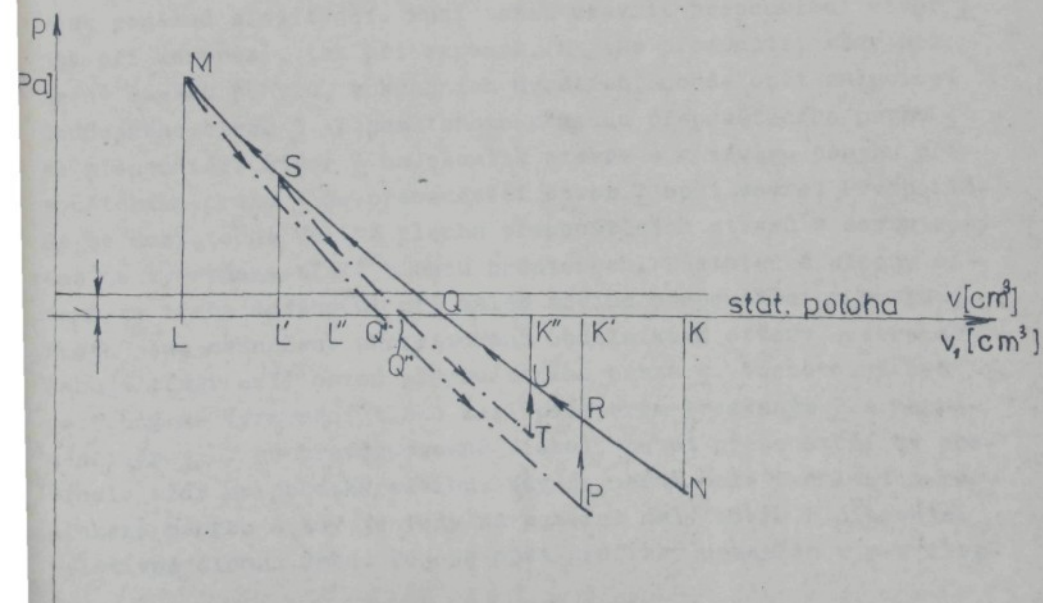
Tato pneumatická pružina, tedy stejně jako vynález AO č. 232208 vychází ze dvou objemů, z nichž jeden expanduje volně a přepouštění druhého je řízené. U této pružiny je však pomocí řízeného přepouštěcího prvku 4 účinněji nakládáno s objemem vzduchu, který je uzavřen v pevné nádobě 11. Oba objemy jsou propojeny jedním velkým přepouštěcím otvorem 7, nebo řadou menších přepouštěcích otvorů 7, jejichž celkový průřez je daleko větší, než u pneumatické tlumené pružiny podle AO č. 232208. Účelné je, aby na jejich zakrytí nebo odkrytí bylo třeba co nejmenšího závihu řídícího přepouštěcího prvku 4, aby k přepouštění mezi oběma prostory došlo ihned při změně směru pohybu pneumatické tlumené pružiny. Řídící přepouštěcí prvek 4 nesmí být příliš zatížený proti pohybu přetlakem plynu. Proto je vhodné, aby byl realizován, jako válcové posuvné šoupátko, rotační šoupátko, kohout, případně silově vyvážená uzavírací klapka. Ovládání těchto zařízení se provádí poddajným členem 5, který vyvozuje potřebnou sílu, například za pomocí hydraulického nebo pasivního odporu. Uzavírací zařízení posuvné, respektive řídící přepouštěcí prvek 4 posuvný, může být ovládán na příklad malým hydraulickým tlumičem, nebo přes třecí posuvný člen 14 a uzavírací rotační zařízení, respektive řídící přepouštěcí prvek rotační, přes jednoduchou třecí spojku, která by dovolila prokluz. Oba třecí elementy by se nechaly seřizovat změnou přitlaku na třecí plochy. Kromě toho by šla posuvná i rotační šoupátko ovládat pomocí elektromagnetu. Tlumení lze řídit v ped-

statě třemi způsoby. V prvním případě podle provedení na obr.29 a obr.31 je přepouštěcí otvor \underline{z} během stlačování pneumatické pružiny uzavřený, pružina má tedy menší pružící objem a jeví se jako tužší, jako by ji hydraulický tlumič svým odporem proti pohybu posiloval. Při roztahování pružiny se přepouštěcí otvor \underline{z} otevře a vyšší tlak v proměnlivém prostoru poklesne, neboť se tlak v něm vyrovná s tlakem v pevné nádobě, síla vyvozená pružinou se zmenší, jako by ji zmenšil vyseuvající se tlumič. Děj je schematicky naznačen na obr.32 v diagramu p-v. Stlačování a expanze klasické pneumatické pružiny by probíhaly podle polytropy mezi body N, M. Jestliže se však oddělí a uzavře neproměnlivý prostor, bude komprese pružiny z rovnovážné polohy Q probíhat po strmější polytropě Q, M'. Na začátku zpětného chodu se otevře přepouštěcí otvor \underline{z} , tlaky v obou prostorech se vyrovnají - tlak poklesne z bodu M' do bodu P a dále klesá po původní polytropě. Energie původní komprese vyjádřená plochou Q, M, L se bude rovnat energii strmější komprese Q, M', S. Jelikož zpětný děj /expanze/ probíhá po původní polytropě MN, odvede se z procesu vlastně energie odpovídající ploše Q, M', P a ta se rovná také energii P, M, L, S. Expanze probíhá z bodu P přes počátek Q až do bodu R. Přitom musí být splněna podmínka rovnosti energií P, S, Q = Q, R, K'. Při další kompresi se opět uzavře neproměnlivý prostor a komprese bude proto opět probíhat po strmější polytropě R, Q', U. Při expansi se opět propojí oba prostory a tlak v proměnlivém prostoru poklesne z hodnoty U na hodnotu Y, čímž se opět dostane na původní polytropu M, N. Energie, která se při tom vyřadí z provozu, to znamená z procesu pružení, odpovídá ploše obrazce R, Q', U, Y.

V druhém případě znázorněném na obr.30 je při stlačování pružiny přepouštěcí otvor \underline{z} otevřen. Stlačují se tedy oba objemy stejmě. Komprese tedy probíhá stejně, jako u normální pneumatické pružiny. Při roztahování-pružiny se však přepouštěcí otvor \underline{z} zavře a tím se účinný objem pro pružení, tedy objem proměnlivý zmenší, tlak v něm při expanzi klesá daleko rychleji, pružina se dříve pod účinkem hmot zastaví a při opětném stlačování se opět otevře přepouštěcí otvor \underline{z} . Z pevné nádoby ll neproměnlivého objemu unikne plyn, který má vyšší tlak a způsobí zvýšení tlaku v proměnlivém prostoru pružiny, čímž ji "zbrzdí" počátek komprese. Graficky je tento děj opět naznačen v p-v diagramu



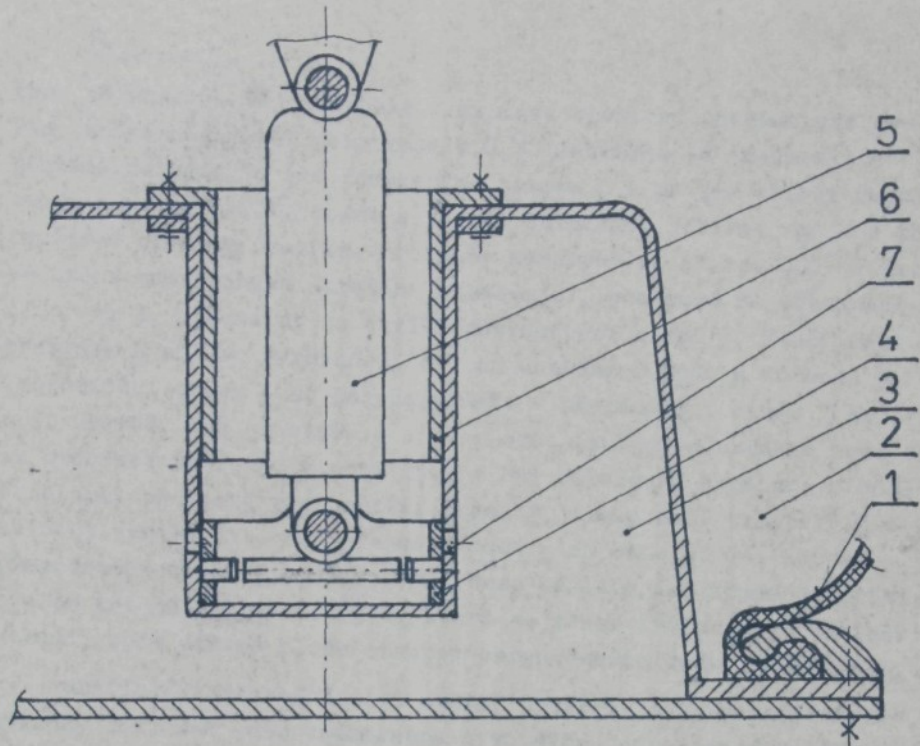
obr. 32



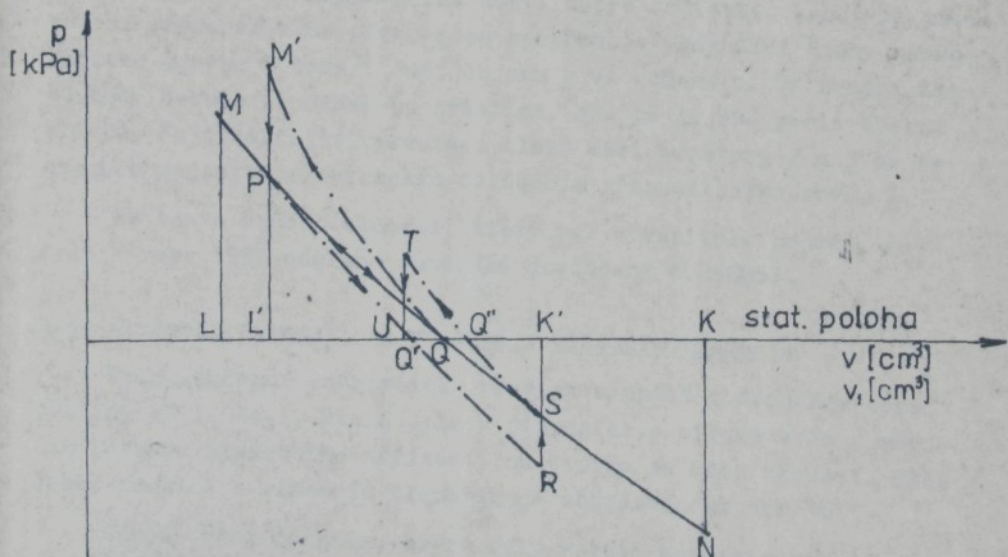
obr. 33

na obr.33. Komprese a expanze normální pneumatické prožiny by probíhaly podle polytropy M,Q,N. Komprese začne v počátku Q, a jelikož jsou oba prostory propojeny přepouštěcím otvorem 1, proběhne až do bodu M zcela normálně. V bodě M se uzavře propojovací otvor 1 a expanze probíhá strměji po polytropě M,Q,P. V bodě P se otevře propojovací otvor 1 z neproměnlivého prostoru unikne stlačený vzduch do proměnlivého prostoru; tlak vzroste a děj se dostane z bodu P do bodu R, na původní polytropu. Při expanzi bude platit, že energie úměrná ploše M,L,Q odpevídá energii Q,P,K. Z budu R probíhá komprese po původní polytropě, neboť jsou oba prostory propojené, až do bodu S. Energie, která se použila pro tlumení je úměrná ploše obrazce M,Q,P,R. Při druhém zdvihu by se pro tlumení použilo energie úměrné ploše S,T,U.

Oba předchozí způsoby, kdy probíhá normálně buď komprese, nebo expanze /při těchto zdvihách jsou propojeny oba prostory/, jsou vlastně jednosměrným tlumením. V druhém směru by bylo tlumení způsobeno pouze pasivními odpory závěsů a peddajného člena 5. Tento způsob tlumení by nemusel vždy vyhovovat. Navrhl jsem proto úpravu přepouštěcího prvku 4, aby nastalo ovlivnění komprese i expanze pneumatické pružiny. Tato úprava je naznačena na obr.34. Přepouštěcí otvor 4 je zde ovládán opět poddajným členem 5, jako v předchozích případech, jeho funkce je zde však poněkud složitější. Musí totiž uzavřít přepouštěcí otvor 1 jak při kompresi, tak při expansi. K jeho přesunutí, vždy při změně smyslu pohybu, v krajních úvratích, dojde opět za pomocí poddajného člena 5. Během tohoto přesunu přepouštěcího prvku 4 se přepouštěcí otvor 1 na okamžik otevře a v závěru pohybu přepouštěcího prvku 4 se přepouštěcí otvor 1 opět zavře. Předpokládá se dostatečně veliká plocha přepouštěcích otvorů a dostatečný čas na vyrovnaní tlaků v obou prostorech. Dostatečné plochy otvorů je třeba dosáhnout při malém zdvihu přepouštěcího prvku 4. Proto jsou naznačeny profrézované obdélníkové otvory, které zasahují téměř celý obvod přepouštěcího prvku 4. Dostatečný čas potřebný na vyrovnaní tlaků mezi prostorem proměnným 2 a neproměnlivým 3 by se pravděpodobně získal, neboť přepouštění by probíhalo vždy na počátku zdvihu, kdy je ještě malá rychlosť harmonického pohybu a kdy je tedy na poměrně malý zdvih k disposici relativně dlouhá doba. Děj je opět graficky naznačen v p-v diag-



obr. 34



obr. 35

ramu na obr.35. Děj komprese a expanze klasické pneumatické pružiny znázorňuje opět polytropa M, C, N . Jestliže se pneumatická pružina nachází ve své rovnovážné poloze \underline{Q} a přijme silový impuls, který musí zachytit, dojde k jejímu stlačení, jelikož však je přepouštěcí otvor \underline{J} uzavřen, proběhne komprese po křivce $\underline{Q}, \underline{M}$. Jakmile se změní směr pohybu (pružina expanduje), přesouvá se přepouštěcí prvek $\underline{4}$, otevře se na chvíli přepouštěcí otvor \underline{J} , tlaky mezi prostory $\underline{2}$ a $\underline{3}$ se vyrovnají, děj se dostane z bodu \underline{M} do bodu \underline{P} . Přepouštěcí prvek $\underline{4}$ se pohybuje dále a přepouštěcí otvor \underline{J} se opět uzavře. Oba prostory $\underline{2}$ a $\underline{3}$ se opět izolují a expanze bude dále probíhat podle polytropy P, C, R . Při dokončené expanzi, v bodě \underline{R} se opět přesouvá přepouštěcí prvek $\underline{4}$, tlaky mezi prostory $\underline{2}$ a $\underline{3}$ se opět vyrovnají - děj přejde z bodu \underline{R} do bodu \underline{S} . Jelikož se přepouštěcí otvor \underline{J} opět uzavře, bude následující komprese probíhat po křivce $\underline{S}, \underline{Q}, \underline{M}$. Energie, která se během prvních dvou zdvihů utlumí, bude úmerná ploše obrazce ohrazeného body $\underline{Q}, \underline{M}, \underline{P}, \underline{Q}, \underline{R}, \underline{S}$.

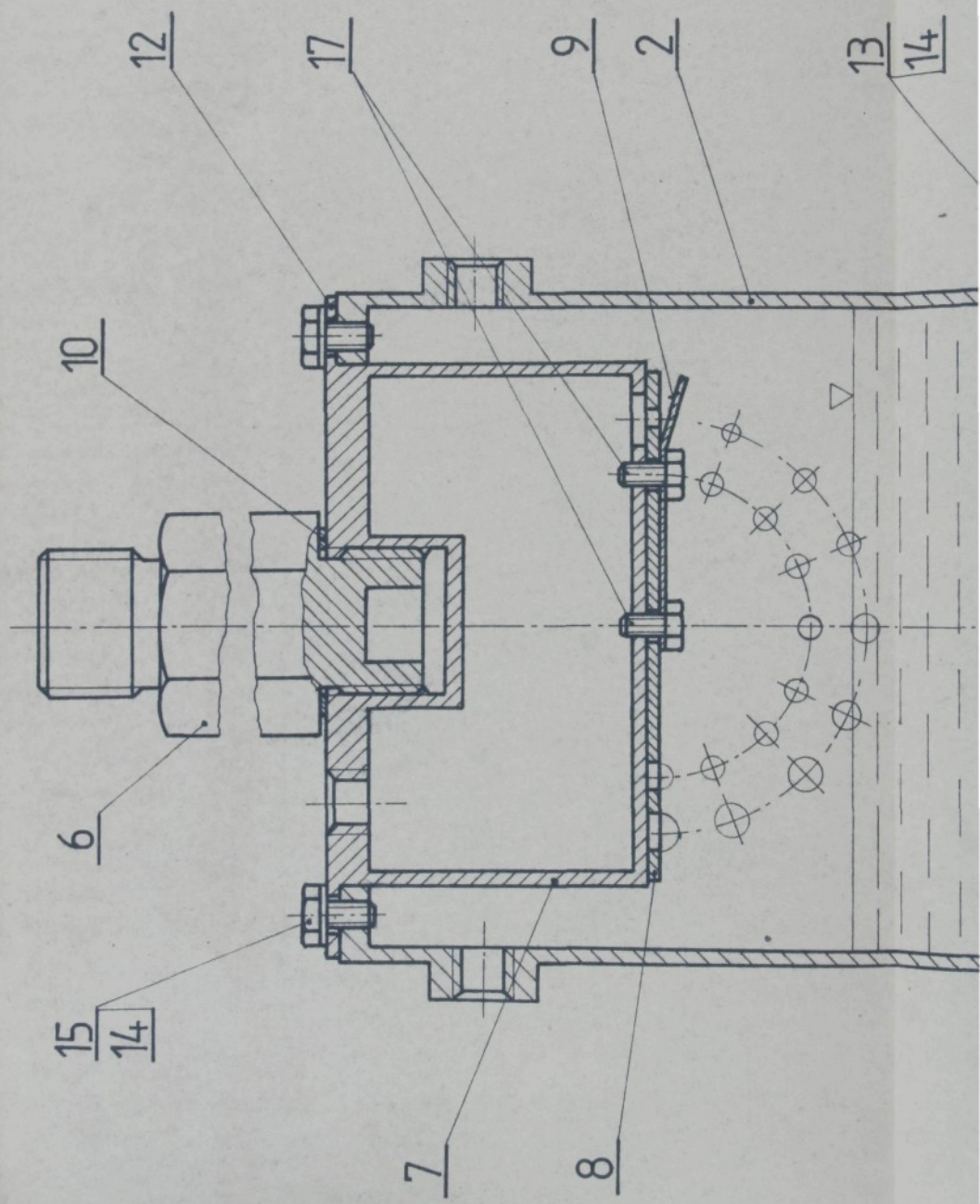
Grafické znázornění dějů uvnitř pružiny jsou značně idealizovaná. Tisk, jak jsou znázorněny tyto děje, odpovídají průběhy okamžitému a dokonalému vyrovnání tlaků mezi prostory $\underline{2}$ a $\underline{3}$ v krajních úvratích. To ovšem nelze doslova dobře zajistit, neboť na přestavení přepouštěcího prvku $\underline{4}$ se spotřebuje vždy část dráhy harmonického pohybu a tedy i část objemu \underline{y} ve schematu. Vyrovnaní tlaku tedy nebude probíhat po svislici, ale po nějaké zcela obecné křivce. Nejjednodušší vyrovnání tlaků mezi prostory $\underline{2}$ a $\underline{3}$ by se nechalo zajistit elektrickým ovládáním přepouštěcího prvku $\underline{4}$.

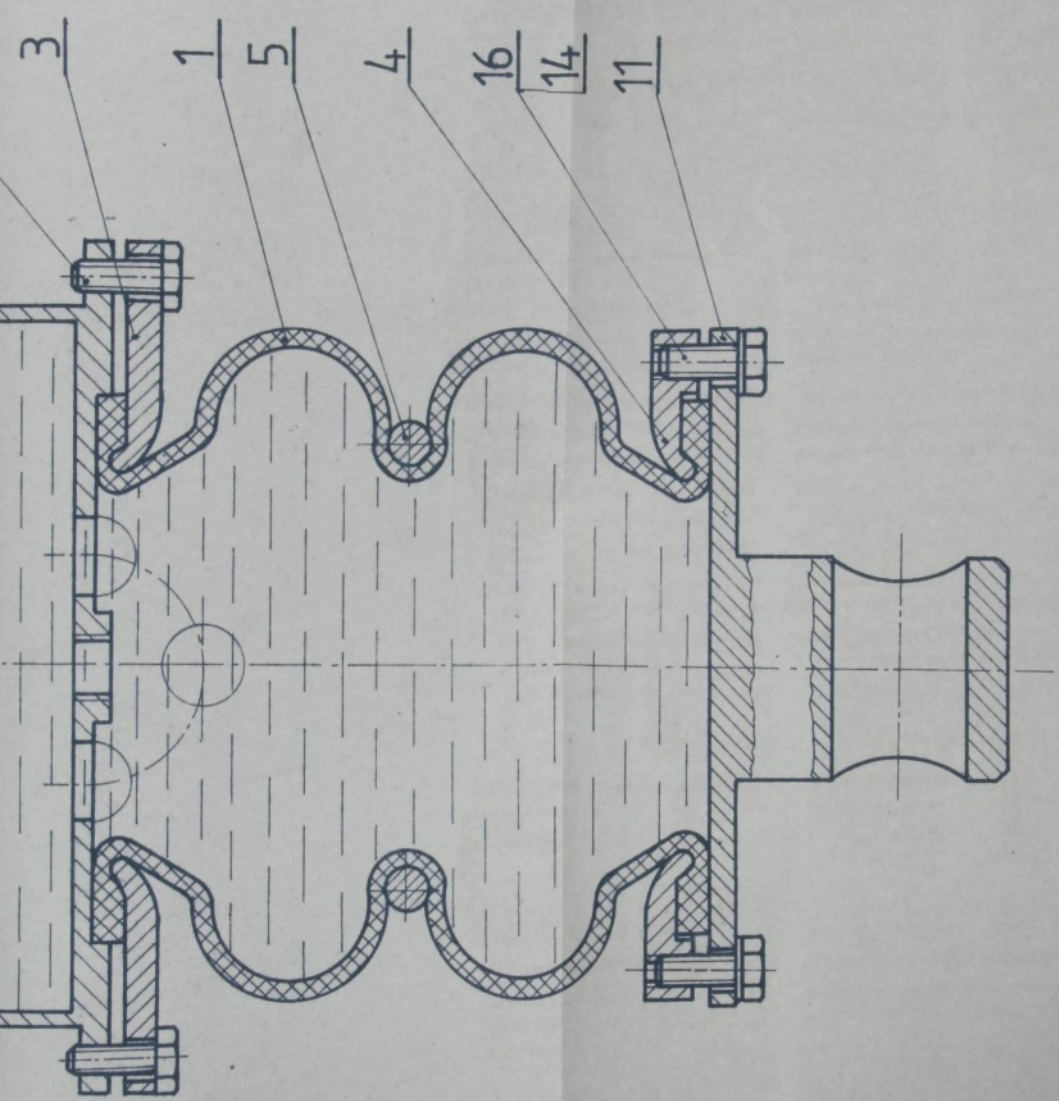
Na tento způsob tlumení, který byl v kapitole popsán, mně bylo v roce 1988 uděleno autorské osvědčení č. 258857.

5.4. Zkušební pneumatická pružina s vlastním tlumením.

Tato zkušební pneumatická pružina vychází z dvouvlnovcové pružiny VD-120-4,5, která byla k disposici a silově byla v měřicím rozsahu zkušebního zařízení, na kterém se měla zkoušet. Zkušební pružina s vlastním tlumením je zobrazena na obr.36.

Oproti všem návrhům, které byly v této kapitole popsány, má zkušební pneumatická pružina s vlastním tlumením jednu zásadní odchylku. U všech předchozích variant je vždy proměnlivý





obr. 36

prester součástí objemu prýžkovitového tělesa 1, zde je součástí pevné nádoby 2. Vedly mne k tomu následující důvody:

- a/ Chtěl jsem na vyzkoušení principu použít podstatnou část zkušební pneumatické pružiny s přímým hydraulickým tlumením - srovnaj s obr. 49 .
- b/ Účinnost tohoto tlumení je funkcí škrcení /rozdílu tlaku v pevném a proměnlivém prostoru/ a dále funkcí poměru objemů obou těchto prostorů. V malém dvejvlnovci by vzhledem k jeho tvaru a vzhledem na zdvih nebylo možno dosáhnout potřebného poměru objemů. V uspořádání dle návrhu, za použití transformační kapaliny, lze dosáhnout libovolného poměru objemů /proměnlivý a neproměnlivý/.
- c/ Mít možnost provádět "ladění" pružiny. To znamená měnit poměr objemu vzduchu a objemu kapaliny v pružině.

Zkušební pneumatická pružina s vlastním tlumením sestává z dvejvlnovce 1 vyplněného kapalinou na bázi vody. Jeho spodní strana je zakryta přírubou 11 opatřenou upevněvacím okem, která je k dvejvlnovci 1 připevněna přichytkou 4 a šrouby 16. Hoření strana dvejvlnovce 1 je zakryta dnem pevné nádoby 2, ve kterém jsou otvory. Těmito otvory proudí volně, bez škrcení, kapalina z dvejvlnovce 1 do nádoby 2 a její hladina může být různě vysoke "/ladění"/. Uvnitř nádoby 2, jejíž vzduchový objem je proměnlivý, je další nádoba 7 s pevným vzduchovým objemem. Nádoba 7 přechází v horní části ve víko, které je společně pro nádobu 2 i 7. Je přišroubována šrouby 15 a utěsněno těsněním 12. Uprostřed víka je přišroubována šroubová spojka 6 sloužící k upevnění zkušební pneumatické pružiny do závěsu zkušebního stavu.

Napravo spodní stěny nádoby 7 je otvor, kterým proudí vzduch mezi objemem proměnlivým a neproměnlivým. Tento otvor je předimenzován, neboť vlastní regulaci průtoku vzduchu bude řídit otvory v otáčivé cloně 8 se sadou odstupňovaných průtočných otvorů. Tato otáčivá clona 8 je přišroubována ke dnu nádoby 7 dvěma šrouby 17. Kolem středního se clona otáčí a pravý zajišťuje jednotlivé polohy clony 8. Po nastavení zvoleného průtočného otvoru se oba šrouby 17 dotahnou a tím se

zajistí poloha a těsnost clony 8 vzhledem k otvoru ve dnu nádoby 7. Krytka 9 cloni průtočný otvor proti vnikání kapaliny. Pryžekordový dvouvlnovec 1 je k pevné nádobě 2 připevněn příchytkou 3 a šrouby 13.

Charakteristika zkušební vzduchové pružiny s vlastním tlumením se zaznamená nejprve při nastavení clony 8 se stejně velikým otvorem, jako je otvor na pravé straně ve dnu nádoby 7. To znamená, že prostor nádoby 7 se stane vlastně součástí proměnlivého prostoru, neboť tlaky v obou prostorech budou během celého cyklu stejné.

Při dalších měřeních se postupně bude zařazovat podstatně menší otvary clony 8. Tlaky v obou prostorech se již nebudou stačit vyrovnávat a bude ovlivňovat jednotlivé záznamy charakteristik. Z jejich srovnání s původní charakteristikou se bude moct posoudit intenzita vlastního tlumení této zkušební pneumatické pružiny s vlastním tlumením.

5.5. Měření na zkušební pneumatické pružině s vlastním tlumením

Zkušební pneumatická pružina s vlastním tlumením, tak jak byla navržena s výrobens, představovala princip tlumení popsaný v kapitole 5.2.. Toto měření mělo dokázat, že skutečně jde o tlumenou pružinu.

Měření se provádělo, stejně jako u pneumatické pružiny s přímým hydraulickým tlumením (viz kapitolu 6.0.), na zkušebním stavu pro zkoušení tlumičů v n.p. Autobrzdy. Stejně tak bylo použito jejich měřící a záznamové techniky.

Tento zkušební stav na tlumiče nereslizuje čistě harmonický pohyb, neboť používá klassický klikový mechanismus. To způsobilo poněkud odlišný průběh dráhy a rychlosti harmonického pohybu. Je to však nepodstatné pro vlastní účel a cíl měření.

Prováděl se záznam závihových a rychlostních charakteristik pružiny pro její různé seřízení. To spočívalo v tom, že se měnila velikost škrticího (přepouštěcího) otvoru mezi proměnlivým a konstantním objemem pružícího vzduchu v pružině. Dále se zaznamenával průběh tlaku p_1 v proměnlivém objemu a tlaku p_2 v konstantním objemu. Průběh obou charakteristik i obou tlaků se zazna-

menával do paměti osciloskopu, odkud se potom pomocí zapisovačů přenášel na papír. Pro snadné rozumnovení jsem záznamy kopíroval na průsvitný papír a opatřil stupnicemi veličin.

Jelikož proudění mezi oběma objemy je značně teoreticky obtížné, neboť rozhodující veličiny $/p$, v , .../ se neustále mění, bylo přikročeno k těmto zkouškám.

Výchozí střední tlak vzduchu byl vždy stejný 300kPa. Před jeho nastavením se pružina ustavila do střední polohy. Přesnost nastavení tlaku však byla ovlivněna, jak se na záznamech ukázalo, přesností manometru v přívodním petrubi pro vzduch.

Nastavení zvoleného škrticího /přepouštěcího/ otveru bylo poněkud záleuhavé. Muselo se provádět při demontáži pružiny, to znamená bez tlaku, při vyjmutí nádoby 7, představující konstantní objem. Aby, obzvláště při malých přepouštěcích otvorech, nebyl průtok zkreslen případným prouděním vzduchu štěrbinou mezi dnem nádoby 7 a clonkou 8, bylo kolem velkého otvora ve dnu nádoby 7 /Ø10/ nalepene pryžové těsnění a stejně tak na protější straně, aby se po dotažení šroubů 17 clonka 8 nedeformovala. Po následném smontování pružiny se tato upnula do zkoušebního stavu na tlumiče, jehož střední poloha zdvihu souhlasila se střední polohou pružiny a naplnila se vzduchem na požadovaný přetlak /300kPa/. Dále se provedla kontrola těsnosti vlastní pružiny i k ní napojeného plnícího systému.

Závit pružiny při zkouškách byl zvolen $\pm 30\text{mm}$, na což se zkoušební stav nechal snadno nastavit.

Dále bylo používáno dvou frekvencí kmitání zkoušené pružiny. Jako základní frekvence $f = 1,667\text{s}^{-1}$, která je u obdobných zkoušek běžná. Kromě toho se používalo ještě frekvence poloviční, neboť jsem chtěl mít možnost posoudit vlastnosti pružiny při polovičních rychlostech během celého cyklu. Důvodem pro to byla i skutečnost, že se frekvence nechala plynule a snadno měnit, bez zásahu do zkoušené pružiny a tedy i bez změny tlaku uvnitř před a po demontáži, jak se stávalo při výměně průčelného otvoru mezi proměnlivým a konstantním objemem pružiny.

Na obr.37 jsou v jeho horní části zaznamenány zdvihová $/F = f/x//$ a rychlostní $/F = f/\dot{x}//$ charakteristiky zkoušené pružiny.

$$\begin{aligned} \text{žiny při nestavení základních veličin: } & x_{\max} = \pm 30 \\ & f = 1,667 \text{ s}^{-1} \\ & d = \emptyset 10 \end{aligned}$$

Srovnejí-li se zaznamenané charakteristiky s charakteristikami klasických hydraulických tlumičů automobilového typu z kapitoly 3.7., je na první pohled vidět jistá podobnost. Avšak pozor! Zdvihová charakteristika této pružiny se podobá rychlostní charakteristice hydraulického tlumiče automobilového typu a napak rychlostní charakteristika této pružiny se podobá zdvihové charakteristice hydraulického tlumiče automobilového typu. Je to však v pořádku, neboť nejde o tlumič, ale jde o pružinu.

Zatím, co se na utlumenou energii hydraulickým tlumičem usuzovalo z velikosti ploch jeho zdvihových charakteristik, u této pružiny lze na utlumenou energii usuzovat z velikosti hysterezní plochy zdvihové charakteristiky zkoušené pružiny. Zdvihová charakteristika netlumené pneumatické pružiny by byla znázorněna jednou křivkou, společnou pro stlačování i expanzi. Vzhledem k tomu, že byl nestaven největší přepouštěcí otvor ($\emptyset 10$), pomocí kterého je p_1 a p_2 v obou objemech, je na záznamu značná hysterese zdvihové charakteristiky a tedy i značný tlumící účinek systému pružiny.

Spodní část obr.37 znázorňuje průběh tlaků v obou objemech pružiny. Tlak p_1 je v proměnlivém objemu a tlak p_2 je v konstantním objemu. Přitom obě charakteristiky jsou závislé pouze na průběhu tlaku p_1 , t.j. v proměnlivém objemu. Ten se však může lišit od svého standardního průběhu (pro jeden objem, rovný součtu obou objemů) jen tehdy, když tlak v konstantním objemu bude probíhat jinak než tlak v proměnlivém objemu. ZáZNAM tlaků p_1 a p_2 však nevykazuje žádné podstatné rozdíly, jestliže se vezme v úvahu vodorovné přesazení obou zapisovacích hrotů esí o 1,2mm.

Zde je třeba upozornit na jistou abnormalitu čtení záznamu tlaků p_1 a p_2 . Jelikož zapisovací psípí se pohybuje odleva doprava, je třeba číst tlakové údaje odprava doleva.

Pokud jde o poměrně značnou hysteresi zdvihové charakteristiky pružiny a tedy i tlumící účinek, který z toho plyne, je si třeba uvědomit další okolnosti, které plynou z vlastní konstruk-

ce zkušební pružiny, která byla navrhována tak, aby měla univerzálnější použití - to znamená, aby se po jistých úpravách nechala použít i na delší zkoušky pružiny s přímým hydraulickým tlumením. Princip tohoto tlumení je popsán v následující kapitole 6.0.

Čtyři otvory Ø14 a otvor M12 umístěné ve dnu nádoby 2, kterými proucí kapalina, kladou jejímu průtoku větší hydraulický odpor, než ukazoval předběžný výpočet. Tento hydraulický odpor způsobuje takový rozdíl tlaků p_1 a p_2 mezi vlastním objemem dvojvlnovce 1 a nádobou 2. Při stlačování pružiny zvětšuje tlak v dvojvlnovci 1 a tedy i silový nárust pružiny. Při roztahování pružiny tomu bude naopak. Potvrzuje to srovnání zdvihové charakteristiky z obr.37 se zdvihovou charakteristikou pneumatické pružiny s přímým hydraulickým tlumením z obr.51. U této pružiny proučila kapalina také plně otevřenými čtyřmi otvory Ø14 a celý objem vzduchu byl proměnlivý a stejně veliký jako u charakteristiky z obr.37, kde však byl průtočný průřez větší o plochu otvoru M12. V důsledku by hystereze dle obr.37 měla být menší. Je však naopak větší, což svědčí o tom, že to bylo způsobeno nějakým dalším tlumením, tedy tlumením pneumatickým z účinku vzájemného působení proměnlivého a pevného (konstantního) vzduchového objemu.

Na obr.38 jsou opět v horní části znázorneny charakteristiky zkušební pružiny při nastavení přepouštěcího otvoru velikosti Ø5 a při frekvenci kmitání $f = 1,667\text{s}^{-1}$. Ostatní hodnoty byly neproměnné a používaly se stejně při všech ostatních měřeních. Je vidět, že hystereze zdvihové charakteristiky se proti předchozímu měření zvětšila a že tedy tlumení vzrostlo. Průběhy tlaků p_1 a p_2 (spodní část obrázku) zaznamenaly výrazné změny oproti předchozímu měření. Změnu lze spatřovat ve výraznějším rozdílu velikosti tlaku p_1 a p_2 a ve větším jejich vzájemném časovém posunutí, neboť přesunutí pisátek zapisovacího zářeckého stroje je zmenšil od tohoto měření posuv papíru zapisovacího - z toho plyne zúžení zářenou tlaku.

Totéž měření, jako na obr.38, pouze s poloviční frekvencí kmitání $f = 0,833\text{s}^{-1}$ je zaznamenáno na obr.39. Poloviční frekvence odpovídá i poloviční rychlost harmonického pohybu. To je vi-

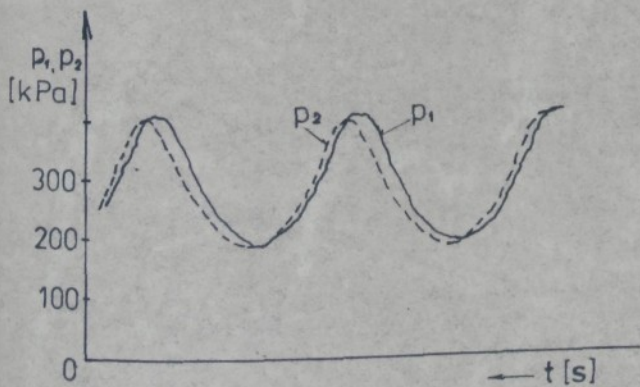
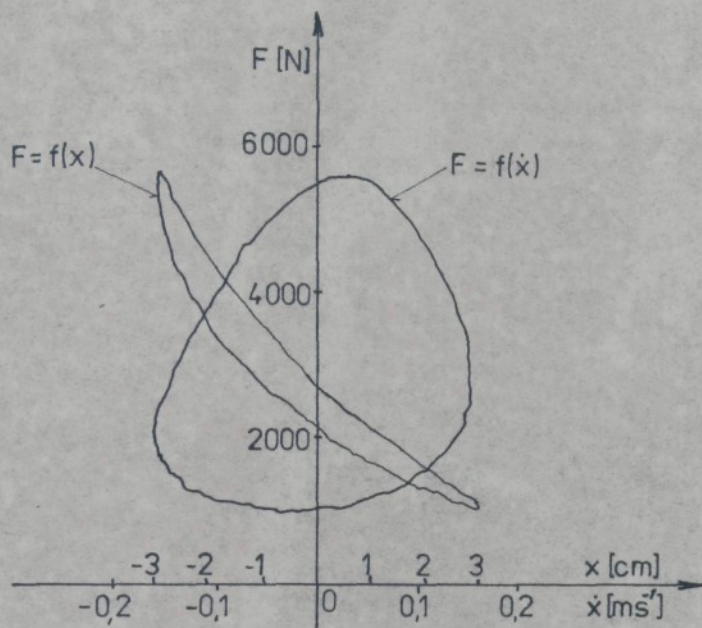
dět na záznamu rychlostní charakteristiky ($F = f(\dot{x})$), která je zúžená. Tomu však také odpovídá dvojnásobný čas kmitu, který oproti předchozímu měření (obr.38) umožní více vyrovnat tlaky p_1 a p_2 . V důsledku toho se i částečně zmenší hystereze zdvihové charakteristiky ($F = f(x)$) zkoušené pružiny, což je i projev menšího tlumení této zkoušené pružiny.

Naměřené charakteristiky a průběhy tlaků zkušební pružiny s přepouštěcím otvorem $\varnothing 3,7$ při frekvenci měření $f = 1,667 \text{ s}^{-1}$ jsou znázorněny na obr.40. Ze zdvihové charakteristiky je vidět, že hysterezní plocha se proti předchozím měřením opět zvětšila, což odpovídá i zvětšenému vlastnímu tlumení zkušební pružiny. Zajímavý je průběh tlaků p_1 a p_2 . Je vidět, že se výrazně zvětšil rozdíl mezi tlakem p_1 , to jest tlakem v proměnlivém prostoru (objemu), který bezprostředně ovlivňuje charakteristiku pružiny a tlakem p_2 uvnitř konstantního objemu. Oba tlaky kmitají se stejnou frekvencí, avšak s fázovým posuvem (je však oá fázového posudu odečítat překrytí pisátek zapisovače 1,2mm). Fázový posuv je způsoben tím, že tlaky se v obou objemech v krajních úvratích nestačí vyrovnat. K jejich vyrovnání dojde až během dalšího zdvihu (protnutí obou křivek při posunutí záznamu o překrytí pisátek). Dále se zde výrazně snížil průměrný tlak v konstantním objemu p_2 oproti průměrnému tlaku p_1 v proměnlivém objemu. To se sice dělo pozorovat již na předchozím měření, nebylo to však tak výrazné.

Poslední dvě měření byla prováděná na zkušební pružině při použití přepouštěcího otvoru $\varnothing 1,6$. Na obr.41 bylo měření provedeno při frekvenci $f = 1,667 \text{ s}^{-1}$ a na obr.42 při frekvenci poloviční. Proti předchozímu měření se znatelně snížila plocha záznamu zdvihové charakteristiky. Z toho plyne, že tlumící účinek je menší než byl v předchozím případě, při použití přepouštěcího otvoru $\varnothing 3,7$. Oba záznamy zdvihových charakteristik (obr.41 a obr.42) jsou poměrně totožné. Stejně tak to platí i o záznamu tlaků p_1 a p_2 . Porovnáním s předchozími měřeními se ještě více zvětší rozdíl mezi nimi a došlo k ještě většímu rozdílu jejich středních tlaků. Tlak p_2 v konstantním objemu pulsuje již poměrně málo, neboť přepouštěcí otvor $\varnothing 1,6$ je příliš malý. Jelikož tlakový spád Δp dosahuje již v některých okamžicích pomě-

$$d = \phi 10$$

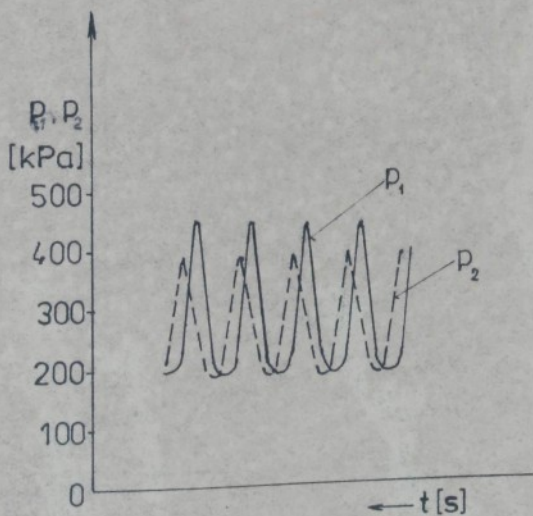
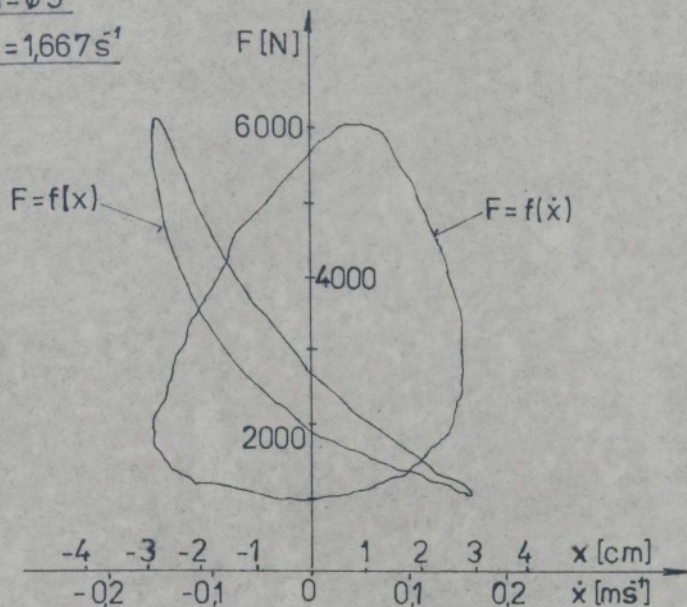
$$f = 1,667 \text{ s}^{-1}$$



obr. 37

$$d = \phi 5$$

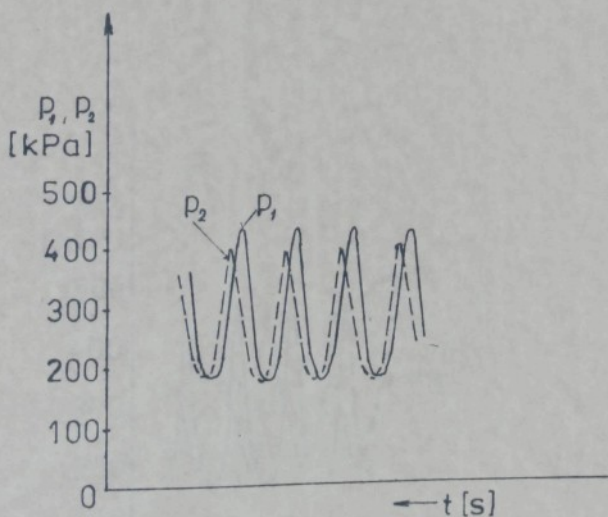
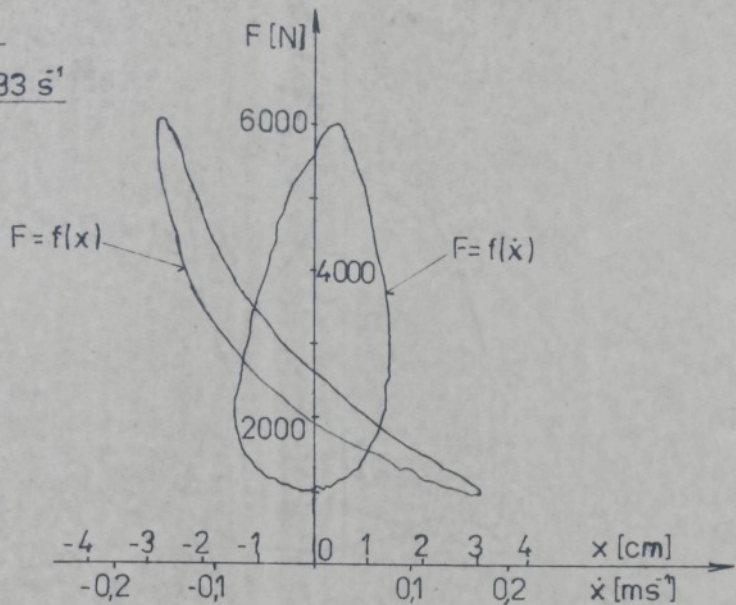
$$f = 1,667 \text{ s}^{-1}$$



obr. 38

$$d = \phi 5$$

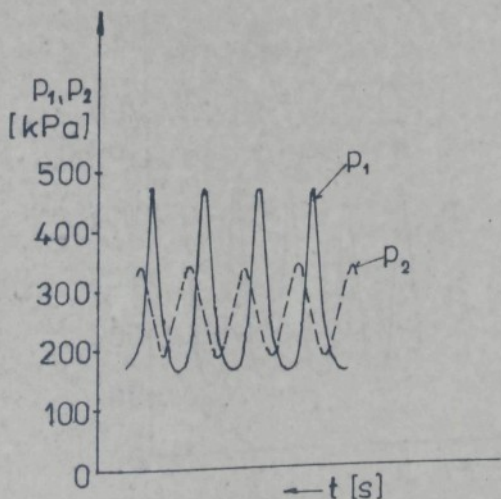
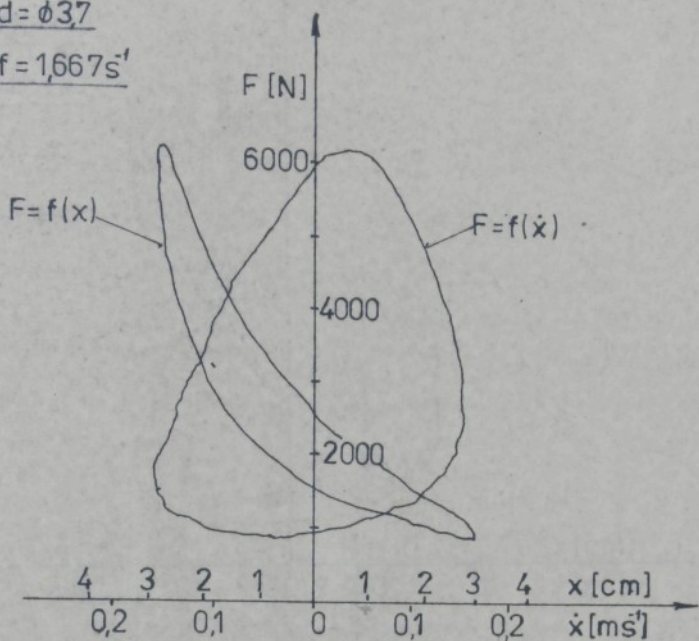
$$f = 0,833 \text{ s}^{-1}$$



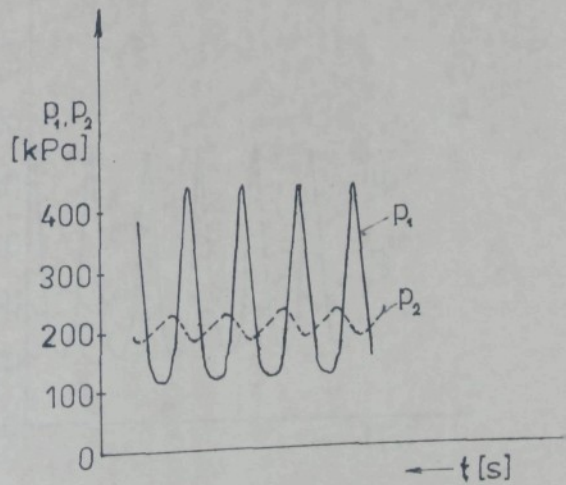
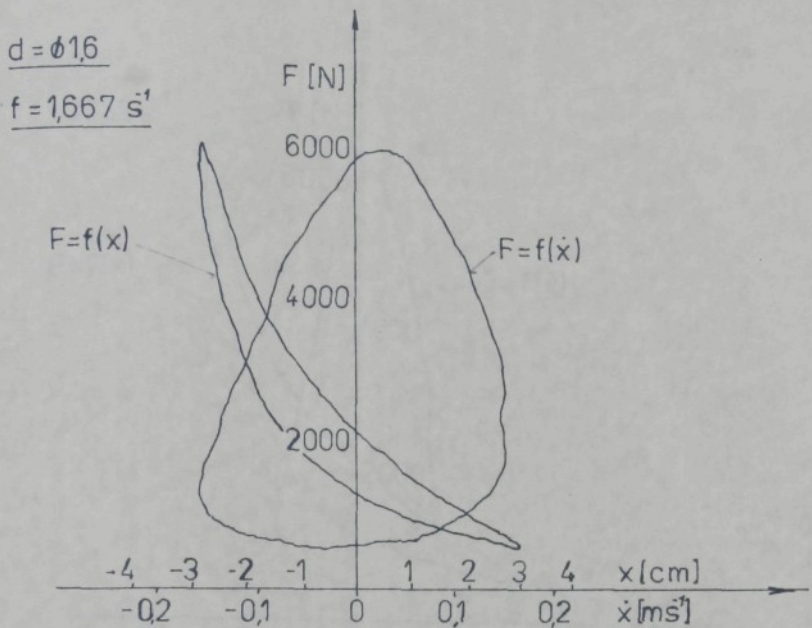
obr. 39

$$d = \phi 3,7$$

$$f = 1,667 \text{ s}^{-1}$$



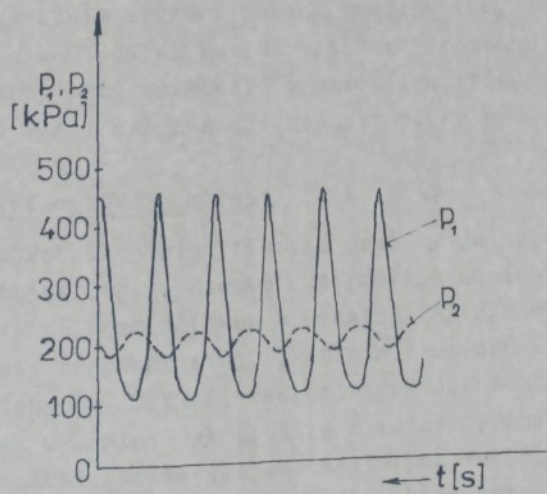
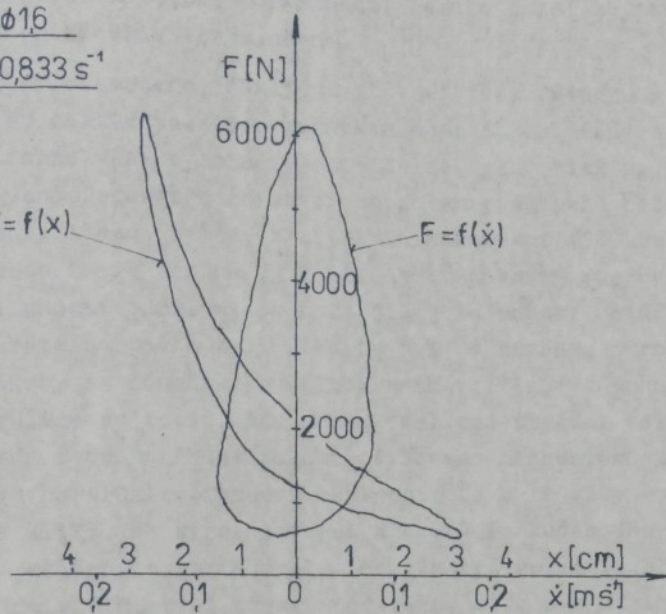
obr. 40



obr. 41

$$d = \phi 16$$

$$f = 0.833 \text{ s}^{-1}$$



obr. 42

ru, kdy dochází ke kritickému proudění, nemůže další zvýšení tlaku p_1 nikterak ovlivnit proudění.

Jak již bylo uvedeno, základní střední tlak vzduchu v pružině, který se nestavoval před začátkem měření, byl vždy stejný 300kPa. Dlouho však bylo nevysvětlitelné, proč tlak p_2 pulsuje při malých přepouštěcích otvorech kolem podstatně nížší střední hodnoty tlaku než té, která byla nastavena (300kPa). Příčina se nedala tak snadno zjistit, neboť záznamy zde uvedené byly vzety z paměti osciloskopu a to již jako hodnoty ustálené po vykonání většího počtu kmitů. Kdyby byl na záznamu i rozbeh zařízení, pak by se záhada vysvětlila snadno. Tlak vzduchu plněného do pružiny se totiž vždy nestavoval pro střední polohu pružiny s tedy i pro střední polohu klikového mechanismu zkušebního stavu na tlumiče. Shodou okolností to byla vždy vodorovná poloha kliky, ze které se, při spouštění zkušebního stavu, pružina ještě dále roztahovala. Rozbeh byl velmi rychlý, avšak první pár zdvihů trval přesto podstatně déle než zdvihy další. Při něm uniklo z konstantního objemu větší množství vzduchu, než se mohlo při dalším zdvihu dostat zpět. Další zdvihy to již nemohly vyrovnat, neboť zkušební stav měl již konstantní frekvenci - co z něj při jednom zdvihu uniklo, to se do něj při dalším zdvihu vrátilo. Jinak by vypadal záznam, kdyby se nastavovala střední poloha pružiny tím, že by se klika nastavila o 180° dál. Pak by totiž při rozbehu následovalo stlačení pružiny při ještě malé rychlosti a střední hodnota tlaku p_2 by byla vyšší než střední hodnota tlaku p_1 .

5.6. Zhodnocení výsledků měření

Tento způsob vlastního tlumení pružiny je sice nejjednodušší, neboť vnitřní děj v pneumatické pružině není nicím řízen, probíhá samovolně, pod účinkem stavebních veličin - je však ovlivňován velikostí přepouštěcího (škrticího) otvoru a velikostí konstantního objemu. Již při teoretických úvahách o průběhu vnitřních dějů se ukázelo, jak složité a těžko definovatelné děje tam budou probíhat, kolik vzájemné závislostí veličin a dějů bude rozhodovat o tom, jaké bude výsledné chování této pružiny. Proto jsem se pokusil ověřit si vlastnosti pneumatické pružiny

s vlastním tlumením těmito zkouškami.

Ukázalo se, že vlastní tlumení tato pružina sice má, ale poměrně malé. Také se potvrdila závislost tlumení na velikosti přepouštěcího otvoru. Z těch měření, která byla provedena, se projevilo největší tlumení pro otvor Ø3,7.

Předpoklad, který jsem si dal v kapitole 5.2. a znázornil ho na obr.26 a obr.27, že se bude tlak v krajních polohách pružiny, mezi proměnlivým a konstantním objemem, vyrovnávat, byl desti iluzorní obzvláště pro menší průměry přepouštěcích otvorů, u kterých během zdvihu pružiny dochází ke vzniku tlakové diference mezi oběma objemy potřebné pro vznik tlumícího efektu. Jak ukazují záznamy tlaků p_1 a p_2 , k vyrovnání tlaků v proměnlivém a konstantním objemu dochází až za úvratěmi v místě průsečíku obou křivek, zkorigováno přesazením obou pisátek zapisovače. Je sice pravda, že v krajních úvratích harmonického pohybu je více času na přepouštění vzduchu mezi konstantním a proměnlivým objemem, při malých změnách objemu a tlaku způsobených stlačováním nebo roztažováním pružiny v této oblasti, avšak přitom klesá také tlaková diference $\Delta p = p_1 - p_2$ v jedné úvratí, nebo $\Delta p' = p_2 - p_1$ v druhé úvratí a proto se přepouštění zpomaluje. Kdyby se v tom okamžiku harmonický pohyb zastavil, k vyrovnání tlaků by zde skutečně došlo, avšak za podstatně delší dobu, než je k dispozici u harmonického pohybu. Ve skutečnosti se tlaky vyrovnávají až za horní a dolní úvratí. Za horní úvratí je to nejen pekračujícím přepouštěním vzduchu z proměnlivého do konstantního objemu, ale také tím, že proměnlivý objem již expanduje a proto v něm klesá tlak i z této příčiny. Za dolní úvratí se tlaky vyrovnají nejen v důsledku přepouštění vzduchu z konstantního objemu do objemu proměnlivého, ale i v důsledku toho, že proměnlivý objem již komprimuje a proto v něm tlak narůstá i z této příčiny.

Při velikých přepouštěcích otvorech se oba objemy budou chovat jako jeden součetový objem a pružina ~~a pružina~~ by neměla vykázat žádnou hysterézu /tlumení/.

Při velmi malých přepouštěcích otvorech se bude proměnlivý objem chovat jako samostatný a jelikož je částí celko-

vého objemu, bude se pružina jevit jako tužší avšak téměř bez tlumení. Tlaky se sice na záznamech protínají /obr.41 a obr.42/, což svědčí o jejich vyrovnání. K tomu však dochází především v důsleku expanze a komprese vzduchu v proměnlivém objemu, nikoliv v důsledku proudění mezi konstantním a proměnlivým objemem. Tam, kde je nepatrné proudění, nemůže být ani účinné škrzení proudu vzduchu a nemůže tedy být převedena mechanická energie na jiný druh energie, třeba na energii tepelnou. Znamená to, že tam nenastává tlumení.

Zdá se, že tento způsob získání vlastního tlumení pneumatické pružiny je málo účinný. Daleko účinnější by zřejmě byla pneumatická pružina s vlastním jednosměrným tlumením dle kapitoly 5.1. Pneumatická pružina s tekovýmto vlastním tlumením by nevyhovovala pro automobily, ale mohla by docela dobře vyhovovat pro odpružené pedložky pod pracovními stroji, pracujícími s velikými, avšak ojedinělými rázy. V této pružině je vnitřní děj již pod kontrolou. Na zachycení prvého nárazu se podílí celý objem pneumatické pružiny, neboť konstantní objem a proměnlivý objem jsou propojeny pro tento směr proudění jednosměrným ventilem velikého průtočného průřezu. Pružina se tedy při stlačování jeví, jako "peddajná". Při zpětném chodu může, podle intenzity škrzení, být téměř odstavena energie konstantního objemu. Škrzené proudění z konstantního objemu do objemu peddajného zajišťuje především, aby se kmitání ustálilo v původní střední poloze. Přitom by se konstantní objem nechal, za pomocí transformační kapaliny, udělat dostatečně veliký. Potom i tlumení by bylo značné.

Dále by lepší výsledky také vykázaly pneumatické pružiny s řízeným dějem v jedné, nebo obou krajních úvratích, podle kapitoly 5.3.. U těchto pružin nejde již o škrzení proudícího vzduchu, ale o "účelnou manipulaci" s konstantním objemem, jež je opět jistou částí celkového objemu pružiny. Podrobněji byly děje v těchto pružinách popsány již dříve. Skutečná provedení teakových pneumatických pružin s vlastním tlumením by byla již podstatně nákladnější.

Ke zkouškám těchto dalších systémů vlastního tlumení pneumatických pružin jsem se nedostal, neboť rozsah by byl značný.

6.0. Pneumatická pružina s přímým hydraulickým tlumením

Pneumatické pružiny mají celý svůj vnitřní objem vyplněný plynem /nejčastěji vzduchem/, který svým svým stlačením nebo expanzí zajišťuje vlastní pružení. Tvar a typ pryžokordového tělesa pružiny zajišťuje různé pracovní charakteristiky těchto pružin. Toto je tradiční uspořádání. Lze to však porušit, aniž by se změnila charakteristika pružiny. Je možné objem pryžokordového tělesa vyplnit kapalinou a pružný plynový objem vytvořit v jiném a nepoddajném tělese. Plyn v tomto tělese se bude stlačovat kapalinou vytlačenou ze stlačovaného pryžokordového tělesa. V opačném případě expandující plyn v nepoddajném tělese bude vytlačovat kapalinu do pryžokordového tělesa, které bude touto kapalinou roztahováno. Vzhledem k tomu, že kapalina je téměř nestlačitelná, bude téměř věrně transformovat změnu objemu v pryžokordovém tělese na změnu objemu plynu v nepoddajném tělese. Bude zajišťovat i stálý stejný tlak v obou tělesech, pokud se proudící kapalině nebude do cesty stavět příliš veliký hydraulický odpor. Příjem pochopitelně bude proudit z jednoho prostoru do druhého a zpět. Jestliže se této proudící kapalině postaví do cesty nějaké hydraulické odpory, nastane tlumení činnosti vlastní pneumatické pružiny.

Princip takto tlumené pružiny spočívá v tom, že celkový vnitřní prostor pružiny sestává z prostoru vyplňeného pružícím plynem a z prostoru vyplňeného tlumící kapalinou a že při stlačování i roztahování pneumatické pružiny je je tlumící kapalina nucena protékat přes škrticí ventily. Intensiteu škracení jejího průtoku v obou směrech je i určena intensita tlumení pohybu pneumatické pružiny s vlastním přímým hydraulickým tlumením. Není to však bez problémů.

Při stlačování této pružiny je však velikost tlumení omezena pevností vlastního pryžokordového tělesa. Je to tím, že tlumičová kapalina je téměř nestlačitelná a proto by snadno při velikém škracení jejího průtoku mohl vnitřní tlak v této kapalině dosáhnout hodnot, při kterých by došlo k porušení pryžokordového tělesa. Proto proces stlačování pružiny musí být chráněn pojistným ventilem. Ten dodrží nastavenou tlakovou diferenci. Vzhledem k veliké nosné ploše pneumatické pružiny

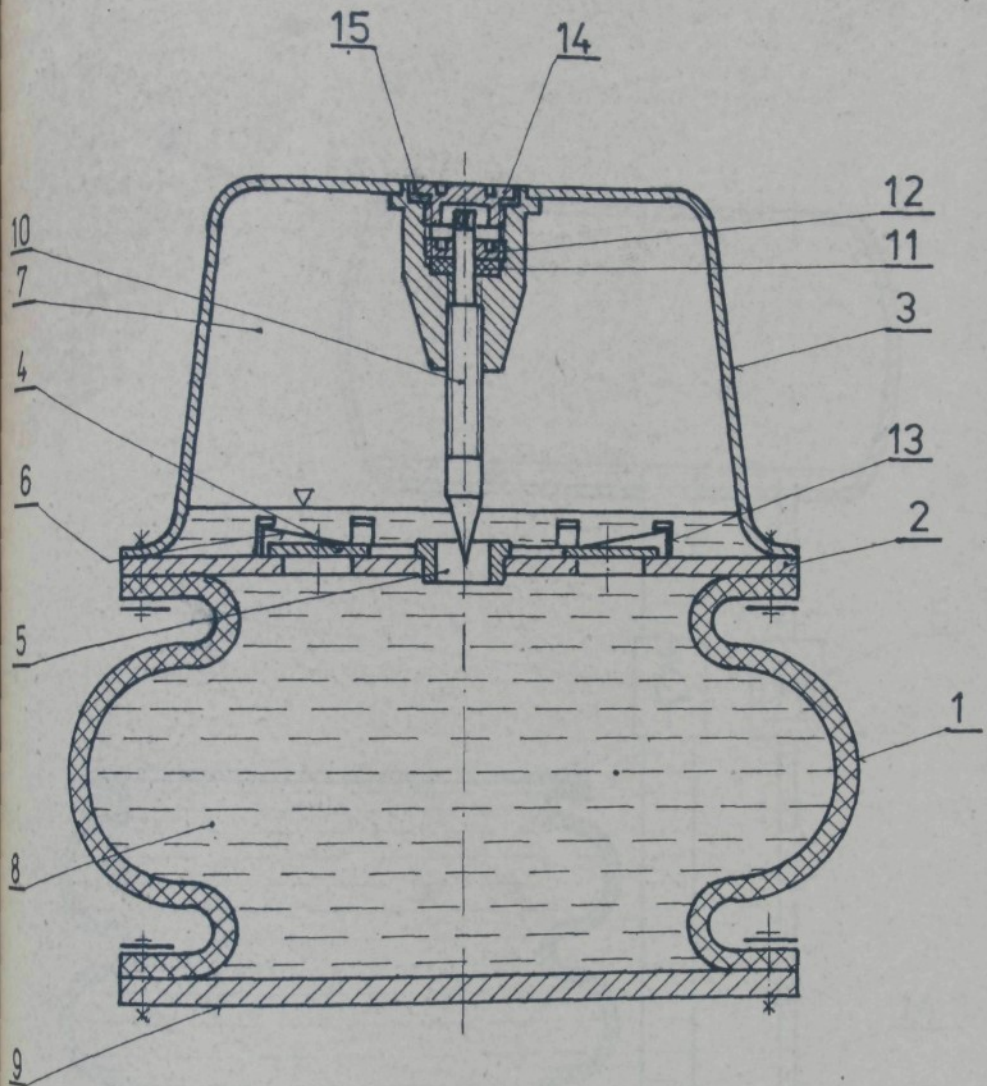
žiny, nebude tato tlumící síla malá i kdyby tlakový rozdíl na škrtícím ventili představoval třeba jen 0,1 - 0,2 MPa, tedy přetlak, který by pryžokordový vlnovec nemohl ohrozit, presto, že se připočítává normálnímu provoznímu tlaku.

Při roztahování pneumatické pružiny s vlastním hydraulickým tlumením se může dosáhnout libovolně velikého tlumení, podle nastavení příslušného škrtícího ventili. Pryžokordové těleso pružiny není v tomto případě ohroženo žádným náhlým vzrůstem tlaku v tlumící kapalině. Obousměrné škracení tlumící kapaliny, včetně pojistné funkce pro stlačení pružiny by se nechaly zajistit jedním kombinovaným ventilem.

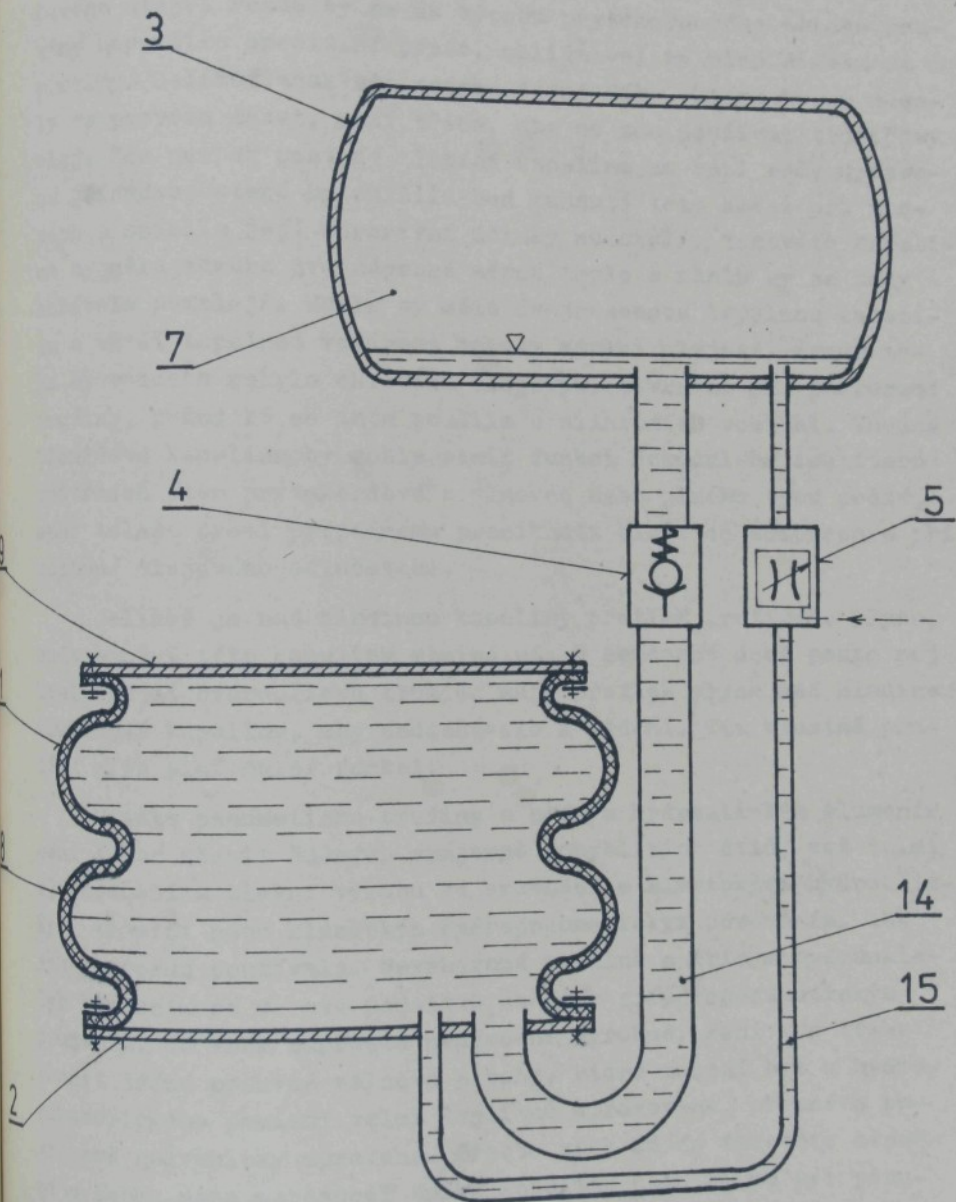
Příklady konstrukce pneumatické pružiny s vlastním přímým hydraulickým tlumením jsou znázorněny na obr.43 a obr.44. Obr.43 znázorňuje jednovlnovcovou pneumatickou pružinu s přímým hydraulickým tlumením, kdy prostor s tlumící kapalinou a prostor s pružicím plymem jsou v přímém sousedství, čímž se zvětšuje montážní výška potřebná pro pružinu s přímým hydraulickým tlumením. Je tvořena pryžokordovým vlnovcem 1, který zajišťuje vlastní oddajnost pružiny a uvnitř kterého je podstatná část prostoru 8 pro tlumící kapalinu. Na tento vlnovec navazuje víko 2, ve kterém je přímo sedlo škrtícího ventili 4 a do kterého je zabudován i škrtící ventil 5. Hoření část je tvořena nádobou, uvnitř které je převážně prostor 7 vyplněný pružicím plymem. V horní stěně této nádoby 3 je zakryto vřetenem 10, pomocí kterého se ovládá škrtící ventil 5. Vřetenem 10 je těsněno ucpávkou 11 staženou šroubem 12. Omezení zdvihu a vedení škrtícího ventili 4 je zajištěno dorazy 13. Na tento škrtící ventil 4 působí pružina 6, aby mohl plnit funkci pojistného ventili. Těsnost zajišťuje zátka 14 s těsněním 15.

Jiné alternativní řešení pneumatické pružiny s přímým hydraulickým tlumením znázorňuje obr.44. Prostor 8 s tlumící kapalinou je chráněn pryžokordovým vlnovcem 1 a víky 2, 9. Prostor 7 s pružicím plýmem je uvnitř oddělené nádoby 3. Vlnovec 1 a nádoba 3 jsou propojeny trubkami 14, 15 ve kterých jsou zabudovány škrtící ventily 4, 5.

Podmínkou bezrázové funkce pneumatické pružiny s přímým hydraulickým tlumením je "zatopení" obou škrticích ventiliů.



obr.43



obr.44

To znamená, že prostor 8 s tlumící kapalinou sahá až do nádoby 3 a poněkud zmenšuje její objem.

Jako tlumící kapaliny se u běžných tlumičů používá tlumičového oleje. Pokud by se na výrobu pryžokordového tělesa pružiny nepoužilo speciální pryže, oblivňoval by olej životnost pružiny. Jelikož však zde nejsou žádné díly, které by se musely za provozu mazat, není třeba, aby se zde používal tlumičový olej. Zde naopak postačí tlumící kapalina na bázi vody upravené přísadou, která by snížila bod tuhnutí této směsi při mrazech a snížila její korozivní účinky na okolí. Takováto kapalina by měla zhruba dvojnásobné měrné teplo a náplň by se tedy ohřívala pomaleji. Náplň by měla dvojnásobnou tepelnou kapacitu a větší tepelnou vodivost oproti náplni olejové. Kromě toho by vozovka nebyla ohrožena olejovými skvrnami při poškození pružiny, pokud by se tato použila u silničních vozidel. Vhodná tlumičová kapalina by mohla plnit funkci dokonalého isolátoru vnitřních stěn pryžokordového vlnovce nebo jiného typu poddajného tělesa proti případnému proniknutí oleje od kompresoru při selhání olejového odlučovače.

Jelikož je nad hladinou kapaliny přetlak pružícího plynu, bude pěnění této kapaliny minimální. V současné době pouze nejkvalitnější hydraulické tlumiče mají přetlak plynu nad hladinou tlumičové kapaliny, aby nedocházelo k pěnění. Tím vlastně pružící plyn plní další funkci.

U této pneumatické pružiny s přímým hydraulickým tlumením není třeba těsnit žádných vzájemně pohyblivých dílů, což velmi zjednoduší a zlevní výrobu ve srovnání s klasickými hydraulickými tlumiči nebo klasickým hydropneumatickým pérováním, tak jak se dosud používalo. Navrhovaná pružina s přímým hydraulickým tlumením se ve své podstatě shoduje s hydropneumatickým pružením. Je však naprostě nenáročné výrobně. Není zde třeba těsnit žádné posuvné válcové plochy, které musejí být u hydropneumatického pružení velmi kvalitně opracované, přesné a povrchově galvanicky upravené. Přesto však každé takovéto těsnění s sebou nese nebezpečí úniku kapaliny nebo plynu při porušení těsnosti opotřebením, stárnutím a ped..

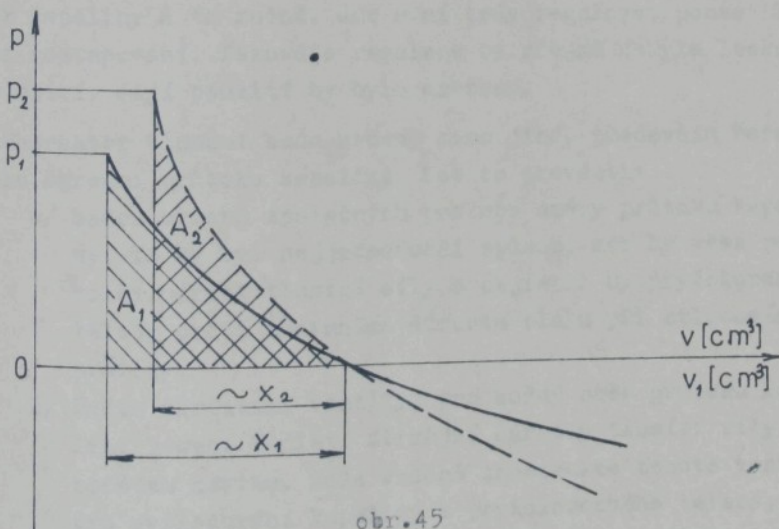
Odstraněním klasického hydraulického tlumiče, který je

kovový, se přeruší vodivá cesta pro různé vyšší frekvence kmitů a pro přenos různých zvuků mezi výrobním strojem a základnou na které je umístěn.

Klasické pneumatické pružiny mají svoji pracovní charakteristiku závislou na celkovém objemu pryžokordového tělesa, jeho tvaru /vlnovec, membrána,.../ a na statickém tlaku. U pneumatické pružiny s přímým hydraulickým tlumením, tak jak byla popsána, lze dosáhnout různých charakteristik.

Jestliže bude objem pryžokordového tělesa a vzduchu v pevné nádobě v klidové poloze stejný, bude i výsledná charakteristika stejná jako u obyčejné pneumatické pružiny.

Bude-li však objem vzduchu větší, nebo menší než objem pryžokordového tělesa, získá se charakteristika jiná. Jelikož se objem vzduchu bude měnit snadno, připouštěním, nebo odpouštěním kapaliny, bude se moci snadno získat charakteristika, která by nejlépe vyhovovala. Zachycení určité energie rázu může pružina uskutečnit při vyšším průměrném tlaku a menším zdvihu a nebo neopak při menším průměrném tlaku a větším zdvihu, jak je to vidět na obr. 45, kde obě charakteristiky lze pokládat ze krajní.



obr. 45

Průběh čárkováný je limitován maximálním tlakem p_2 /pevnost pryžokordového tělesa/. Průběh podle plné čáry je limitován maximálním zdvihem pružiny x_1 , jež je přímo úměrný objemu pružiny V . Přitom pochopitelně platí, že obě energie si jsou rovny $A_1 = A_2$.

Mezi těmito krajními charakteristikami lze dosáhnout velmi snadno jakoukoliv jinou charakteristiku, vyžaduje-li to charakter provozu daného stroje. Přitom se však musí dodržet podmínka, aby byly škrtící ventily zotopeny a nemohlo docházet k hydraulickým rázům na ně.

Montážní výška pneumatické pružiny s přímým hydraulickým tlumením se nechá snížit tím, že prostor pro pružící vzduch se vytvoří přímo v nosném rámu soustavy. Vytvoří se v některé části jako skříňový nosník s uzavřeným vzduchovým objemem propojeným ne vlastní pryžokordové těleso.

Tomuto vynálezu bylo v roce 1984 uděleno autorské osvědčení č. 232209.

6.1. Možnosti regulace pneumatické pružiny s přímým hydraulickým tlumením.

Pneumatické pružiny s přímým hydraulickým tlumením, znázorněné na obr.43 a obr.44 jsou znázorněny jako pružiny s regulací. Jde však, obzvláště u obr.44 spíše jen o schematické znázornění, nikoliv o technické řešení. Na obr.43 je znázorněna pneumatická pružina u které se nechá regulovat pouze zpětný průtok kapaliny a to ručně. Jde u ní tedy regulovat pouze tlumení při roztažování. Takováto regulace by zřejmě nebyla leckde dostačující. Její použití by bylo omezené.

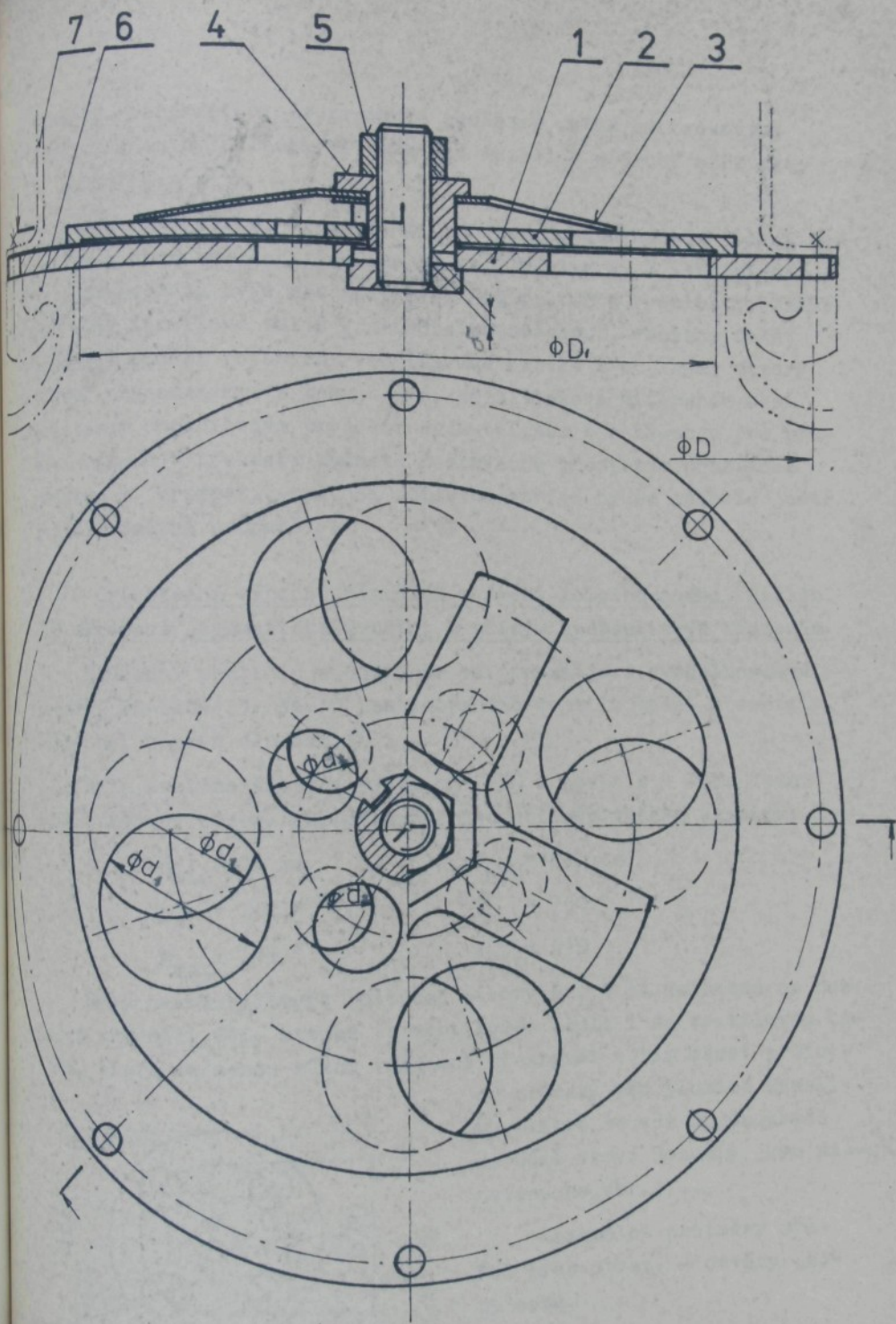
Charakter tlumení bude určen, mimo jiné, především řešením způsobu škrtení průtoku kapaliny. Lze to provést:

- a/ Sedou otvorů společných pro oba směry průtoku kapaliny. To by byl nejjednodušší způsob, měl by však pozvolný nárust tlumící síly a nejistil by pryžokordové těleso proti emormnímu nárustu tlaku při stlačování pružiny.
- b/ Dvěma škrtícími ventily, pro každý směr průtoku kapaliny jeden. Zajistí strmější nárusty tlumící síly na počátku zdvihu. Dále vhodná konstrukce tohoto ventilu pro vytlačování kapaliny z pryžokordového tělesa, toto těleso ^{může} zajistit proti emormnímu nárustu tlaku v něm, neboť kapalina je téměř nestlačitelná.
- c/ Kombinovaným ventilem, který by měl zajistit vhodný průběh tlumení a ochranu pryžokordového tělesa proti roztržení.

Škrťicí ventily by se nechaly řešit různě. Jelikož však horní víko pryžokordového tělesa je rovinná deska, nabízí se jako velmi vhodná alternativa, ventil se sedou otvorů na jedné, či více roztečných kružnicích. Tyto otvory by mohly být kruhové, nebo segmentové, přítočné v obou směrech, nebo každá seda otvorů jen v jednom směru. V tom případě by se jedna seda otvoru použila ke škrcení průtoku při stlačování pružiny a druhá seda otvorů by škrtila průtok při roztahování pružiny. Jelikož při stlačování pružiny je tlumení omezeno pevností pryžokordového tělesa, musí být škrcení průtoku kapalinu v tomto směru ještě zdvojeno s jištěním přetlaku v pryžokordovém tělese. Při roztahování pružiny je tlumení prakticky neomezené, neboť průtočné otvory pro tento směr pohybu a proudění mohou se svojí plochou blížit nule. Takováto potřeba tlumení se však v praxi asi těžko vyskytne.

Na obr.46 je nekreslen návrh kombinovaného pokusného ventilu se dvěma skupinami kruhových otvorů rozmištěných na dvou roztečných kružnicích. Sedlo ventilu 1 je současně horním víkem pryžokordového tělesa 6 a mezistěnou mezi ním a nádobou na pružící vzduch 7. Součástí sedla ventilu je svorník se závitem M10 na centrovány pomocí mezíku se přiveřený k vlastnímu sedlu ventilu 1. Na závitovém svorníku je seřizovací matice 4 a zajišťovací matice 5. Ventilový talíř 2 je večen na seřizovací matici 4 a kromě toho svým výstupkem zapadá do drážky této matice. Na seřizovací matici 4 je centrováná také přítlačná pružina 3, která má zajistit pojistnou funkci ventilu.

Tento ventil byl navržen jako seřiditelný a mohl by posloužit k ověření možnosti regulece na funkčním modelu pneumatické pružiny s přímým hydraulickým tlumením. Otáčením seřizovací matice 4 se mění jednak předpětí přítlačné pružiny 3, která přitlačuje ventilový talíř 2 na ventilové sedlo a jednak překrytí přítočných otvorů ve ventilovém sedle 1 s průtočnými otvory ve ventilovém talíři 2. Šroubováním seřizovací matice 4 téměř po celé délce svorníku M10 se může nastavit potřebné předpětí pružiny 3. Po nastavení předpětí přítlačné pružiny 3 se již jen malým pootočením seřizovací matice 4 nastaví potřebné překrytí přítočných otvorů v sedle ventilu 1 a ve ventilovém talíři 2. Po nastavení obou hodnot se dotahne zajišťovací matice 5 proti seřizovací matici 4. Tím je ventil nastavený a mohou proběhnout



obr.46

zkoušky. Seřízení by se provedlo současně dvěma nástrčkovými klíči. Jeden by ovládal zejišťovací matici 2 a druhý seřizovací matici 4.

Jak je z obr.46 patrno, po seřízení ventilu bude průtok kapaliny v obou směrech přes stejně veliké otvory. Z toho plyne, že i tlumení by bylo stejné při stejné průtočné rychlosti. Jelikož však ventilový talíř 2 se může nadzvednout, vznikne delší průtočný průřez po obvodu ventilového talíře 2 a plními otvory i když přesazenými. K tomu dojde, když tlaková diference mezi prostorem ohrazeným pryžokordovým tělesem 6 a nádobou pro pružící vzduch 7 překročí hodnotu nastavenou předpětím přitlačné pružiny 3. Předpětí, tak jak odpovídá obr.46 by se nechalo ještě zvětšit úmerně hodnotě 5.

6.2. Orientační výpočet hlavních rozměrů kombinovaného ventilu pro zkoušení pneumatické pružiny s přímým hydraulickým tlumením.

Zkušební pružina je odvozena od pneumatické dvouvlnovcové pružiny VD-120-4,5. Návrh kombinovaného ventilu vyšel z ventilu, který byl popsán dle obr.46.

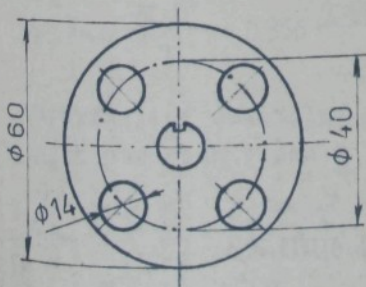
Byla zvolena střední výška $h_s = 110$ a zdvih $x = \pm 35$. Vodou byly odměřeny objemy odpovídající jednotlivým výškám pružiny:

$$\begin{array}{ll} h_{\min} = 75 \text{ mm} & V_{\min} = 430 \text{ cm}^3 \\ h_s = 110 \text{ "} & V_s = 760 \text{ "} \\ h_{\max} = 145 \text{ "} & V_{\max} = 930 \text{ "} \end{array}$$

Byly nevrženy čtyři průtočné otvory $\varnothing d_1 = 14$ umístěné na roztečné kružnici $\varnothing 40$, stejné ve ventilovém sedle i ve ventilovém talíři, které se mohou různě vzájemně překrývat a tím měnit průtočné průřezy pro tlumící kapalinu, které se zde předpokládá na bázi vody. Rozměry jsou naznačeny na obr.47.

Maximální průtočný průřez přes otvory - otvory proti sobě,

$$S_i = \frac{\pi d_1^2}{4} = \pi 14^2 = 615,4 \text{ mm}^2.$$



obr. 47

Množství proteklé kapaliny ventilem během jednoho zdvihu

$$V_1 = V_{\max} - V_{\min} = 930 - 430 = 500 \text{ cm}^3/\text{zdvih} = 5 \cdot 10^{-4} \text{ m}^3/\text{zdvih}$$

Odpovídající nosný průměr pružiny při zdvihu $X = 70$

$$D = \sqrt{\frac{4 \cdot V_1}{\pi \cdot X}} = \sqrt{\frac{4 \cdot 5 \cdot 10^{-4}}{\pi \cdot 7 \cdot 10^{-2}}} = 0,0954 \text{ m}$$

Množství kapaliny proteklé za 1 sec - předpokládaná frekvence harmonického pohybu $f = 1,667 \text{ s}^{-1}$.

$$V_2 = V_1 \cdot f = 5 \cdot 10^{-4} \cdot 1,667 = 8,34 \cdot 10^{-4} \text{ m}^3 \text{s}^{-1}$$

Tomu odpovídá průměrný přetlak v kapalině při odhadnutí průtokového součinitele $/\zeta = 0,6/$ a pro tlumičovou kapalinu na bázi vody.

$$\Delta p = \frac{V_2^2 \cdot \rho}{S_1 \cdot \zeta \cdot 2} = \frac{8,34^2 \cdot 10^8}{6,15^2 \cdot 10^3 \cdot 0,6 \cdot 2} = 2,55 \cdot 10^3 \text{ Pa} = 2,55 \text{ kPa}$$

Maximální rychlosť harmonického pohybu je při zdvihu $X = 70$ rovna

$$\dot{x}_{\max} = \pi \cdot X \cdot f = \pi \cdot 7 \cdot 10^{-2} \cdot 1,667 = 0,366 \text{ m s}^{-1}$$

Tomu odpovídá maximální proteklé množství kapaliny za vteřinu

$$V_3 = \dot{x}_{\max} \cdot \frac{\pi \cdot D^2}{4} = 0,366 \cdot \frac{\pi \cdot 95,4^2 \cdot 10^{-6}}{4} = 2,6 \cdot 10^{-3} \text{ m}^3 \text{s}^{-1}$$

Odpovídající maximální přetlak mezi dvěma prostory při plně otevřených otvorech v sedle ventilu a ve ventilem taliři

$$\Delta p_{\max} = \frac{V_3^2 \cdot \rho}{S_1 \cdot \zeta \cdot 2} = \frac{2,6^2 \cdot 10^{-6} \cdot 10^3}{6,15^2 \cdot 10^3 \cdot 0,6 \cdot 2} = 24,8 \cdot 10^3 \text{ Pa} = 24,8 \text{ kPa}$$

Menší přetlak mezi prostorem v prýžekordovém tělese a mezi prostorem s pružicím plynem nelze při daných podmírkách zajistit /zdvi, frekvence, rozměry, .../. Průtočné otvory jsou nastaveny proti sobě, viz obr.49 a jelikož jsou ve ventilevém sedle 1 stejně veliké jako ve ventilevém talíři 2, nesnížil by se přetlek ani nadzvednutím ventilevého talíře 2. Tomuto přetlaku odpovídá tlumící síla při stlačování pružiny:

$$F_{t_1} = \Delta p_{\max} \frac{\pi D}{4} = 24,8 \cdot 10^3 \frac{\pi 0,0954^2}{4} = 177,2 \text{ N} .$$

Vzhledem k tomu, že průtokový součinitel $\underline{\alpha}$ byl pouze odhadnut, je třeba brát výsledky pouze jako informativní. Skutečné hodnoty by se mohly poněkud lišit.

Každé vyšší tlumení lze dosáhnout snadno zmenšením průtočného průřezu S₁, které se dosáhne překrytím otvorů vytvořených v sedle ventilu 1 a ve ventilevém talíři 2. Jak plyne z předchozího, bude při polovičním průřezu S₁ čtyřnásobná tlumící síla, při čtvrtinovém S₁ již šesnáctinásobná. Je si však třeba uvědomit, že při tom bude také měnit svoji hodnotu průtokový součinitel $\underline{\alpha}$, který to poněkud zkreslí.

6.2.1. Řešení pojistné funkce kombinovaného ventilu.

Pojistný ventil by měl chránit prýžekordové těleso před větším rozdílem tlaků kapaliny v pevné nádobě a v něm při stlačování pružiny. Jestliže požaduji, aby pojistná funkce kombinovaného ventilu zajistila maximální přípustný přetlak mezi oběma prostory pružiny $\Delta p = 50 \text{ kPa}$, bude tomu odpovídat maximální tlumící účinek při stlačování pružiny

$$F_{t_2} = \frac{\pi D^2}{4} \Delta p = \frac{\pi 0,0954^2}{4} 50 \cdot 10^3 = 357 \text{ N} .$$

Při dosažení přetlaku $\Delta p = 50 \text{ kPa}$ se totiž nadzvedne ventilevý talíř 2 a kapalina může proudit plnými otvory ve ventilevém talíři 2 i když přesazenými proti otvorům ve ventilevém sedle 1, navíc může proudit ještě i obvodovou mezerou mezi ventilevým talířem 2 a ventilevým sedlem 1.

Ventilový talíř 2 je na spodní straně, až po $\text{Ø}D_1 = 60$ ne-
patrně odlehčen. Těsnící plocha je až nad $\text{Ø}60$. Proto síla nad-
zvedávající ventilový talíř při zvoleném přetlaku bude:

$$F_p = \left(\frac{\pi D_1^2}{4} - 4 \frac{\pi d_1^2}{4} \right) \Delta p = \left(\frac{\pi 0,06^2}{4} - \pi 0,014^2 \right) 50 \cdot 10^3 = 110 \text{ N}.$$

Na tuto sílu musí být navržena a předepjata přítlačná pru-
žina 8 stlačující ventilový talíř 2 - schema na obr.48. Jeli-

kož má přítlačná pružina 8
čtyři jazyčky, přijde na kaž-
dý síla

$$F'_p = \frac{F_p}{4} = 27,5 \text{ N}.$$

Stlačení pružiny potřeb-
né pro dosažení dané síly F_p

$$y = \frac{F'_p \cdot l^3 \cdot 12}{3E \cdot b \cdot h^3} = \frac{27,5 \cdot 18^3 \cdot 12}{3 \cdot 2,1 \cdot 10^5 \cdot 12 \cdot 0,6^3} = 1,2 \text{ mm}.$$

Obr.48

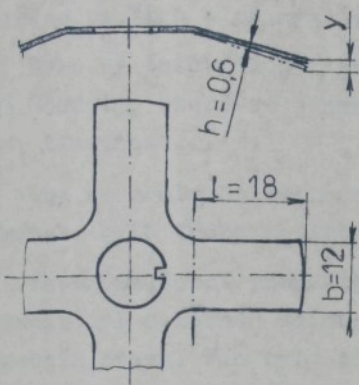
Obybové napětí v místě největšího namáhání

$$\sigma_o = \frac{M_o}{W_o} = \frac{6 \cdot F'_p \cdot l}{b \cdot h^2} = \frac{6 \cdot 27,5 \cdot 18}{12 \cdot 0,6^2} = 687 \text{ MPa}.$$

Při nadzvednutí ventilového talíře 2 tato hodnota napětí
v pružině dále vzroste.

Průtok otvory a předpětí přítlačné pružiny 8 se nechají
u tohoto kombinovaného ventili velmi jemně reguloval a tím se
vlastně nechá jemně reguloval tlumící účinek a pojist-
ná funkce. V praxi by však regulace nebyla tak snadná, neboť
by se musela provádět bez tlaku v pružině. Aby se tato regu-
lace usnadnila, byly na ventili u zkoušební pneumatické pružiny
s přímým hydraulickým tlumením provedeny některé konstrukč-
ní úpravy, jak je patrno na sestavě této pružiny obr.49.

Tento kombinovaný ventil měl sloužit pro zkoušky a proto
se navrhoval jako regulačně. Pro normální provoz pružiny
by se nechal podstatně zjednodušit.



6.3. Návrh zkušební pneumatické pružiny s přímým hydraulickým tlumením

Ve zprávě jsou popsány různé možnosti tlumení pneumatických pružin. Jde většinou o původní myšlenky, což lze dokumentovat udělenými autorskými osvědčeními. Skutečná konstrukční reačace těchto vynálezů však může být komplikována různými a často naprostě neočekávanými okolnostmi a poznatků. Aby se ověřily tyto myšlenky jako reálné, navrhl jsem zkušební pneumatickou pružinu s přímým hydraulickým tlumením.

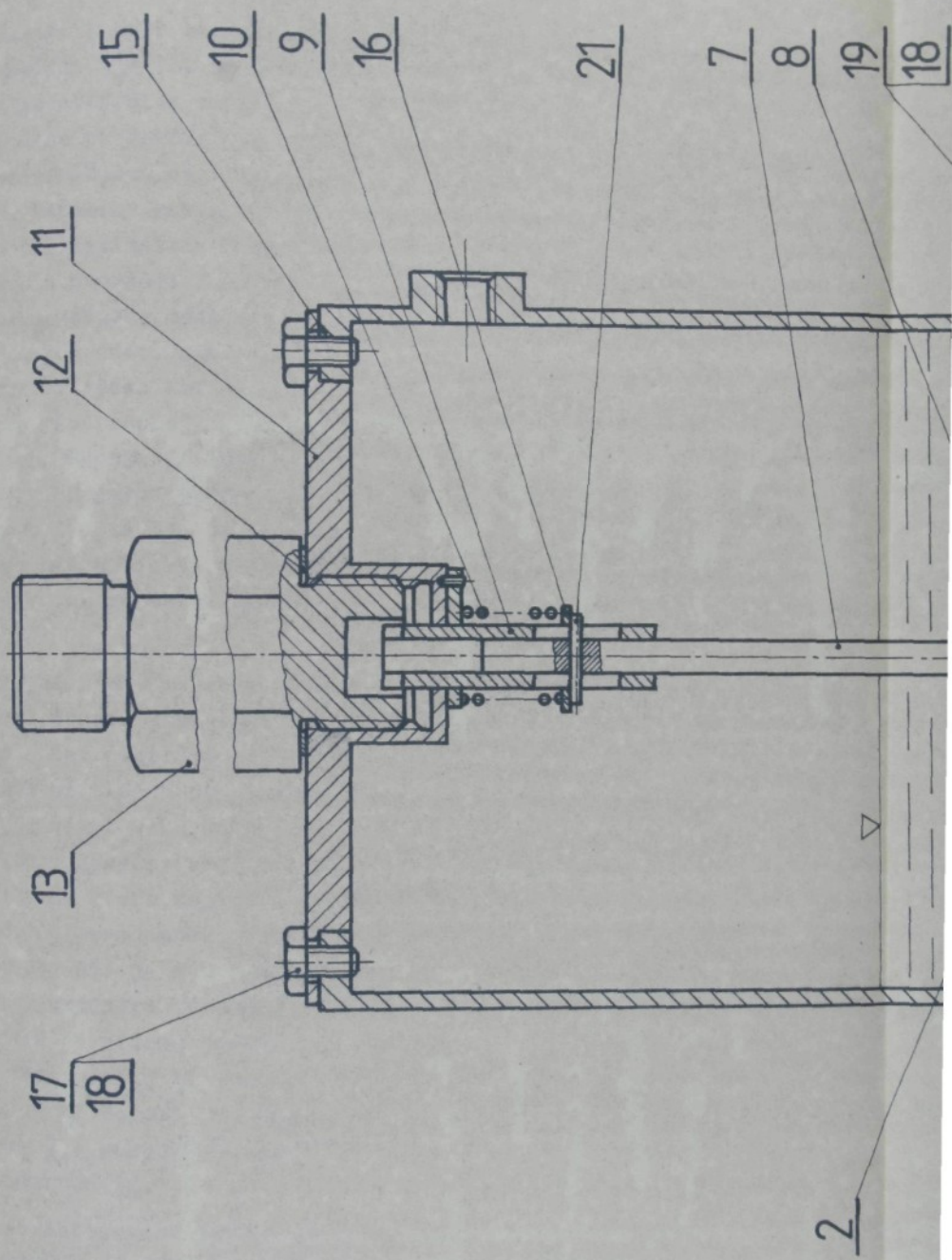
Dále by tato pneumatická pružina měla umožnit získat některé hodnoty, které se jinak získat nedají /průt.souč., zahřívání, životnost,..../.

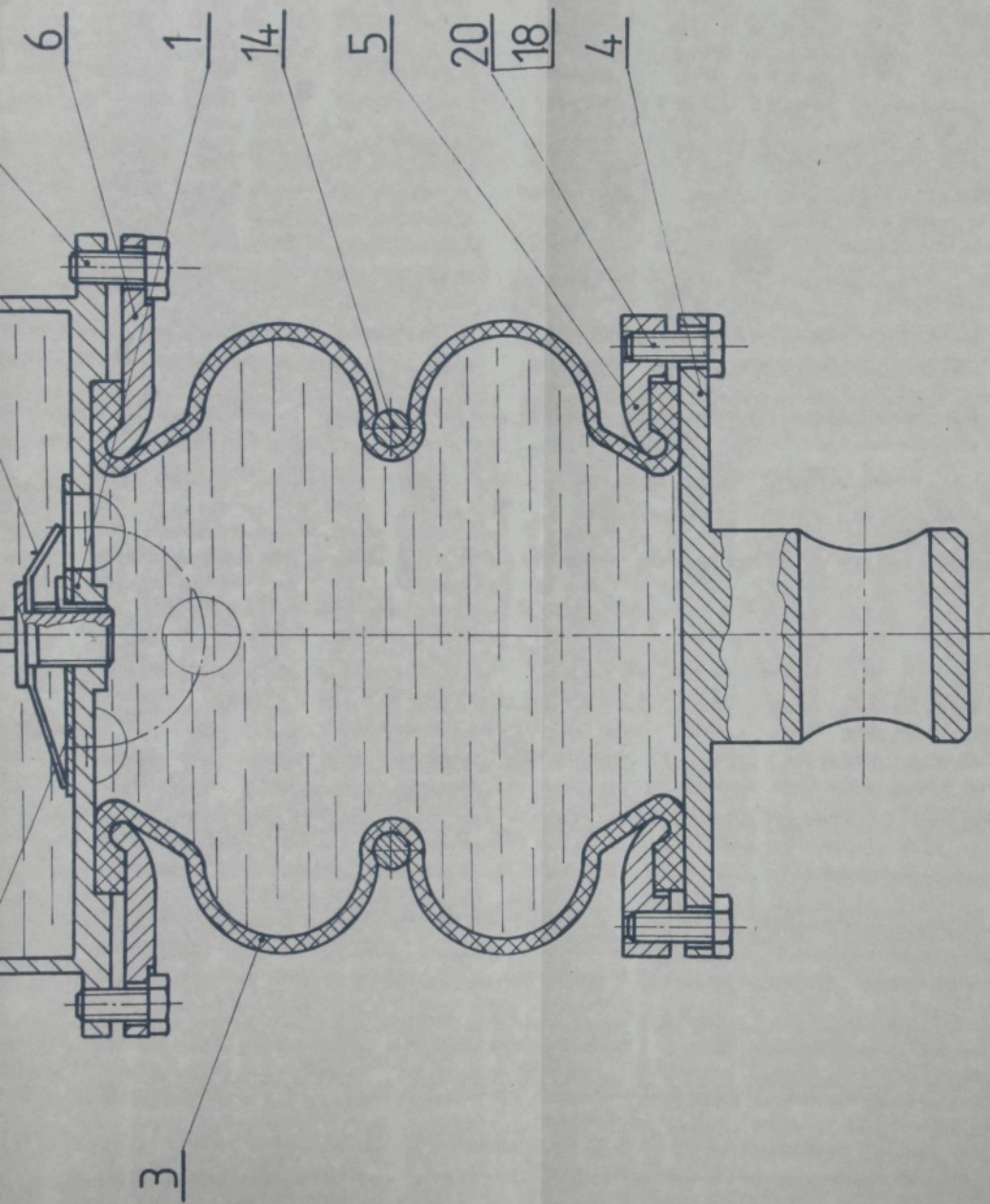
Aby se mohla dělat měření vlastností za různých provozních podmínek, bylo třeba zajistit regulaci pružiny.

Návrh zkušební pneumatické pružiny s přímým hydraulickým tlumením byl ovlivněn možnostmi jejího odzkoušení na vhodném zkušebním stavu. Tím byly omezeny jedinek maximální síly, které pružina může vyvzovat i montážní rozměry této pružiny, které by odpovídaly maximálním rozměrům, jež lze ještě spolehlivě do zkušebního stavu upnout. Zkušební stav na zkoušení tlumičů, který je na naší katedře k dispozici a který byl popsán v úvodní kapitole, se nehodil pro zkoušení této kombinované pružiny pro nedostatečné možnosti měření sil a pro dnes již zastaralé snímací zařízení a záznamovou elektroniku.

Naskytla se možnost provést odzkoušení dané pružiny na zkušebním stavu na tlumiče ve zkušebně n.p. Autobrzdy v Jablonci n/N, Gottwaldova 100. Tento zkušební stav je dostatečně pevnostně dimenován až do maximální snímané síly 20kN. Kromě toho jde o nové zařízení, osezené moderní elektronikou na současně úrovni. Zařízení navrhl a zkonztruoval Ing. František Novák, který mi také pomohl odzkoušení realizovat.

Zkušební pneumatická pružina s přímým hydraulickým tlumením je znázorněna na obr.49. Aby nebyl zkušební stav na tlumiče, na kterém se měly zkoušky provádět, zbytečně zatěžován, výšlo se z malé dvouvlnovcové pneum. pružiny 2, typ VD-120-4,5, která je navržena na síly jež jsou ještě podstatně menší než mož-





obr. 49

- 89 -

ností tohoto zkoušebního stavu. Střední výška pružiny se předpokládá $h_s = 110$ mm a zdvih $x = \pm 35$ mm. Její hoření příruba je vlastně sedlem ventilu 1 a je součástí horní svařované nádoby určené především pro pružící vzduch. Tato nádoba má podstatně větší objem než vlastní pružina. Je to nejen proto, aby hledína kapaliny mohla být poměrně vysoko nad kombinovaným ventilem i při maximálním roztažení vlnovce 3, ale také proto, aby se mohlo provádět "ladění" pružiny. To změnilo, aby objem pružicího vzduchu mohl být různě veliký vzhledem k objemu vlnovce 3. Jelikož jde o zkoušební pružinu a ne zkoušební stavu byla k dispozici výška zhruba 500mm, nabízela se možnost tutovýšku využít pro věstrannější využití zkoušební pružiny při vlastních zkouškách. Nádoba je nahoře zavřena víkem 11 pomocí šroubů 17 a utěsněna pružným těsněním 15. Do tohoto víka je zašroubována šroubová spojka 13, za kterou je zkoušební pneumatická pružina s přímým hydraulickým tlumením chycena k hornímu závěsu zkoušebního stavu na zkoušení hydraulických tlumičů.

Konstrukce kombinovaného ventilu vychází z návrhu podle obr. 46. Zde má tento ventil, jak je patrno z jeho návrhu, v předchozí kapitole, pouze 4 otvory Ø14. Má všecky vylepšené ovládání. Sestává ze sedla ventilu 1, talíře ventilu 2, ventilové přítlačné pružiny 8 a vřetena 7. Ve spodní části vřetena 7 je závit M12, který je profrézován drážkou a ve které jsou vedeny jazýčky ventilového talíře 2 a ventilové přítlačné pružiny 8, které zajistí, že se obě součásti otáčejí společně, že udržují vzájemnou polohu a že jsou otáčeny vřetenem 7. Funkce je stejná, jako u dříve popsaného ventilu obr. 46. Ovládání je všecky umožněno dlouhým tělesem vřetena 7 a jištěné západkou 9, která je vedena jednak posuvně na vřetenu 7 a jednak i posuvně v horním víku 11. Západka 9 je spojena kolíkem 21 s vřetenem 7. Kolík 21 dovolí vzájemný posuv, ne všecky vzájemné protáčení vřetena 7 a západky 9. Západka 9 je tlačena proti hornímu víku 11 pružinkou 10.

Seřizování tohoto kombinovaného ventilu se provádí po výšroubování šroubové spojky 13. Šroubovák se nesadí do zázezu v horní části západky 9, zatlačením se překoná síla pružiny 10 a kolíček západky se uvolní z otvoru. Potom jde již tímto šroubovákem volně otáčet západkou 9, pružinou 10, vřetenem 7 a tedy i ventilovým talířem a ventilovou přítlačnou pružinou 8. Něko-

likerým otočením se nastaví vhodné předpětí ventílové pružiny 8, což zajistí pojistnou funkci kombinovaného ventilu. Dalším pomalým otáčením, při sledování počtu otvorů do kterých západka 9 sklouzne, se nastaví vhodné překrytí průtokových otvorů v sedle ventilu 1 a ve ventílovém talíři 2. Po vyjmutí šroubováku ze zářezu západky 9, tato pod účinkem síly pružiny 10 zapadne svým kolíčkem do otvoru ve víku 11 a spolehlivě zajistí polohu a seřízení kombinovaného škrticího a pojistného ventilu.

Pryžokordový dvouvlnovec 3 je přichycen k hornímu víku (sedlu ventilu) 1 příchytkou 6 a šrouby 19, k dolnímu víku 4 pak příchytkou 5 a šrouby 20. Dolní víko 4 je upraveno, aby mohla sloužit současně jako upínací prvek do spodního závěsu zkušebního stavu. Je k němu přivařeno závěsné oko.

6.4. Zkoušky prováděné na zkušební pneumatické pružině s přímým hydraulickým tlumením.

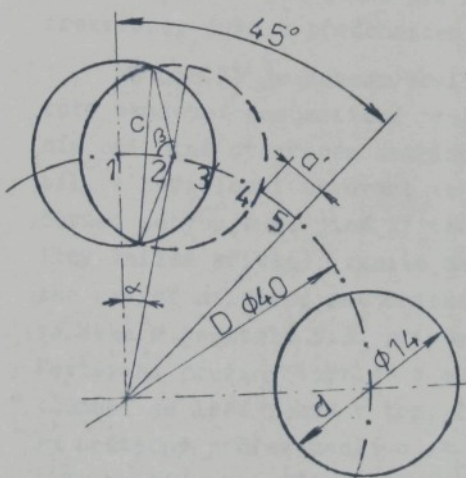
Zkoušky byly prováděny na stejném zkušebním stavu pro zkoušení hydraulických tlumičů v n.p. Autobrždy, jako v případě pneumatické pružiny s vlastním tlumením (viz kapitolu 5.5). Použilo se i stejné měřící a záznamové přístrojové techniky s tím rozdílem, že se zde neměřil a nezaznamenával tlak vzduchu v pružině, neboť zde je pouze jeden, celkový objem vzduchu, který má charakter proměnlivého objemu z předchozích pneumatických pružin s vlastním tlumením. Na okamžitém tlaku v něm závisí vlastnosti (charakteristiky) této pružiny i když na dvojvlnovec působí tlak vzduchu zprostředkován přes kapalinu. Tento přenos je však věrný, neboť stlačitelnost kapaliny se zde může zanedbat. Jelikož zkouška probíhala krátkodobě, použil jsem jako kapalinu obyčejnou vodu. Nebylo zde žádné nebezpečí mrazů ani koroze. Množství plněné vody bylo předem spočítáno tak, aby zbylý vzduchový objem v pružině byl stejný jako objem celého pryžokordového dvojvlnovce. Tím se zjistilo, že základní charakteristiky, ovlivněné měnícím se tvarom dvojvlnovce při stlačování a roztehování pružiny, se věrně kapalou přenesly a pružící objem vzduchu v horní části pružiny je i vykazoval.

Při střední poloze pružiny se opět provádělo plnění vzduchem,

přičemž se nastavil počáteční střední tlak vzduchu v pružině 300kPa. Před napouštěním vzduchu se musel nastavit zvolený průtočný průřez na kombinovaném ventilu, který měl zajistit škrčení průtoku kapaliny a tedy i tlumení pružiny.

Západka 2 umožňovala nastavít pět různých poloh ventilového talíře 2 proti ventilovému sedlu 1. Přitom prvá poloha byla určena pro plné otevření kombinovaného ventili a pátá poloha nastavovala uzavření kombinovaného ventili, to znamená úplné překrytí otvorů v sedle ventili ventilovým talířem.

Při vyjádření průtočných průřezů pro jednotlivé polohy západky 2 je třeba vycházet z obr.50, na kterém je schematicky i s rozměry naznačen náčrt ventilového talíře i s otvory, jeho části se dvěma otvory a jeden otvor patřící ventilovému sedlu. Čísla 1 + 5 udávají jednotlivé polohy nastavení kombinovaného ventili. Celý rozsah odpovídá poctočení o 45° . Obr.50 naznačuje nastavení kombinovaného vrntiliu v poloze 2.



Obr.50.

Vzdálenost mezi dvěma sousedními polohami

$$a' = \frac{\pi D \alpha}{360} = \frac{\pi 40 \cdot 45}{360 \cdot 4} = 3,9$$

Velikost úhlu

$$\cos \beta = \frac{a'}{d}$$

Velikost úsečky c

$$c = a' \cdot \operatorname{tg} \beta = \sqrt{d^2 - a'^2}$$

Vyjádření plochy průtočných otvorů (4ks) kombinovaného ventiliu.

$$S_i = 4 \left(\frac{\pi d^2 \operatorname{arccos} \frac{a'}{d}}{360} = \frac{\pi \sqrt{d^2 - a'^2}}{2} \right)$$

Tento vzťah byl odvozen pro polohu "2" ventilového talíře. Je třeba si uvědomit, že vzdálenost s' je pouze pro tuto polohu, jinde to jsou násobky s' . Proto je do výrazu zavedena proměnná s_1 .

$$S_f = \frac{4}{360} \left(\frac{d^2 \arccos \frac{s_1}{d}}{s_1} - \frac{s_1 \sqrt{d^2 - s_1^2}}{2} \right)$$

kde $s'_k = (k-1) s'$ $k = 1, 2, \dots, 5$

V následující tabulce jsou hodnoty průtočných průřezů kombinovaného ventiliu pro jeho jednotlivé polohy.

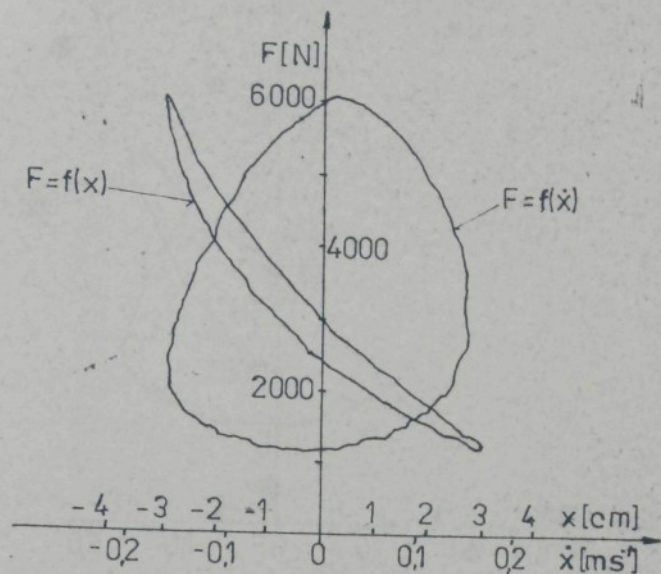
Poloha komb. ventiliu:	1	2	3	4	5
Průtočný průřez S_f [cm ²]	6,15	4,0	2,02	0,48	0

Tab.1

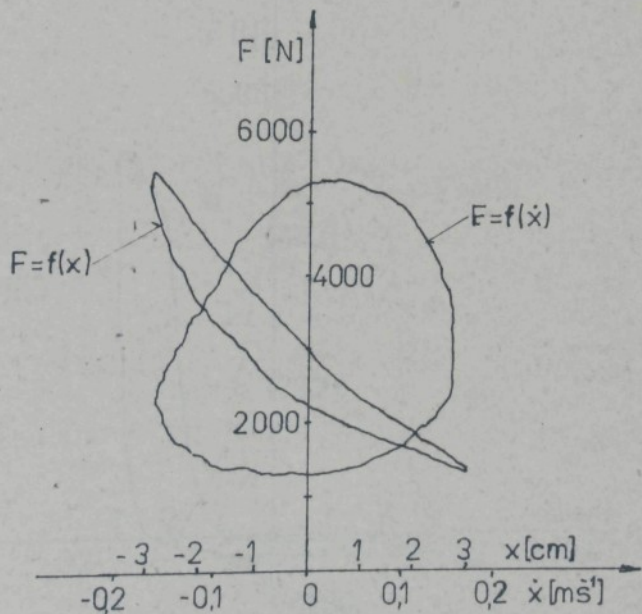
Měření se prováděla při frekvenci $f = 1,667 \text{ s}^{-1}$, poloviční frekvencie, jako u předchozích měření, se nepoužívala.

Na obr.51 je záznam zdvihofé a rychlostní charakteristiky této zkušební pneumatické pružiny s přímým hydraulickým tlumením při plné otevřeném kombinovaném ventiliu. Jelikož se záznam síly v závislosti na dráze (zdvihofé charakteristika) při stlačování pohybuje po jiné křivce (vyšší), než při roztažování pružiny (nižší křivka), vzniké mezi oběma křivkami hysteresní plocha úměrná utlumené mechanické energii. Na tento záznam byla odvolávána v kapitole 5.5. při hodnocení charakteristiky na obr.37. Nestavení pružiny (obr.37 a obr.51), je pokud jde o hydraulické tlumení se liší pouze v tom, že hydraulické tlumení dle obr.51 má průtočný průřez menší o otvor M12. Záznam zdvihofé charakteristiky by tedy měl mít větší hysteresní plochu, což není pravda. Důvod byl vysvětlen v kapitole 5.5.

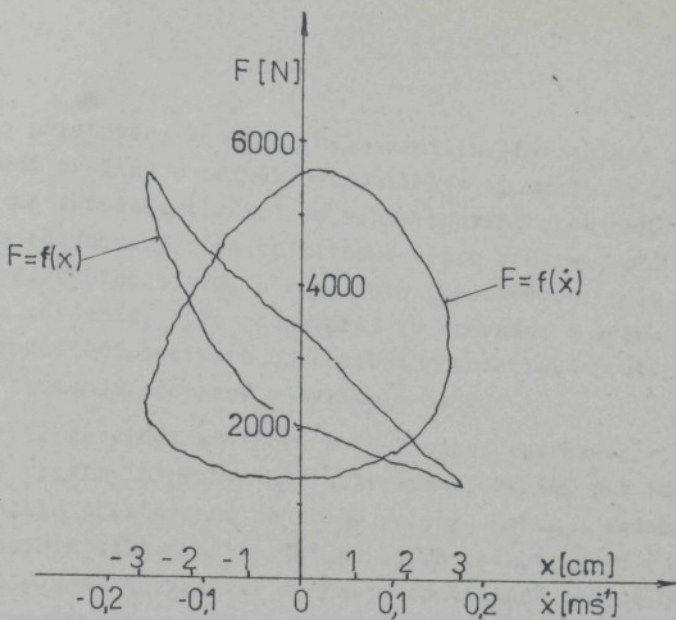
Při každém přestavování kombinovaného ventiliu se ze zkušební pneumatické pružiny s přímým hydraulickým tlumením musel vypustit vzduch, pružina se musela uvolnit ze zkušebního stavu a po vyšroubování šroubové spojky l2 byl již přístup k západce.



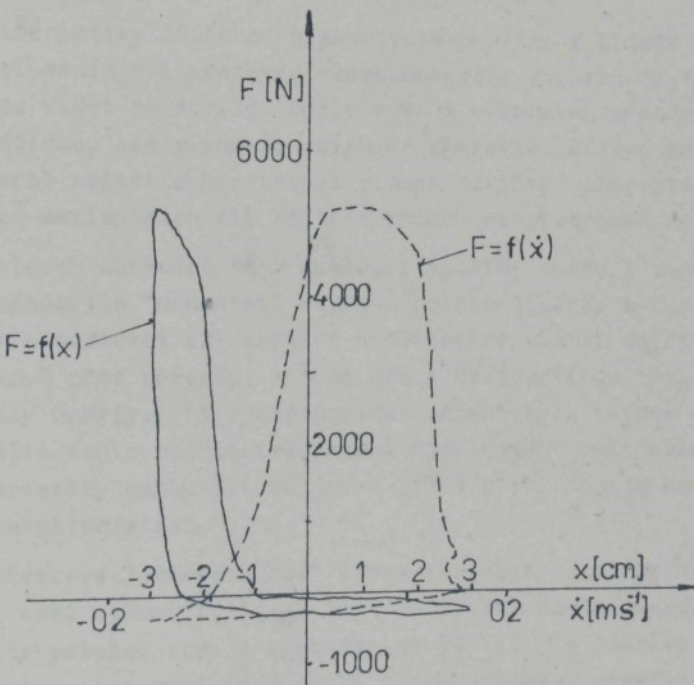
obr. 51



obr. 52



obr. 53



obr. 54

Následovalo přestavení kombinovaného ventilu. Po opětném upevnění zkušební pružiny s přímým hydraulickým tlumením do zkušebního stavu na zkoušení tlumičů se mohla pružina opět nesplnit vzduchem na požadovaný tlak ve střední výšce pružiny, při střední poloze zkušebního stavu. I když toto přestavování bylo značným časovým zdržením, bylo jednodušší ve srovnání s výměnou velikosti přepouštěcího otvoru u zkušební pneumatické pružiny s vlastním tlumením, popsané v kapitole 5.5.

Na obr.52 je vidět zdvihofáze rychlostní charakteristika pneumatické pružiny s přímým hydraulickým tlumením, při kombinovaném ventili přestaveném do cruhé polohy. Zatím z neznámých důvodů nečosáhla síla pružiny tak velikých hodnot, jako v prvném případě - snad neuvedoval manometr dostatečně přesně nepouštěný tlak vzduchu ve střední poloze. Ze zdvihofáze charakteristiky pružiny však plyne jednoznačné zvýšení tlumičního účinku při zmenšení průtočného průřezu v kombinovaném ventili.

Charakteristiky zkušební pneumatické pružiny s přímým hydraulickým tlumením, při nastavení kombinovaného ventilu do třetí polohy, jsou vidět na obr.53. Došlo opět k výraznému zvětšení tlumičního účinku, což plyne ze zdvihofáze charakteristiky, kde se opět značně zvětšila hysterická plocha zdvihofáze charakteristiky. Úroveň maximálních sil zůstala zhruba na předchozí úrovni.

Při dalších měřeních této zkušební pružiny došlo k tomu, že se mi nepodařilo "nehmatat" čtvrtou polohu zápedky a tím se mi nepodařilo nastavit ani škrticí kombinovaný ventil do čtvrté polohy. I když před měřením, ani po něm s nastavováním této polohy problémy nebyly. Při vyhodnocování měření bylo teprve možno plně zvážit tento nedostatek, neboť obzvláště v této oblasti by charakteristiky mohly být zajímavé již s přihlédnutím na následující charakteristiku.

Zcela tvarové "nenevazující" charakteristiky jsou na obr.54. Je třeba si však uvědomit, že je to pátá poloha kombinovaného ventilu, tedy poloha, kdy je kombinovaný ventil již uzavřen. Jeho těsnost při stlačování, pro větší tlakové spády, neexistuje, neboť škrticí ventil má také pojistnou funkci. Při zpětném chodu, t.j. při roztažování prožiny, je však škrticí ventil uzav-

řen i když jistá netěsnost tam bude, neboť má malé překrytí otvorů Ø14 v místě roztečné kružnice. Aby se obě charakteristiky daly lépe rozetznat, použil jsem zde pro rychlostní charakteristiku čárkovánou čáru, což bylo obzvláště nutné pro sledování záporných hodnot u síly pro obě charakteristiky.

Co způsobilo takovou změnu charakteristik? Je třeba si uvědomit, že zkušební stav na tlumiče může sice plynule měnit frekvenci kmití, má však dostatečný výkonný hnací motor, aby nestavenou frekvencí udržel. Zkušební pneumatické pružina s přímým hydraulickým tlumením mále již zpětné proudění přes kombinovaný ventil, při roztažování pružiny, velmi malé (pouze jako netěsnost). Dvojvlnovec zkušební pružiny zvětšoval svůj objem rychleji, než mohl přetlak vzduchu nad hladinou vrcet do něho kapalinu. To způsobilo, že se z pružiny stalo čerpadlo. Ani to však nestačilo kapalinu doplnit a proto se dvojvlnovec začal bortit dovnitř. Při zpětném chodu se tato zborcená místa musela nejdříve vrátit a proto i tam zůstala síla záporná.

Kdyby nešlo o kmity pevně definované zkušebním stavem na tlumiče, ale o kmity, které by odpovídaly hodnotám kmitející soustavy vyvolané pouze vnějším impulsem, způsobilo by takovéto nestejně tlumení v obou směrech i časově nesouměrný kmit. To znamená stlačení, vzhledem k pojistné funkci kombinovaného ventilu, by proběhlo vcelku normálně, ale roztažování zkušební pružiny s přímým hydraulickým tlumením by trvalo podstatně déle, neboť by se kapalina doplňovala do dvojvlnovce přetlakem vzduchu nad hladinou a průtokem přes nedokonale těsnící kombinovaný ventil. K promáčknutí dvojvlnovce by nemohlo dojít.

6.5. Zhodnocení měření na zkušební pružině pneumatické s přímým hydraulickým tlumením

Toto měření potvrdilo reálnost použití takového způsobu tlumení u pneumatických pružin. Na záznamech je vidět, že tlumení se nechá dosáhnout dostatečně intensivní. Ve směru stlačování je sice omezeno pevností pryžokordového prvku na pružině. Ve směru roztažování nemá intensita tlumení žádné omezení, mohlo by tam dojít třeba i k zastavení harmonického pohybu, kdyby

si to situace vyžádala.

Západka, která zajišťovala nastavenou polohu kombinovaného ventílu měla na protikuse rovnoměrné dělení. Proto i přestavování tohoto ventílu bylo rovnoměrné. To byl jistý nedostatek, neboť by bylo zajímavé, kdyby řešel tento kombinovaný ventil jemněji regulovat v oblasti malých průtočných průřezů, neboť to by bylo zřejmě pracovní oblast takového pružiny v normálním provozu při praktickém použití.

Zkoušky probíhaly vcelku bez problémů díky tomu, že zkušební stav na kterém se měření prováděla, jakož i měřící technika byly v bezvadném stavu. Potíže, které se na počátku vyskytly byly způsobeny neúplnou těsností zkušební pneumatické pružiny s přímým hydraulickým tlumením. Po odstranění této závady se již žádné problémy nevyskytly.

Měření se poněkud zdržovala obtížnějším přestavováním kombinovaného ventílu mezi jednotlivými měřeními. Postup byl popsán v předchozí kapitole. Při návrhu této zkušební pružiny mě však jiné konstrukční provedení nenapadlo, hlavně proto, že jsem chtěl mít zajištěnou dokonalou těsnost pružiny při zkouškách.

Ve zkušební pružině s přímým hydraulickým tlumením lze měnit v různém poměru objem pružící /vzduchový/ a objem vyplňený kapalinou. Tím by se měnily i pracovní charakteristiky - provádělo by se "ladění", jak již bylo vysvětleno dříve v kapitole 6.0. a znázorněno na obr.45. Tento způsob změny charakteristik se však do programu zkoušek, pro nedostatek času, nezahrnul, neboť mi šlo hlavně o ověření tlumící schopnosti této pružiny.

Těmto zkouškám byla vnučena frekvence měření a amplituda zkušebního stavu na tlumiče. Zajímavé by byly jistě i doběhové zkoušky kmitající soustavy opatřené touto zkušební pružinou s přímým hydraulickým tlumením. Přitom by se měnila amplituda i tvar kmitu, pokud by by intenzita tlumení byla výrazně rozdílná v obou směrech pohybu. Nemohlo by tam ani dojít k temu "čerpadlovému" úkazu, který se projevil na charakteristikách podle obr.54.

6.6. Dynamický rozbor dějů v pneumatické pružině s přímým hydraulickým tlumením

Zatím jsem se zajímal pouze o velikost tlumící síly v závislosti na rychlosti stlačování pružiny. Vypočtená tlumící síla při plně otevřených otvorech je však ještě podstatně menší než ta, kterou lze odměřit na záznámách. To by se nechalo vysvětlit tím, že nejsou známy podmínky proudění zahrnuté v průtokovém součiniteli μ , který je pouze odhadnut. Když se však podíváme na kteroukoliv zdvihofovou charakteristiku, je z ní vidět, že hysterese /tlumení/ se projevuje ihned na počátku a také na konci zdvihu, to znamená v místě, kde je nulová rychlosť harmonického pohybu, ale maximální hodnota zrychlení harmonického pohybu. Zdá se tedy, že hysteréza zdvihofové charakteristiky, úmerná tlumení pneumatické pružiny s přímým hydraulickým tlumením musí mít svůj původ i ve zrychlení harmonického pohybu.

Z obr.22 a obr.23 je patrno, že zrychlení harmonického pohybu

$$\ddot{x} = -r\omega^2 \sin \omega t .$$

Má-li se posuzovat vliv zrychlení na zdvihofovou charakteristiku zkušební pneumatické pružiny s přímým hydraulickým tlumením, je třeba se při stlačování zaměřit na zrychlení \ddot{x} v intervalu $\frac{3}{2}\pi$ až $\frac{5}{2}\pi$, při expanzi pak na interval $\frac{\pi}{2}$ až $\frac{3}{2}\pi$.

Maximální hodnota zrychlení spodní příruby pneumatické pružiny na začátku stlačování s při zanedbání konečné délky ojnice

$$\ddot{x}_{max} = r\omega^2 = r \left(\frac{\pi D}{30} \right)^2 = 0,03 \left(\frac{\pi 100}{30} \right)^2 = 3,28 \text{ m s}^{-2} .$$

Náplň kapaliny ve zkušební pružině je přibližně 1,4 litru vody. Pokud by na celé toto množství kapaliny působilo vypočtené zrychlení \ddot{x}_{max} , působila by směrem dolů, na spodní přírubu síla

$$\Delta F_{max} = m(\ddot{x}_{max} - g) = 1,4(3,28 + 9,81) = 18,33 \text{ N} .$$

Je to síla nepatrná, která navíc působí na spodní přírubu a přes ni na hnací mechanismus - tedy nepůsobí na siloměr, který je přichycen ke druhé straně zkušební pneumatické pružiny s přímým hydraulickým tlumením. Je si však třeba uvědomit, že účinkem zrychlení kapaliny, naroste v ní i hydraulický tlak, který u spodní příruby bude mít hodnotu

$$\Delta p_{max} = \frac{\Delta F_{max}}{S} = \frac{m(\ddot{x}_{max}-g)}{S} = \frac{Shg(\ddot{x}_{max}-g)}{S}$$

$$\Delta p_{max} = \frac{0,16 \cdot 10^3 \cdot 13,09}{1} = 2094,4 \text{ Pa}$$

Jde o tlak velmi malý a navíc působí jen u spodní příruby pružiny. V ostatních případech bude menší. Nelze však opominout, že tlak způsobený dynamickým účinkem kapaliny se vlastně přičítá k tlaku, který se do kapaliny přenese ze stlačeného pružícího vzduchu a zvýší se tím síla, kterou pružina vyvozuje.

Jiná situace nastane ve skutečné zkušební pneumatické pružině dle obr.49 na začátku stlačování. Zde nebude mít celý sloupec kapaliny h stejné zrychlení \ddot{x}_{max} . V místech čtyř škrticích otvorů bude zrychlení kapaliny jiné než zrychlení spodní příruby. Pokud by se předpokládala tuhost dvouvlnovce ve směru radiálnímu jako dokonále, pak by muselo být zrychlení kapaliny v místech zúženého průtoku větší, přímo úměrné poměru efektivní plochy dvouvlnovce S a čtyřech škrticích otvorů S_1 . Předpokládá se plné otevření škrticích otvorů:

$$S_1 = 6,15 \text{ cm}^2, \quad S = 71,44 \text{ cm}^2.$$

Předpokládaný průtokový součinitel μ = 0,6, použitý již v předchozích výpočtech, dále zhorší průtokové poměry, S_1 se změní na S'_1

$$S'_1 = \mu S_1 = 0,6 \cdot 6,15 = 3,7 \text{ cm}^2.$$

Poměr průtokových ploch

$$i = \frac{S}{S'_1} = \frac{71,44}{3,7} = 19,3$$

Jestliže se při začátku zdvihu, kdy je zrychlení spodní příruby pružiny rovno \ddot{x}_{\max} vezme v úvahu, že pohyb prakticky ještě nenestal, nelze přeupokládat ani změnu efektivní plochy S . Pak by platilo, že zrychlení kapaliny v pružině způsobené spodní přírubou pružiny \ddot{x}_{\max} by se zvětšilo ve čtyřech škrticích otvorech na zrychlení $\ddot{x}_{l \max}$ nepřímo úměrně průtočným plochám S a S_l . Zákon kontinuity platí i pro zrychlení

$$\ddot{x}_{l \max} = \ddot{x}_{\max} \cdot i = 3,28 \cdot 19,3 = 63,3 \text{ m s}^{-2} .$$

Jelikož nad škrticími otvory je ještě zhruba výška kapaliny $h_1 = 50$, musí se tomuto sloupci kapaliny udělit zrychlení $\ddot{x}_{l \max}$, avšak působí na něj i zemská gravitace g . Tomuto zrychlení odpovídá tlak v kapalině v místě škrticích otvorů

$$\Delta p_{l \max} = \rho h_1 (\ddot{x}_{l \max} - g) = 10^3 \cdot 0,05 (63,3 + 9,81) = 4155,5 \text{ Pa} .$$

Jelikož tlak v kapalině se šíří všemi směry, lze tento tlak brát jako základní dynamický tlak kapaliny ve dvouvlnovci. K němu se bude ještě přičítat nárust tlaku od zrychlení \ddot{x}_{\max} a zemské gravitace g . Tento nárust tlaku je vzat jen do středu dvouvlnovce $h_2 = 72$, neboť mi jde o střední tlak v tomto dvouvlnovci

$$\Delta p_{z \max} = \Delta p_{l \max} + \rho h_2 (\ddot{x}_{\max} - g) = 4155,5 + 10^3 \cdot 0,072 (3,28 + 9,81)$$

$$\Delta p_{z \max} = 4155,5 + 72 \cdot 13,09 = 5098 \text{ Pa} .$$

Od tohoto přetlaku vznikne ve dvouvlnovci síla, kterou siloměr zachytí a jejíž velikost se rovná

$$F_{l \max} = S \cdot \Delta p_{z \max} = 0,007144 \cdot 5098 = 36,4 \text{ N} .$$

Tato dynamická síla je označená jako maximální, neboť vzniká na začátku zdvihu, kdy je maximální zrychlení. Ve skutečnosti bude tlak v tomto okamžiku od zrychlení na dvouvlnovci v rozmezí od $\Delta p_1 \max$ pod škrtícími otvory, přes $\Delta p_2 \ max$ uprostřed dvouvlnovce až po tlak u spodní příruby dvouvlnovce.

$$\Delta p_{3\max} = \Delta p_{1\max} + \rho h_3 (\ddot{x}_{\max} - g) = 4155,5 + 10^3 \cdot 0,145 \cdot 13,09$$

$$\Delta p_{3\max} = 6053,5 \text{ Pa}$$

Vzhledem k tomu, že ve dvouvlnovci není všude stejný přetlak, nebude se tsnto dvouvlnovec deformovat zcela rovnoměrně. Největší deformace bude v místě nejmenšího přetlaku, t.j. v jeho horní části. Vzhledem k tomu, že jistou sílu při stlačování dvouvlnovce vyvozuje i vlastní deformace jeho pryžokordového materiálu a zatím se to nebral v úvahu, byl při výpočtu $F_1 \ max$ použit přetlak z prostředka dvouvlnovce $\Delta p_2 \ max$.

Jak je vidět z výpočtu, vliv zrychlení kapaliny na změnu síly při stlačování a roztažování zkušební pneumatické pružiny s přímým hydraulickým tlumením je menší, než vliv rychlosti proudu kapaliny přes čtyři škrtící otvory v pružině. Je si třeba uvědomit, že výpočet obou těchto vlivů byl orientačně proveden pro plně otevřené škrtící otvory. S jejich postupným uzavíráním by se poměry začaly velmi výrazně měnit, jak již bylo dříve poznámenáno - s druhou mocninou průtočného průřezu.

Z dynamického rozboru je vidět, že vnitřní přetlak pružiny od zrychlení kapaliny vzroste ze dvou důvodů. Jednak je to přímé působení zrychlení spodní příruby zkušební pneumatické pružiny s přímým hydraulickým tlumením na objem kapaliny ve dvouvlnovci a dále je to vliv nárstu zrychlení kapaliny ve škrtících otvorech. Tento druhý vliv je oproti prvému podstatně výraznější a navíc regulačně změnou velikosti škrtících otvorů. Velikost obou vlivů na nárust vnitřního přetlaku v kapalině je přímo úměrný velikosti zrychlení spočívající příruby zkušební pružiny. To způsobuje, že tento navržené tlumení má jisté samoregulační

vlastnosti - čím větší bude zrychlení písobící při stlačování na spodní příruba, tím "tužší" bude dvouvlnovec a tím větší silou bude písobit pružina proti tomuto zrychlení. Je si však třeba uvědomit, že tohoto účinku lze využít jenžo přetlaku mezi oběma prostory, který jistí ventil /pojištění proti poškození dvouvlnovce/.

Tento samoregulační účinek tlumení je přímo úměrný, jak je ze vztehů vidět, výše kapalinového sloupce h /dáno konstrukcí/ a hustotě kapaliny ρ . Zde bylo použito vody. Nejsou mi však známé kapaliny s výrazně větší hustotou, které by se zde daly použít. Rtuť, která má sice vysokou hustotu, nepřichází pro svou cenu v úvahu.

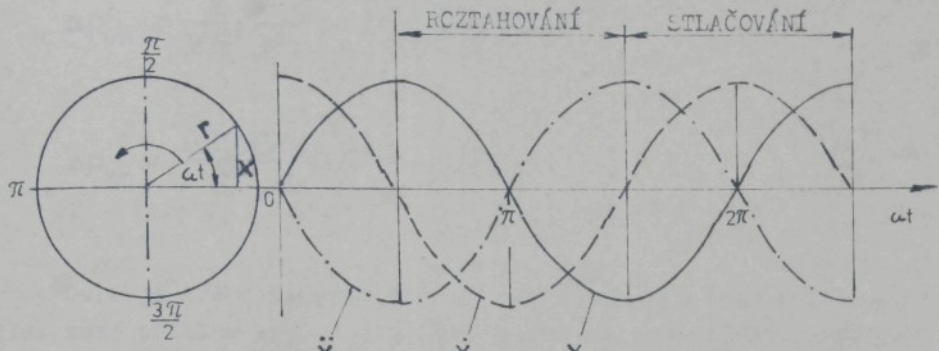
Tyto dynamické rozbory, které byly provedeny, platily pro počátek stlačování pneumatické pružiny s přímým hydraulickým tlumením.

6.7. Celkový tlumící účinek zkušební pneumatické pružiny s přímým hydraulickým tlumením.

V kapitole 6.2., při návrhu regulačního ventilu, se orientačně zjišťoval přetlak mezi prostorem pryžokordového dvouvlnovce a prostorem s pružícím vzduchem, potřebný ne "protlačení" daného vteřinového množství kapaliny při maximální rychlosti harmonického pohybu. V kapitole 6.6. se zjišťoval nárust tlaku, který nastane v pryžokordovém dvouvlnovci v důsledku maximálního zrychlení \ddot{x} , písobícího na spodní příruba zkušební pružiny.

Maximální rychlosť harmonického pohybu je v okamžiku, kdy je nulové zrychlení tohoto pohybu a naopak. To znamená, že tyto jevy nenastávají současně. Přitom si je však třeba uvědomit, že v jiných okamžicích harmonického pohybu, kdy již nejde o maximální hodnoty rychlosti a zrychlení, písobí oba tyto vlivy současně a tedy se jejich účinky budou vzájemně ovlivňovat, tím budou oba současně určovat i velikost tlumení této pružiny. Proto je třeba sledovat oba tyto vlivy určující velikost tlumení během celého jednoho cyklu /2/.

Na obr.55 je znázorněn průběh dráhy x , rychlosti \dot{x} a zrychlení \ddot{x} harmonického pohybu. Stlačování pružiny odpovídá úsek



obr.55

$$\frac{3\pi}{2} \div \frac{5\pi}{2}, \text{ roztažování pružiny pek úsek } \frac{\pi}{2} \div \frac{3\pi}{2};$$

Pokud jde o vliv rychlosti harmonického pohybu na velikost tlumení, lze ho vyjádřit s odvoláním na kapitolu 6.2. a po dosazení výrazu pro okamžitou rychlosť \dot{x} následovně.

Vteřinové množství proteklé kapaliny

$$V = \dot{x} \frac{\pi D^2}{4} = r \omega \cos \omega t \frac{\pi D^2}{4} = r \frac{\pi n}{30} \frac{\pi D^2}{4} \cos \omega t$$

$$V = 0,00224 \cos \omega t \quad [\text{m}^3 \text{s}^{-1}] .$$

/224

V kapitole 6.2., při předběžném výpočtu regulačního ventilu, se uvažovalo se zdvihem pružiny $x_{\max} = 2r = 70$. Při měření se z důvodu ohrožení pevnosti pryžokordového dvouvlnovce přešlo na poloměr klyky $r = 30$. Vztah pro vteřinové množství kapaliny V respektuje i známénko. To znamená, že kladné rychlosťi \dot{x} bude odpovídat i kladné vteřinové proteklé množství kapaliny V .

Vzniklý tlakový rozdíl ΔP_{kin} odpovídající proteklému vteřinovému množství V s odvoláním na kapitolu 6.2. je vyjádřen v následujícím vztahu. Jelikož tento tlakový spad odpovídá jisté výtokové rychlosći kapaliny v pružině, byl označen jako kinetický.

$$\Delta p_{kin} = \frac{V^2 \varphi}{2 S_1^2 \mu^2} = \frac{0,00224^2 \cos^2 \omega t \cdot 10^3}{2 S_1^2 \mu^2}$$

$$\Delta p_{kin} = \frac{0,0025 \cos^2 \omega t}{S_1^2 \cdot \mu^2} \quad [Pa]$$

/23↓

Dále je třeba konstatovat, že při stlačování zkušební pružiny musí přítlač Δp_{kin} v pryžokordovém vlnovci oproti pružícímu vzduchu nad hladinou být kladný, neboť kapalina proudí z pryžokordového dvouvlnovce do ocelové nádoby. Při roztažování zkušební pružiny se směr proudění obrátí, proto bude přetlač Δp_{kin} v pryžokordovém dvouvlnovci záporný. Samotný předchozí výraz to nevyjadřuje, neboť $\cos^2 \omega t$ záporných hodnot nenesbývá.

Vliv zrychlení spodní příruby zkušební pružiny na hysterese zdviarové charakteristiky této pružiny, která je přímo úměrná tlumení, lze podle kapitoly 6.6. vyjádřit vztahem

$$\Delta p_{dyn} = \rho h_1 (\ddot{x}_1 - g) + \rho h_2 (\ddot{x} - g), \quad [Pa] \quad g \approx 10 \text{ m s}^{-2}$$

při čemž h_1 je výška kapaliny nad škrticími otvory

$$h_1 = 0,072 + r \sin \omega t = 0,072 + 0,022 \sin \omega t. \quad /25\downarrow$$

Zrychlení kapaliny ve škrticích otvorech \ddot{x}_1 bude

$$\ddot{x}_1 = - \frac{S}{S_1 \mu} r \omega^2 \sin \omega t. \quad /26\downarrow$$

Výška vodního sloupce v pryžokordovém dvouvlnovci h_2 započtená do výpočtu středního tlaku

$$h_2 = 0,042 - r \sin \omega t = 0,042 - 0,015 \sin \omega t. \quad /27\downarrow$$

Vztahy pro výšku hladiny uvnitř kovové nádoby h_1 a stev pro střední výšku hladiny uvnitř pryžového dvojúlnovce h_2 byly odvozeny ze skutečných středních a krajních výšek hladin při odpovídající náplni zkoušební pružiny. Zrychlení spodní příruby je \ddot{x} .

Po dosazení

$$\begin{aligned}\Delta P_{dyn} &= \rho(0,072 + 0,022 \sin \omega t) \left[\left(-\frac{S}{S_1 \mu} r \ddot{\alpha} \sin \omega t \right) - g \right] + \\ &+ \rho(0,042 - 0,015 \sin \omega t) \left[\left(-r \ddot{\alpha} \sin \omega t \right) - g \right] = \\ &= (72 + 22 \sin \omega t) \left(-\frac{234,2 \cdot 10^4}{S_1 \mu} \sin \omega t + 10 \right) + \\ &+ (42 - 15 \sin \omega t) (-3,29 \sin \omega t + 10) = \\ &= 720 - \frac{1,686}{S_1 \mu} \sin \omega t + 220 \sin \omega t - \frac{0,5152}{S_1 \mu} \sin^2 \omega t + \\ &+ 420 - 138,2 \sin \omega t - 150 \sin \omega t + 49,35 \sin^2 \omega t \\ \Delta P_{dyn} &= 1140 - 68,2 \sin \omega t - \frac{1,686}{S_1 \mu} \sin \omega t + 49,35 \sin^2 \omega t - \\ &- \frac{0,515}{S_1 \mu} \sin^2 \omega t\end{aligned}$$

$$\Delta P_{dyn} = 1140 - \sin \omega t \left(68,2 + \frac{1,686}{S_1 \mu} \right) + \sin^2 \omega t \left(49,35 - \frac{0,5152}{S_1 \mu} \right). \quad /28/$$

Při činnosti zkoušební pneumatické pružiny s přímým hydraulickým tlumením, jak již bylo podotknuto, působí ne změnu tlaku zkracení průtoku /vliv rychlosti/ i dynamické účinky kapaliny /vliv zrychlení kapaliny/.

$$\Delta P_{celk} = \Delta P_{kin} + \Delta P_{dyn}$$

/29/

Současné působení je však kromě okamžiku, kdy je maximální zrychlení /krajní úvratě - nulové rychlost/ s okamžiku, kdy je maximální rychlosť /uprostřed zdvihu - nulové zrychlení/.

Po dosazení

$$\Delta P_{celk} = \pm \frac{0,0025}{S_1 \mu^2} \cos^2 \omega t + 1140 - (68,2 + \frac{1686}{S_1 \mu}) \sin \omega t +$$

/30/

$$+ (49,35 - \frac{0,5152}{S_1 \mu}) \sin^2 \omega t$$

Tato rovnice vyjadřuje nárust, nebo pokles tlaku od normálního průběhu tlaku klassické pružiny /pneumatické/ v závislosti na proměnných S_1 , ωt , $s \mu$. Vypočtené hodnoty by se musely přičíst, nebo odečíst, podle znaménka, k charakteristice pružiny, tím by vznikla hysterézní smyčka obdobná sejmutým charakteristikám v kapitole 6.4., jejíž plocha je úměrná tlumícímu účinku této pružiny.

Diagram na obr.55 vyjadřuje hodnoty x , \dot{x} a \ddot{x} pro spodní přírubu pružiny. Proto na příklad největší dráze x odpovídá největší stlačení pružiny - v tomto bodě začíná "roztahování" pružiny. Z tohoto obrázku vychází i určení známének pro první výraz v rovnici /30/.

Jelikož tato rovnice má tři proměnné a je třeba provést celou řadu výpočtů, pro různé hodnoty těchto proměnných, byl na její řešení sestaven následující program, který je vytisknán na další str.108.

Průtočné průřezy S_1 byly vzaty podle jednotlivých regulečních poloh; tak, jak byly uvedeny v kapitole 6.4. a jsou uvedeny v tab.1.

Prováděl se výpočet pro $\mu = 0,8 \div 0,5$ a průřezy $S_1 = 0,000615$; $0,0004$; $0,000202$ a $0,000048 \text{ m}^2$. Pro jednotlivé hodnoty μ se vystřídal vždy všechny průřezy S_1 .

CONSOLE

READY
LIST
5 CLEAR:PRINT AT 0,0
10 REM VYPOSET RODVICE
30 INPUT "TRUE POUZITA TISKARNA ?;" AND/NE/A\$
40 INPUT "ZAMEJ STEP V ULOVNE MIREK"
50 INPUT "NAMEJ ATN"
60 INPUT "ZAMEJ S1" S
100 IF A\$="AND" THEN LPRINT
130 PRINT "MI= "+H TAB(10) "S1= "+S
140 PRINT ======:PRINT
150 PRINT " FI=" TAB(13) " DF=" _____
160 PRINT " "
170 FOR F=PI/2 TO 5/2*PI STEP K*PI
175 Q=-1
190 IF F>7/2*PI AND F<5/2*PI THEN Q=1
200 D=Q*.0025/S^2/M^2*COS(F)*COS(F)+1140-SIN(F)*(68.241.686/S/M)+(49.35-.5152/S/M)*SIN(F)*SIN(F)
210 PRINT F TAB(13) D
230 MEAT F:PRINT:PRINT:CONSOLE
250 GOTO 50
READY

Tab.2

MI= 0.8 Si= 0.000615
=====

FI=	DP=
1.57079	-3352.79
1.88494	-4072.49
2.19909	-5908.2
2.51324	-8017.81
2.82739	-9375.92
3.14154	-9186.57
3.45569	-7216.47
3.76984	-3910.23
4.08399	-254.257
4.39814	2574.74
4.71229	3637.22
5.02644	4546.85
5.34059	6881.19
5.65474	9606.95
5.96889	11484.6
6.28304	11467.2
6.59719	9307.43
6.91134	5502.55
7.22549	1229.57
7.53964	-2098.9
7.85379	-3352.82

MI= 0.8 Si= 0.000202
=====

FI=	DP=
1.57079	-12499.9
1.88494	-20325.5
2.19909	-42478.6
2.51324	-68734.4
2.82739	-88784.3
3.14154	-94579.2
3.45569	-82499.8
3.76984	-56429.5
4.08399	-25497.3
4.39814	-857.43
4.71229	8502.6
5.02644	17421.6
5.34059	40641.5
5.65474	68862.3
5.96889	90657.3
6.28304	96863.1
6.59719	84190.1
6.91134	56553.5
7.22549	23680.3
7.53964	-25340.09
7.85379	-12500

MI= 0.8 Si= 0.0004
=====

FI=	DP=
1.57079	-5757.55
1.88494	-7678.13
2.19909	-12632.4
2.51324	-10512.8
2.82739	-22738.1
3.14154	-23270.8
3.45569	-17441.1
3.76984	-12241.4
4.08399	-3999.69
4.39814	2471.7
4.71229	4916.3
5.02644	7133.46
5.34059	12867.4
5.65474	19711.2
5.96889	24718.3
6.28304	25552.1
6.59719	21426.1
6.91134	13446.9
7.22549	4240.09
7.53964	-3013.07
7.85379	-5757.6

MI= 0.8 Si= 4.8E-05
=====

FI=	DP=
1.57079	-56201.2
1.88494	-214618
2.19909	-628810
2.51324	-1.13875E+06
2.82739	-1.54695E+06
3.14154	-1.59398E+06
3.45569	-1.51991E+06
3.76984	-1.08725E+06
4.08399	-537835
4.39814	-131094
4.71229	31747
5.02644	192621
5.34059	31338
5.65474	1.13158E+06
5.96889	1.54657E+06
6.28304	1.50732E+06
6.59719	1.51079E+06
6.91134	1.00051E+06
7.22549	542803
7.53964	109295
7.85379	-56201.6

Tab.3

MI= 0.7 Si= 0.000615
=====

FI=	DP=
1.57079	-3991.92
1.88494	-4975.23
2.19909	-7494.32
2.51324	-10426.1
2.82739	-12400.7
3.14154	-12347.7
3.45569	-9939.12
3.76984	-5743.5
4.08399	-1048.6
4.39814	2602.97
4.71229	3977.18
5.02644	5178.79
5.34059	8271.21
5.65474	11911.6
5.96889	14460.7
6.28304	14628.7
6.59719	12001.8
6.91134	7232.95
7.22549	1828.61
7.53964	-2397.51
7.85379	-3991.96

MI= 0.7 Si= 0.000202
=====

FI=	DP=
1.57079	-14445.8
1.88494	-25452.6
2.19909	-54105.9
2.51324	-88975.8
2.82739	-115992
3.14154	-123881
3.45569	-108589
3.76984	-74891.6
4.08399	-34715.9
4.39814	-2651.7
4.71229	9537.6
5.02644	21223.5
5.34059	51669.8
5.65474	88754.7
5.96889	117576
6.28304	126166
6.59719	110195
6.91134	74704.7
7.22549	32306
7.53964	-1562.02
7.85379	-14446

MI= 0.7 Si= 0.0004
=====

FI=	DP=
1.57079	-6740.21
1.88494	-9315.52
2.19909	-15973.5
2.51324	-23925.8
2.82739	-29752.2
3.14154	-30743.9
3.45569	-25990.4
3.76984	-16770.4
4.08399	-6123.83
4.39814	2255.46
4.71229	5438.97
5.02644	8354.35
5.34059	15907
5.65474	24964.1
5.96889	31687.9
6.28304	33025.4
6.59719	27932.2
6.91134	17817.9
7.22549	6064.04
7.53964	-3222.41
7.85379	-6740.27

MI= 0.7 Si= 4.8E-05
=====

FI=	DP=
1.57079	-64390.1
1.88494	-271364
2.19909	-814417
2.51324	-1.48275E+06
2.82739	-2.01847E+06
3.14154	-2.21291E+06
3.45569	-1.98756E+06
3.76984	-1.42391E+06
4.08399	-733350
4.39814	-176445
4.71229	36192.7
5.02644	246370
5.34059	796489
5.65474	1.47415E+06
5.96889	2.01765E+06
6.28304	2.21527E+06
6.59719	1.98714E+06
6.91134	1.41592E+06
7.22549	715859
7.53964	151212
7.85379	-64390.5

Tab.4

MI= 0.6 Si= 0.000615

=====

FI=	DP=
1.57079	-4844.1
1.88494	-6241.47
2.19909	-9835.57
2.51324	-14066.4
2.82739	-17027
3.14154	-17210.5
3.45569	-14162.2
3.76984	-8517.03
4.08399	-2334.24
4.39814	2577.97
4.71229	4430.45
5.02644	6083.93
5.34059	10351
5.65474	15413.4
5.96889	19048.6
6.28304	19499.5
6.59719	16187.4
6.91134	9959.3
7.22549	2853.76
7.53954	-2732.98
7.85379	-4844.15

MI= 0.6 Si= 0.000202

=====

FI=	DP=
1.57079	-17040.3
1.88494	-32202.3
2.19909	-71707.3
2.51324	-119900
2.82739	-157499
3.14154	-169026
3.45569	-148870
3.76984	-103486
4.08399	-49106.6
4.39814	-5624.65
4.71229	10917.6
5.02644	26872.1
5.34059	68472.4
5.65474	119254
5.96889	158963
6.28304	171313
6.59719	150364
6.91134	102886
7.22549	45907.2
7.53954	315.19
7.85379	-17040.4

MI= 0.6 Si= -0.0004

=====

FI=	DP=
1.57079	-8050.43
1.88494	-11646.6
2.19909	-20953.8
2.51324	-32157
2.82739	-40505.4
3.14154	-42257.1
3.45569	-36124.2
3.76984	-23823
4.08399	-9491.45
4.39814	1842.48
4.71229	6135.89
5.02644	10130
5.34059	20494.5
5.65474	32981.8
5.96889	42381.7
6.28304	44539.1
6.59719	38008.5
6.91134	24660.1
7.22549	9031.5
7.53954	-3353.44
7.85379	-8050.51

MI= 0.6 Si= 4.8E-05

=====

FI=	DP=
1.57079	-75308.8
1.88494	-350464
2.19909	-1.09905E+06
2.51324	-2.01182E+06
2.82739	-2.74448E+06
3.14154	-3.01242E+06
3.45569	-2.70844E+06
3.76984	-1.94325E+06
4.08399	-1.00454E+06
4.39814	-247195
4.71229	41910.2
5.02644	329301
5.34059	1.07772E+06
5.65474	2.00135E+06
5.96889	2.7431E+06
6.28304	3.0149E+06
6.59719	2.70758E+06
6.91134	1.93355E+06
7.22549	983808
7.53954	217384
7.85379	-75307.2

Tab.5

MI= 0.5 Si= 0.000202
=====

FI=	DP=
1.57079	-20672.6
1.88494	-42766.1
2.19909	-100382
2.51324	-170833
2.82739	-226164
3.14154	-243900
3.45569	-215820
3.76984	-151155
4.08399	-73287.2
4.39814	-10901.6
4.71229	12849.6
5.02644	35893.7
5.34059	96027.5
5.65474	169590
5.96889	227460
6.28304	246190
6.59719	217160
6.91134	149977
7.22549	68982.8
7.53964	4058.8
7.85379	-20672.8

MI= 0.5 Si= 0.000615
=====

FI=	DP=
1.57079	-6037.16
1.88494	-8134.41
2.19909	-13548.2
2.51324	-19986.9
2.82739	-24642.5
3.14154	-25296.2
3.45569	-21213.4
3.76984	-13464
4.08399	-4569.21
4.39814	2422.67
4.71229	5065.03
5.02644	7471.24
5.34059	13697.4
5.65474	21139.8
5.96889	26610
6.28304	27577.5
6.59719	23196.1
6.91134	16424.4
7.22549	4724.11
7.53964	-3092.31
7.85379	-6037.21

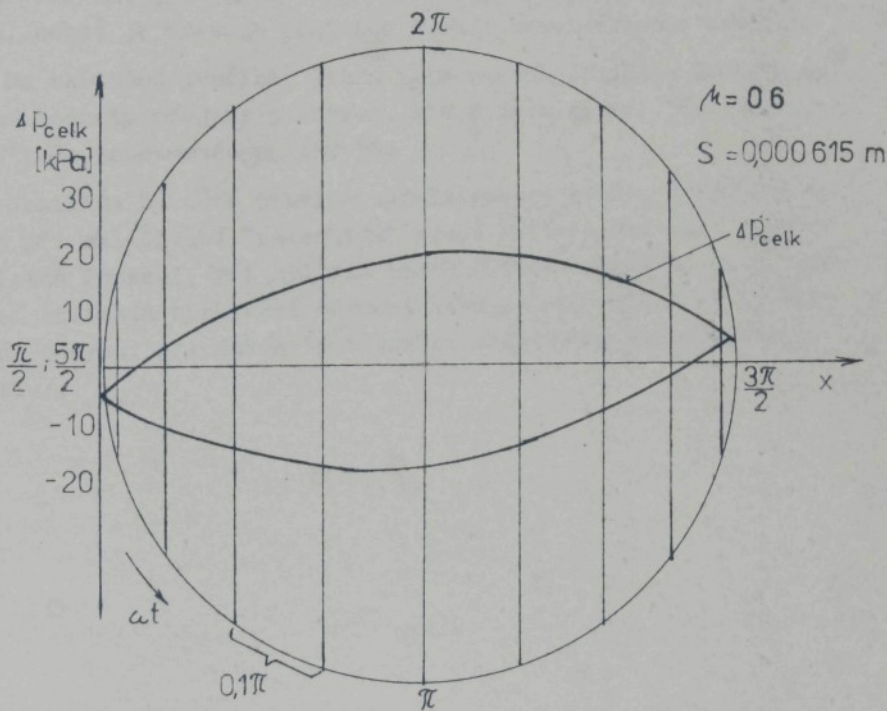
MI= 0.5 Si= 4.8E-05
=====

FI=	DP=
1.57079	-90594.7
1.88494	-499435
2.19909	-1.56895E+06
2.51324	-2.88778E+06
2.82739	-3.94781E+06
3.14154	-4.3384E+06
3.45569	-3.90461E+06
3.76984	-2.80558E+06
4.08399	-1.45564E+06
4.39814	-365987
4.71229	50040.8
5.02644	452725
5.34059	1.54281E+06
5.65474	2.87464E+06
5.96889	3.94564E+06
6.28304	4.34082E+06
6.59719	3.90318E+06
6.91134	2.79358E+06
7.22549	1.43036E+06
7.53964	329787
7.85379	-90595.3

MI= 0.5 Si= 0.0004
=====

FI=	DP=
1.57079	-9884.76
1.88494	-15194.3
2.19909	-28978.1
2.51324	-45628.6
2.82739	-58252.2
3.14154	-61351.9
3.45569	-53003.6
3.76984	-35644.9
4.08399	-15234.5
4.39814	945.9
4.71229	7111.55
5.02644	12900
5.34059	27945.3
5.65474	46154
5.96889	60044.9
6.28304	63634.6
6.59719	54808
6.91134	36187.8
7.22549	14214.9
7.53964	-3252.32
7.85379	-9884.95

Z přiložených výsledků je patrná závislost mezi poootočením kliky ω_t /FI/ hnacího mechanismu a nárustem, nebo poklesem tlaku ΔP_{celk} /DP/ oproti tlaku, který by byl v běžné pneumatické pružině. Na dodatečně vloženém obrázku obr.55a je nakreslen průběh ΔP_{celk} v závislosti na dráze x . Bylo to úmyslně přetrasformováno ze závislosti na ω_t na závislost na x , aby se to nechalo lépe srovnat s naměřenými závislostmi na obr.51;52;53.



obr.55a

Tento obr.55a by se měl nejspíše porovnávat s hysteresní plochou u obr.51, neboť jáde o stejný průtokový průřez S_1 . Když jsem však přepočítal ΔP_{celk} z obr.55a na sílu pružiny tómu odpovídám výsledky na obr.51;52;53.

vidající /obr.51/, vycházely množství hodnoty ještě asi o 30% menší, což by svědčilo, že u skutečné zkoušební pneumatické pružiny s vlastním hydraulickým tlumením byl průtokový součinitel - ještě asi o 0,1 menší. Tomu nesvědčovaly i předběžné výpočty při uvažování pouze rychlostního účinku při škrzení průtoku, viz kapitolu 6.2.

Jak je vidět ve výsledkách výpočtů, v tab.2 až tab.5, nárust tlaků ΔP_{celk} je silně závislý na hodnotách S_1 a Δ . V mnoha případech nezbývají tyto tlaky hodnot, které pro tuto pružinu již ani nepřicházejí v úvahu z důvodu pevnosti pryžokordového dvouúlnovce. Při stlačování jsou tyto tlaky, které přicházejí v úvahu ještě nižší, neboť je omezují pojistná funkce kombinovaného ventilu.

Na skutečné pružině, která byla nuceně poháněna se tyto ne-reálné hodnoty projevily úkazem, který jsem nazval "čerpadlový efekt". Je zaznamenán na obr.54.

Jestliže by tato pružina neměla nucený pohon, projevilo by se to při stlačování "oseknutím" horní větve hysterézní plochy /pojistná funkce/, při zpětném chodu /roztažování/ by se to projevilo snížením rychlosti harmonického pohybu /třeba až do zastavení pohybu, při dokonalé těsnosti uzavřeného kombinovaného ventilu/.

7.0. Možnosti lepšího využití klasických hydraulických tlumičů automobilového typu u pneumatických podložek

Jak bylo poznamenáno již na počátku této práce, používají se při konstrukci pneumatických podložek pod zařízení pracující s velikými rázy nebo chvěním, stále ještě klasické hydraulické tlumiče automobilového typu. Zapříčinuje to skutečnost, že jsou v několika velikostech /podle typů automobilů u nás používaných/ k disposici na trhu v přijatelných cenách. Jsou známé jejich parametry a vlastnosti. Konstrukce, vývoj a odzkoušení nového tlumiče je záležitost poměrně náročná a nákladná, což se musí projevit i v jeho ceně. Tato cena je však ještě více ovlivněna použitou technologií výroby a seriovosti v jakých se tento tlumič vyrábí. Z těchto důvodů je možno vidět, že i různé typy automobilů používají často tlumič stejného typu a od stejného výrobce, neboť by vývoj vlastního nového tlumiče a zavedení jeho výroby, přišla drážce, než tyto tlumiče kupovat. Jsou zde však ještě i zkušenosti specialisovaného výrobce, které také nelze podceňovat.

Proto není možné při návrhu pneumatické podložky, která se často navrhuje pouze pro jeden výrobní, nebo pracovní stroj, vyvíjet vlastní hydraulický tlumič vhodných vlastností a parametrů. Zvolí se nevhodnější z těch, které jsou na trhu běžné. Potřebné tlumení se potom dosáhne počtem těchto tlumičů zabudovaných do pneumatické podložky. Často to vede vede i k dostí značným počtům tlumičů. Je to způsobeno v podstatě dvěma příčinami:

- a/ Odpružené zařízení a pneumatická podložka pod ním komitají s velikou energii harmonického pohybu a je proto třeba utlumit veliké množství energie. To znamená přeměnit mechanickou energii harmonického pohybu za pomocí tlumičů na energii tepelnou.
- b/ Jde o velmi nevhodné použití těchto hydraulických tlumičů.

Velikost energie harmonického pohybu, kterou je třeba tlumiči převést na energii tepelnou, je dána hmotností odpruženého pracovního stroje a pneumatické podložky a parametry harmonického pohybu, který vybudí pracovní cyklus uloženého stroje. Jsou to veličiny, pro dané zařízení pevně dané. Proto i počet tlumičů je jimi vlastně určen.

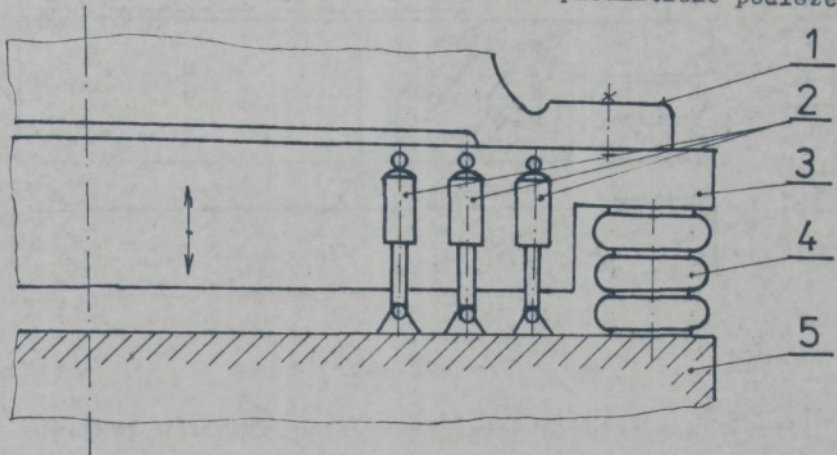
Jinak je tomu však s využitelností tlumičů, kterých se zde používá. Tyto tlumiče jsou navrženy pro tlumení harmonického pohybu u silničních vozidel, vybuzeného přejetím těchto vozidel přes nějakou překážku na vozovce /výstupek, prolubeň/. Požadované jízdní vlastnosti a vlivy, které mohou při tom působit na cestující /které připouští nerma/, jako je zrychlení, frekvence, rychlosť utlumení a pod., si vynutily hydraulické tlumiče s poměrně velikými zdvihy. Tlumící síla hydraulického tlumiče, jak plyne ze vztahu /5/, závisí na rychlosti harmonického pohybu. Může jít o závislost přímeu $F = kx$, nebo progresivní, či degresivní $F = kx^n$, přitom $n > 1$, nebo $n < 1$. Přímá závislost je jakási střední cesta. Bylo ji proto také užito v základní pohybové rovnici harmonického pohybu /1/. Ze vztahu /1/ plyne, že rychlosť harmonického pohybu je přímo úměrná maximální výchylce a . Utluemena energie pak dekonc na druhé mocnině maximální výchylky a^2 . Z toho plyne, že pouze ten tlumič, který vykonává zdvihy na které byl konstruován, je řádně využit. Proto tlumící síla každého tlumiče je udávána při určité frekvenci harmonického pohybu ω a při jeho určitém zdvihu x . Obě tyto veličiny jsou danému zařízení určené konstrukcí. Naskytá se otázka, jestli by nebylo rozumné některou z nich změnit tak, aby se účinnost tlumičů zvýšila.

Zvyšovat frekvenci kmitání edpruženého výrobního stroje za účelem zvýšení účinnosti tlumičů by jistě nebylo účinné,

Ani zvýšení zdvihu pneumatické pedložky a pochepitelně s tím i výrobního stroje nepřichází v úvahu, neboť účelem pneumatických podložek jistě není dopustit veliký zdvih. To by mohlo ztížit obsluhu daného výrobního stroje. K nějakému zvihu tam však vždy dochází.

Jestíž se však uváží, že však uváží, že běžný hydraulický automobilový tlumič, třeba P26x150, má maximální zdvih 150mm a že jeho hodnota maximálních tlumících sil a pracovní diagram se udávají při zdvihu 100mm a frekvenci $f = 1,66$ Hz a na pneumatické podložce potom vykonává tento tlumič zdvih pouze 20mm, musí se uznat, že z hlediska velikosti tlumící síly a obzvláště z hlediska utlumené energie je nepatrné využit. Musí se tedy potom na danou pneumatickou podložku zabudovat větší množství takového tlumičů. Nabízí se dekonc pochybnost, že tyto tlumiče tlumí více pasivními odpory v ucpáv-

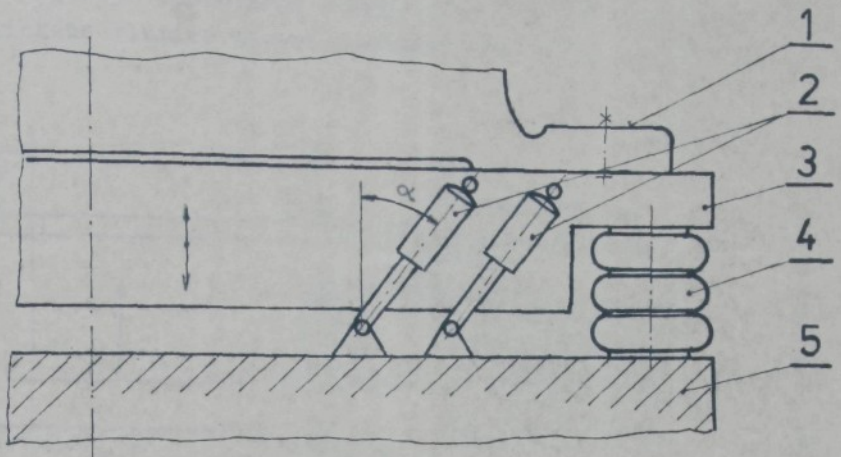
kách než vlastním hydraulickým tlumením. Na takovéto tlumení jsou však tyto tlumiče přílišným přepychem. Zapojení těchto hydraulických tlumičů je přímé, tak jak to je naznačeno na obr.56. Pracovní stroj 1 je umístěn na pneumatické podložce 3,



obr.56

která je odpružená pneumatickou pružinou 4, spočívající na rámu základu 5. Skupina hydraulických tlumičů 2 je spojena jednou stranou s pneumatickou podložkou 3 a druhou stranou s rámem základu 5. Při takovémto zapojení vykonávají tlumiče 2 stejný zdvih jako je pohyb pneumatické pedležky 3, tedy poměrně malý. V tomto svislém zapojení, jak je to vidět na obr.56 však budou tlumiče vykonávat pohyb, kterým budou vykazovat největší tlumící účinky /tlumící síla, utlumená energie/. Každě jiné/přímé zapojení hydraulických tlumičů automobilového typu 2 než svislé /šikmé/ bude vlastně, pokud jde o tlumící účinky, regulaci směrem k nižším hodnotám tlumení, v přímé závislosti na velikosti úhlu α . Tento způsob zapojení je naznačen na obr.57 .

Naznačené zapojení hydraulických tlumičů 2 je však z hlediska využití tlumících účinků tlumičů 2 krokem zpět. Je však pravdou, že pro takovéto zapojení někdy mluví jistá lepší kompaktnost a zmenšení rozměrů pneumatické podložky 3. Axiální silový účinek skloněných tlumičů 2 se zpravidla vyrovnává současným uložením tlumičů 2 na druhé straně pneumatické podložky 3.

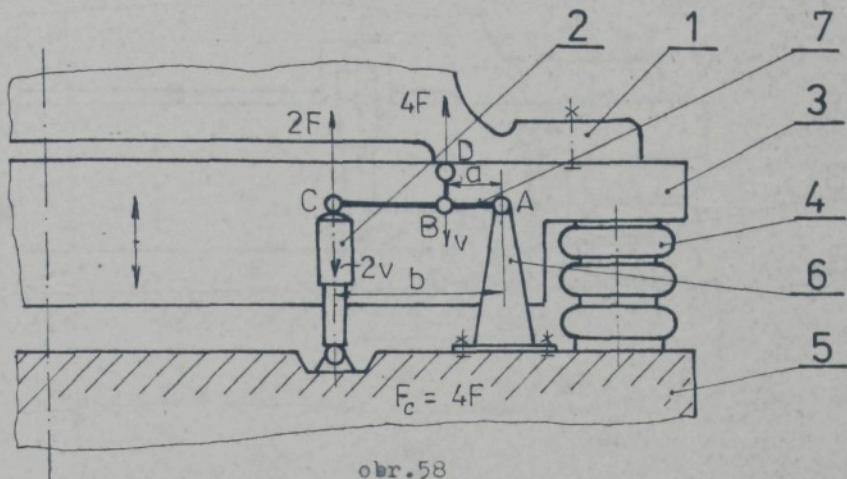


obr. 57

Jelikož u těchto přímo zapojených tlumičů není využit jejich závih, není dosaženo ani dostatečné rychlosti pístu tlumiče. Rychlosť harmonického pohybu, což je vlastně rychlosť pístu tlumiče, je přímo úmerná maximálnímu závihu harmonického pohybu, jak plyne ze vztahu /2/. Je tedy třeba navrhnut takový mechanismus, který by malý pohyb pneumatické podložky převedl na takový závih pístu hydraulického tlumiče, aby tlumící účinky tlumiče byly pokud možno využity. Takovýto mechanismus lze velmi snadno realizovat pomocí pákového převodu. Tímto mechanismem se musí nechat nastavit vhodný převod, aby závih tlumiče nepřekročil jeho maximální závih. Tím se dosáhne maximálního využití tlumících vlastností tohoto tlumiče při dané frekvenci harmonického pohybu. V jiném případě by se volbou mechanického převodu dosáhlo přesně požadovaných tlumících vlastností tohoto tlumiče. Muselo by však jít o hodnoty menší, než jsou jeho maximální tlumící hodnoty.

Pro porovnání dvou použitelných převodů použiji jednozvratný a čvojzvratný pákový převod s převodem $a:b = 1:2$, aby se ukázalo, který z nich je výhodnější. Přitom bude snahe, aby se nezměnila pracovní poloha tohoto tlumiče, aby nedošlo k jeho otocení, nebo změně funkce /charakteristika při zasouvání tlumiče je jiná než při vysouvání tlumiče/.

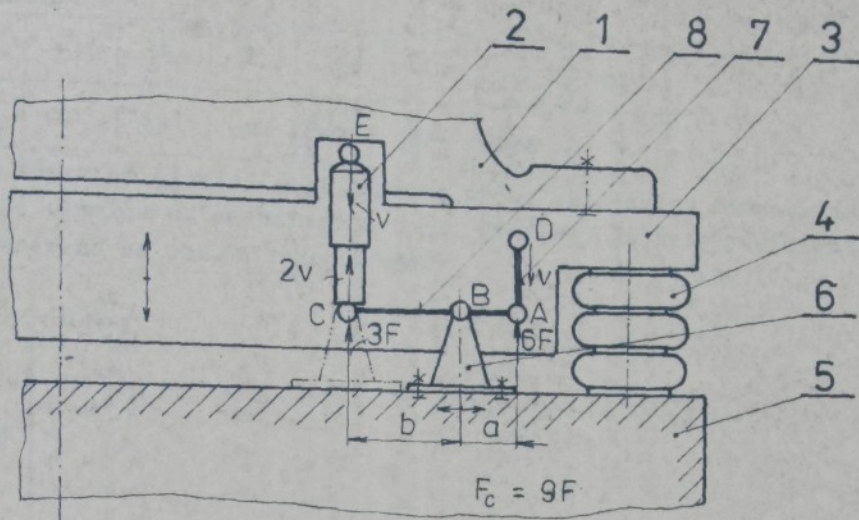
Obr.58 znázorňuje schematicky zvýšení účinnosti hydraulického tlumiče pomocí jednozvratné páky 7 s převodem 2.



obr.58

Bod A je v klidu, neboť je součástí rámu základu 5 a bod D je součástí pneumatické podložky 3 a vykonává tedy stejný pohyb. Bod B vykonává téměř stejný pohyb /dráha, rychlosť,.../, jako pneumatická podložka 3. Avšak bod C koná dvojnásobný zdvih při dvojnásobné rychlosti 2v, než bod B. Tlumič 2 uchycený v bědi C bude mít tedy dvojnásobnou tlumící sílu a utlumí čtyřnásobně více energie než tlumič přímo zapojený. Z rovnováhy na páce vyplývá, že v bodě B bude působit čtyřnásobná tlumící síla $F_c = 4F$. Jestliže by tlumící síla jednoho přímo zapojeného tlumiče byla F, pak takto zapojený jeden tlumič by byl čtyřnásobně účinnější.

Na dalším obr.59 je naznačeno užití dvojzvratné páky 8, opět s převodem 2, pro zvýšení účinku hydraulického tlumiče automobilevého typu. Body D a E jsou součástí pneumatické podložky 3. Jestliže se tato pneumatická podložka 3 pohybuje rychlostí v /bod D a E/, pak se bod C bude pohybovat rychlosťí 2v. Z toho plyne relativní rychlosť pístu tlumiče 3v. Jestliže přímo zapojený tlumič by měl rychlosť v a tlumící sílu F, bude mít takto zapojený tlumič tlumící sílu 3F. Z rovnováhy na páce vyplývá, že celková tlumící síla $F_c = 9F$. Z toho je vidět, že tento druhý převod s dvojzvratnou pákou je z hlediska velikosti převodu stejný, avšak dává více než dvojnásobnou tlumící



obr. 59

sílu oproti předchozímu uspořádání a tedy i tlumící účinky a je proto výhodnější.

Je třeba podotknout, že u tohoto "nepřímo" uchyceného tlumiče by se dal snadno regulovat jeho tlumící účinek změnou geometrických poměrů na páce. Například na posledním obr. 59 je naznačeno, že podpěra 6 je přesuvná. Pro nakreslenou polohu, jak již bylo odvozeno, je účinek tlumiče 2 devítinásobný $/F_c = 9F/$. Jestliže by se však podpěra 6 přesunula do bodu C, byl by tlumící účinek stejný jako u přímo zapojeného tlumiče $/F_c = F/$. Mezi těmito polohami by se nechala najít kterákoli síla z intervalu F až 9F. Kdyby se podpěra 6 přesunula směrem k bodu A, účinek tlumiče by se ještě zvýšil $/F_c > 9F/$. Při přemístění podpěry do bodu A, kdy se bod B ztotežní s bodem A, bude tlumící síla nekonečně veliká. Pneumatická podložka 3 bude vlastně pevně podepřena podpěrou 6.

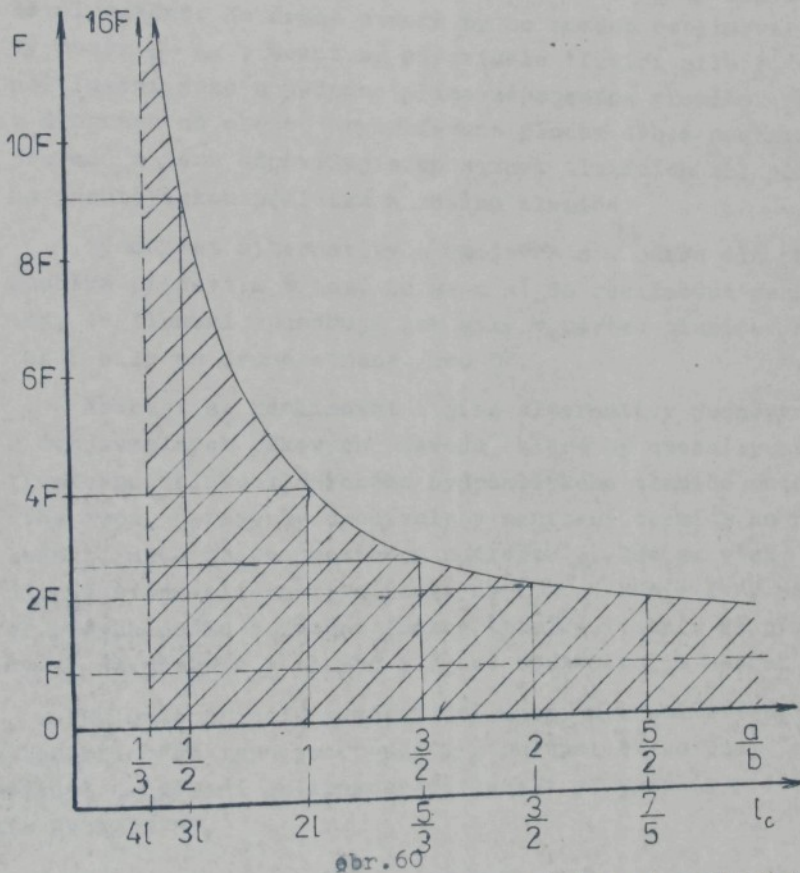
Je si však třeba uvědomit, že tuto regulaci lze provádět jen v rozmezí do maximálního zdvihu tlumiče. Jelikož však zdvihy pneumatických podložek 3 jsou podstatně menší než maximální zdvihy hydraulických tlumičů automobilového typu 2, je tento způsob regulace zde použitelný.

V tab. 6 jsou vyčísleny jednotlivé převody dvojzvratné páky 6 a tomu odpovídající síla F_c, jako násobky síly F, kte-

Tab. 6

$\frac{a}{b}$	0	$\frac{1}{2}$	1	$\frac{3}{2}$	2	$\frac{5}{2}$	∞
F_c	∞	$9F$	$4F$	$\frac{25}{9}F$	$\frac{9}{4}F$	$\frac{49}{25}F$	F

rá odpovídá tlumící síle jednoho přímo zapojeného hydraulického tlumiče automobilevého typu. Graficky je tato závislost zobrazena na obr. 60 hyperboleou.



V tomto obr. 60 je navíc znázorněna závislost celkové tlumící síly F_c a odpovídajícího celkového zdvihu tlumiče l_c . Přitom zdvih l odpovídá zdvihu přímo zapojeného tlumiče vyvzujícího tlumící sílu F , tedy zdvihu pneumatické podložky β . Maximální zesílení tlumícího účinku daného tlumiče bude

při užití tohoto mechanismu omezeno skutečným zdvihem pneumatické podložky a maximálním možným zdvihem tlumiče. Ve skutečnosti však zde budou ještě i jiné omezující prvky. K nim může patřit na příklad konstrukční realizace a otázky pevnosti některých prvků /čepy, páka, .../. Z těchto důvodů by na příklad nešla realizovat alternativa, kdy by se převod $\frac{a}{b}$ blížil 0, neboť by tlumící síly a tedy i namáhání byly velmi značné, přitom by však bylo málo místa na čepy. Samotné znehýbnění pneumatické podložky, kdy bod B se ztotožní s bodem A by se však realizoval snadno. Na druhé straně by se snadno realizoval převodový poměr $\frac{a}{b} \rightarrow \infty$, čemuž by odpovídala tlumící síla F, t.j. stejné tlumení jako u jednoho přímo zapojeného tlumiče. Proto je v diagramu na obr.60 vyšrafováná plocha dobré použitelných převodů a tomu odpovídajících hodnot tlumících sil působících na pneumatickou podložku a zdvihu tlumiče.

Výhodnost alternativy s dvojzvratnou pákou dle obr.59 spočívá především v tom, že se u ní dá realizovat mechanismus tak, že tlumení způsobuje jak síly v závěsu tlumiče /bod E/, tak i síly na druhé straně /bod D/.

Neehají se realizovat i jiné alternativy jednozvratných a dvojzvratných pákových převodů, které by umožnily zvýšení tlumícího účinku klasického hydraulického tlumiče automobilového typu. Úpravy by spočívaly v uchycení tlumiče na rám základu Ž, nebo na pneumatickou podložku Ž. Zdá se však, že nejúčinnější je alternativa podle obr.59. Navíc by v některých případech došlo k zámkové funkci tlumiče, t.zn., že pružina 4 by se stlačovala a tlumič 2 by se roztahoval a naopak.

Na tento princip zvýšení účinnosti hydraulických tlumičů automobilového typu pro použití u pneumatických podložek, jsem požádal o udělení autorského osvědčení na vynález pod označením PV 1363-88.

Závěr

a/ Výsledky disertace s uvedením nových poznatků

Předložená disertační práce se zabývá problematikou tlumení pneumatických podložek používaných pod různé pracovní stroje. Její přínos je především v tom, že opouští tradiční způsoby tlumení a snaží se tuto problematiku řešit novými, dosud nepoužívanými způsoby.

Při řešení vzniklého problému se záznamem rychlostní charakteristiky tlumiče byl navržen "Přenos pohybů v prostoru pomocí čvojcí bowdenů", který, jak se ukázalo, by mohl mít i širší uplatnění v praxi. Na tento vynález bylo uděleno autorské osvědčení, které bylo jistým obhacením počátků tohoto výzkumu.

Veškerý výzkum hydraulických tlumičů klasických i regulovatelných byl zaměřen na tlumení kmitajících soustav opatřených pneumatickými pružinami, u kterých bylo vitané zajistit plynule regulovatelné tlumení. Když se neuspele při vývoji regulovatelných hydraulických tlumičů, začal jsem uvažovat o jiném řešení tohoto problému.

Je známo, že některé jiné typy pružin /svazky plochých pružnic, skupiny talířových pružin,.../ mají, ne zcela zanedbatelné, vlastní tlumení. Bylo tedy snahou navrhnut pneumatickou pružinu, která by měla také vlastní tlumení. Dosud jsou tyto pružiny téměř bez vlastního tlumení.

Navrhl jsem celkem tři způsoby, jak lze realizovat u pneumatické pružiny vlastní tlumení. Všechny tři byly uznány jako původní a byla na ně udělena autorská osvědčení.

Prvá možnost, která byla popsána v kapitole 5.2. a nazvana "Pneumatická pružina s obousměrným tlumením" byla reálnována jako zkušební pružina v kapitole 5.4. a odzkoušena /kap.5.6./. Tlumení se ukázalo jako málo účinné. Tlaky v obou objemech se v krajních úvratích nestačily vyrovnat. Těžko by se hledalo optimum mezi velikostí přepouštěcího otveru a maximálním tlumením této pružiny. Výrobně je však velmi jednodu-

chá a za provozu by u ní nevznikaly žádné problémy, neboť nemá žádné funkční pohyblivé dvojice, které by mely zajišťovat těsnost. Tento princip tlumení by ve většině případů sám nestačil, mohl by však snížit potřebu hydraulického tlumení u pneumatických podložek.

Účinnější bylo řešení podle kapitoly 5.3., ve které je popsán druhý vynález - "Tlumená hydraulická pružina s řízeným vnitřním dějem v jedné, nebo obou krajních polohách". Tento princip nebyl odzkoušen na žádém modelu - byl by výrobně náročnější. Přepouštění stlačeného vzduchu mezi proměnlivým a konstantním objemem by však bylo daleko účinnější a tedy i tlumení bylo účinnější. Nelze však opomenout skutečnost, že účinnost tlumení závisí nejen na dokonalosti přepouštění mezi oběma prostory v krajních úvratích, ale také na vzájemném poměru jejich velikosti. Tlumení bude tím účinnější, čím větší částí celkového objemu bude objem konstantní. To nelze vzhledem na maximální zdvih a tvar pneumatické pružiny, stanovit libovolně. Lze dokonce říci, že u některých typů pružin /vlncovcová/ by se nepodařilo realizovat dostatečně veliký konstantní objem vzhledem k jejich celkovému objemu. Řešení by se však mohlo použít transformační kapaliny, tak jak to bylo provedeno při realizaci zkušené pneumatické pružiny s obousměrným tlumením. Tím, že se pružící objem vzduchu odstraní z vlastního pryžokordového tělesa do pevné nádoby, lze ho pak již libovolně rozdělit na objem konstantní a proměnlivý s možností provádět "ladění" spočívající ve změně charakteristiky pružiny vlivem změny pružícího objemu vzduchu.

Za nejúčinnější a výrobně poměrně jednoduchý, lze pokaždat třetí způsob realizace vlastního tlumení pneumatické pružiny. Jde o "Pneumatickou pružinu s přímým hydraulickým tlumením", popsanou v kapitole 6.0.. Jde vlastně o hydropneumatický princip pružení, které se v provozu již leckde osvědčil /pedvozky letounů, dražší automobily,..../. Zde však byl poprvé navržen pro pneumatickou pružinu s pryžokordovým prvkkem, což umožňuje daleko jednodušší a tedy i levnější realizaci.

zaci. Výsledky z měření zkušební pružiny, která tuto myšlenku realizovala, možná, nejsou dosti přesvědčivé. Bylo te způsobeno tím, že regulace pro přestavování malých průtočných průřezů byla příliš hrubá a dále, ne zcela vhodnou metodou zkoušek /užití zkušebního stavu na tlumiče/- při malém průtočném průřezu škrtících otvorů došlo k "čerpadlovému efektu", neboť frekvence kmitání zkušební pružiny byla dáná frekvencí stavu na tlumiče. Jeho frekvenci pevně držel nastavený regulovatelný elektromotor. Více by možná ukázaly doběhové kmitací zkoušky, u kterých by se pochopitelně frekvence stanovila vlastnostmi, mimo jiné, též zkušební pružiny.

Kromě těchto tří typů pneumatických pružin s vlastním tluměním bylo ještě v kapitole 7.0. upozorněno na možnosti lepšího využití klasických hydraulických tlumičů automobilového typu u pneumatických podložek. Návrh se snaží lépe využít dlouhého zdvihu těchto tlumičů u pneumatických podložek, o kterých je známo, že konají zdvihy ve celku malé. Zvětšením jejich zdvihu, při vhodně zvoleném mechanismu převodu, dojde k mnohonásobnému zvětšení tlumícího účinku těchto tlumičů s případnou možností regulace. Tento princip byl přihlášen v roce 1988 jako vynález.

b/ Konkrétní závěry pro realisaci ve společenské praxi a další rozvoj vědy

Pružné ukládání strojů má velikou důležitost při zlepšování pracovního prostředí a odstranění škodlivých vibrací, působící na budovy, inženýrské sítě, ale především na obsluhy těchto strojů.

Součástí pružných pneumatických podložek, které se k tomuto účelu užívají, jsou i tlumiče kmitů. Práce je směrována buď k jejich úplnému odstranění, nebo alespoň snížení potřeby hydraulického tlumení klasickými hydraulickými tlumiči.

Mělo by se to bez zbytku podařit u "Pneumatické pružiny s přímým hydraulickým tlumením", kde zpětné tlumení /při

roztažování/ je neomezené. Výzkum a další vývoj tohoto systému tlumení pneumatických pružin slibuje jednoznačně kladné výsledky. Původně jsem chtěl tento princip aplikovat na odpružení sedačky řidiče. Později jsem si však uvědomil, že při vyřizování tohoto vynálezu a při ověřování zájmu mezi potenciálními výrobci /což provádí Úřad pro objevy a vynálezy/, podniky jako Karosa, Liaz a Autobrzdý, neprojevily zájem o spolupráci, přestože jsem s nimi byl i v písemném styku, při objasňování některých námitek. Zřejmě problematika sedačky je v té době příliš nezajímala. Navrhl jsem tedy zkušení pružinu, která slibovala, po jistých úpravách, odzkoušení dvou navrhovaných principů pneumatických pružin s vlastním tlumením. Měření, která na nich byla provedena byla značně omezena z důvodů nedostatku volné kapacity na zkušebním zařízení v n.p. Autobrzdý. Ve zkouškách by se mělo nadále pokračovat i když možná na jiném stavu a za jiných podmínek.

V práci uvedené vynálezy ukazují na nové, netradiční možnosti tlumení pneumatických podložek. Přitom lze i připustit uplatnění těchto myšlenek v jiných odbětvích. Jistě by se "Pneumatická pružina s přímým hydraulickým tlumením" dala odzkoušet i na automobilu. A to nejen na sedačce řidiče, ale i na podvozku.

"Pneumatická pružina s řízeným dříjem v krajních úvratích" by potřebovala ještě další vývoj a odzkoušení na modelu. Nebylo v možnostech této práce toto uskutečnit. V kombinaci s transformační kapalinou by mělo být tlumení dostatečné. Jistě by zde byly problémy s těsností a antikorozivností řídícího přepouštěcího šoupátka, pokud by se užilo kapaliny na bázi vody.

Další vývoj a výzkum v práci popsaných principů pneumatických pružin s vlastním tlumením bude nutný, neboť konkrétní problémy, které se zatím nemusely projevit, by se projevily až při praktickém provedení a hlavně v provozu.

Tam, kde by se mělo zůstat u klasických hydraulických

tlumičů automobilového typu, z důvodu odstranění vývoje takovýchto pneumatických pružin s vlastním tlumením pro kusovou výrobu, by se mělo alespoň uvažovat o jejich lepším využití, jak to je v této práci navrženo. Navíc by se mohla i realizovat jistá regulace tlumení.

Práce ukazuje možnosti různých principů vlastního tlumení u pneumatických pružin a dále pak možnosti lepšího využití klasických hydraulických tlumičů u pneumatických podložek. Všechny tyto principy jsou nové v praxi neověřené a proto by se mělo pokračovat v jejich vývoji a praktickém ověřování v provozu.

LITERATURA

- /1/ MATOULEK,J.-KULIŠ,Z.: Aplikace matematiky ve stavbě strojů. I.část, Ddm techniky ČVTS Praha 1974.
- /2/ KOŽEŠNÍK,J.: Dynamika strojů. I.vyd. Praha, SNTL 1958.
- /3/ KOŽEŠNÍK,J.: Kmitání mechanických soustav.I.vyd, Praha Academia 1979.
- /4/ HÖSCHL,C.: Nauka o kmitání. Skripta VŠST. SNTL Praha 1965.
- /5/ KREJCÍŘ,O. aj.: Prototyp pneumatické podložky pro dveubarovový stroj ADAST Dominant 724. /Výzkumná zpráva KST 75-04/. Liberec, VŠST 1974.
- /6/ PUSTKA,Z.: Vlnovcové pružiny pro pneumatické podložky. /Výzkumná zpráva KST 75-06/. Liberec 1975.
- /7/ MEVALD,J.: Příspěvek k výpočtu uložení stroje na vzduchových pružinách. /Výzkumná zpráva/. Liberec, VŠST 1980.
- /8/ HORÁK,Z.-KRUPKA,F.+ŠINDELÁŘ,V.: Technická fysika. I.vyd. Praha, Práce 1954.
- /9/ MASTNÍK,K.+RYDVAL,M.-KUČERA,A.: Dráhevé a rychlostní charakteristiky tlumičů kmitů pružně uložených hmot. /Výzkumná zpráva KST 80-15/. Liberec, VŠST 1980.
- /10/ ŠREJTR,J.: Technická mechanika. Praha, SNTL 1958.
- /11/ MASTNÍK,K.-RYDVAL,M.: Měření rychlostních charakteristik tlumičů kmitů.In: Sborník referátů III.Konference o teorii strojů a mechanismů. VŠST 1980.
- /12/ PEŠÍK,L.: Výpočet pružného pneumatického uložení kovacího bucharu. In: Zborník referátov XXIII.konference katedier částí strojov. Zvolen, VSLD 1982.
- /13/ JÁČ,V.-MEVALD,J.: Simulace dynamických dějů při zkoušení tlumičů na zkušebních stavech. /Výzkumná zpráva KMP ke Státnímu úkolu základního výzkumu III-3-3. Liberec VŠST 1983.
- /14/ NAVRÁTIL,M.: Měření mechanického kmitání. Praha SNTL 1981.
- /15/ MASTNÍK,K.: Nové pohledy na tlumení kmitajících soustav epatřených pneumatickými pružinami. /Písemná část odborné zkoušky k aspirantskému minimu/. Liberec VŠST 1985.
- /16/ RYDVAL,M.-MASTNÍK,K.-PUSTKA,Z.: Regulovatelné tlumiče kmitů pro pneumatické podložky. /Výzkumná zpráva KST 79-24/. Liberec VŠST 1979.

- /17/ MASTNÍK, K.: Mežnosti vlastního tlumení u pneumatických pružin - studie II. /Výzkumná zpráva KST 87-21/. Liberec VŠST 1987.
- /18/ MASTNÍK, K.: Problematika tlumení kmitajících sestav uložených na pneumatických pružinách. /Výzkumná zpráva KST 82-13/. Liberec VŠST 1982.
- /19/ MASTNÍK, K.-RYDVAL, M.: Zařízení k přenosu pohybů pomocí běhounů. Autorské osvědčení č.226656. Praha 22.9.86.
- /20/ MASTNÍK, K.: Pneumatická pružina s vlastním tlumením. Autorské osvědčení č.232208. Praha 23.4.1987.
- /21/ MASTNÍK, K.: Pneumatická pružina s vlastním hydraulickým tlumením. Autorské osvědčení č.232209. Praha 23.4.1987.
- /22/ MASTNÍK, K.: Pneumatická tlumená pružina. Autorské osvědčení č.258852. Praha 25.5.1988.
- /23/ MASTNÍK, K.: Regulační mechanismus hydraulických tlumičů automobilového typu pro odpružené pedaže. Přihláška vynálezu PV 1363-88. Praha 3.3.1988.

PŘEHLED OZNAČENÍ

A	- energie
A_k	- vnitřní energie akumulovaná v pružině
A_m	- energie pohybujících se hmot
A_c	- energie tlumící síly
D	- nosný průměr pružiny
F	- síla
F_{tl}	- maximální tlumící síla
P	- výkon
S	- efektivní plocha pružiny
S_1	- škrtící průtočný průřez
V	- objem
V_{min}	- minimální objem pryžokordového dvouvlnovce
$V_{stř}$	- střední " "
V_{max}	- maximální " "
V_1	- množství kapaliny proteklé za jeden zdvih
V_2	- množství kapaliny proteklé za 1 sec
V_3	- maximální proteklé množství kapaliny za 1 sec
a	- maximální výchylka harmonického pohybu
s' , s'_1	krekové vzdálenosti při přestavování kombinovaného ventilu
c	- konstanta tlumení
c_k	- konstanta kritického tlumení
d	- průměry škrtících otvorů
f	- frekvence tlumiče
g	- gravitační zrychlení
h_{min}	- minimální výška pryžokordového dvouvlnovce
h_s	- střední výška pryžokordového dvouvlnovce
h_{max}	- maximální výška pryžokordového dvouvlnovce
i	- poměr efektivní plochy pružiny a průtokové škrtící plochy
k	- tuhost pružiny
m	- hmota
n	- otáčky
n'	- exponent ve vztahu pro tlumící sílu
p	- tlak
$+ \Delta p$	- tlakový nárust
$- \Delta p$	- tlakový pokles

- ΔP_{\max} - maximální tlakový nárust
 ΔP_{kin} - tlakový nárust způsobený rychlostí proudění
 ΔP_{dyn} - tlakový nárust způsobený účinkem zrychlení kapaliny
 ΔP_{celk} - tlakový nárust od účinku rychlosti proudění i zrychlení kapaliny
 r - poloměr kliky zkušebního zařízení na tlumiče
 t - čas
 t^* - teplota
 x - dráha
 \dot{x} - rychlosť
 \ddot{x} - zrychlení
 x_x - dráha harmonického pohybu ve směru souřadnice x
 x_{st} - statické stlačení pružiny
 Ω - vlastní kruhová frekvence kmitání
 ω_{res} - resonanční kruhová frekvence
 μ - průtokový seččinitel
 ρ - hustota
 σ_0 - napětí v pružině kombinovaného ventilu
 ω - kruhová frekvence